

37/86

EA

وزارة التعليم والبحث العلمي

MINISTERE DE L'ENSEIGNEMENT ET DE LA RECHERCHE SCIENTIFIQUE

المدرسة الوطنية المتعددة التقنيات

BIBLIOTHEQUE - المكتبة

Ecole Nationale Polytechnique

## ECOLE NATIONALE POLYTECHNIQUE

DEPARTEMENT Génie - Hydraulique

المدرسة "وزارة التعليم التقنيات"  
BIBL المكتبة  
Ecole Nationale Polytechnique

## PROJET DE FIN D'ETUDES

En vue de l'Obtention du Diplome d'Ingénieur d'Etat

S U J E T

Etude de Faisabilité d'une retenue  
collinaire sur OUED MENAOURA  
Wilaya de TIARET

Proposé par :

D.H.W.T.

Etudié par :

KASMI A.

Dirigé par :

ABDERRAHIM D.

BOUNOUALA L.

8 PLANCHES

PROMOTION : Juin 1986

cole Nationale Polytechnique.  
épartement : Genie-Hydrologique.  
étudiant : Bouroua. L. KASMI. A.  
Promoteur : Abderrahim. D

دائرة البريد

الطالبان : بولونا - قاسبي

العنوان : دراسة فنية لإنشاء حوض مياه بوادي بنورة

المختصر : هدفنا هو تقديم اقتراح فني لمنطقة بنورة يكفيه طفيف من الماء  
نخترق في هذا المشروع على دراسة الوضع والوجهة المقاعدة والمستقرة  
والصبات الجيولوجية للمنشآت الثانوية والكلفة المطلوبة لإنجاز  
خواص الحوض التي يتم الحصول عليها حسب المعطيات، ودراسة  
والدراسة هي:

الحوض : - الإرتفاع = 14,4 m، البحار = 248 000 m<sup>3</sup> المطول في لغم 258 m  
التصرف الذي يسبب الفيضانات في كل صائمة سنة = 5,27 m<sup>3</sup>/s

Sujet: Etude de la faisabilité d'une retenue sur oued Meraoua.  
Résumé: Le but de notre étude est de satisfaire les besoins en eau pour  
l'irrigation des terres agricoles de la région de "Meraoua". Notre  
projet se limite sur l'étude hydrologique du site, stabilité  
et/ou hydrotechnique des ouvrages annexes, coût et estima-  
tion des ouvrages. Les caractéristiques de la retenue d'après  
les données de base et étude sont:

Retenue : H<sub>b</sub> = 14,4 m.

longueur enz : 258 m.

capacité : 248 000 m<sup>3</sup>

Débit de crue centennale : 5,27 m<sup>3</sup>/s

Subject: the study of the design of small dam.

Astroot: the object of our study is to satisfy the need of  
sufficient water for irrigation of agricultural  
lands in "Meraoua" region. Our project is  
limited to the hydrological study and hydrotechni-  
cal and stability study for the secondary  
structures and the required cost for construction.

Height : H<sub>b</sub> = 14,4 m.

dams length : 258 m

capacity = 248 000 m<sup>3</sup>

Max flood discharge every 100 years = 5,27 m<sup>3</sup>/s

## Remerciements

Nous ferons à exprimer nos remerciements envers tous ceux qui de près ou de loin ont contribué à l'élaboration de ce projet et particulièrement à notre promoteur M<sup>E</sup> ABDERRAHIM pour sa contribution à l'élaboration de cette thèse

- au corps enseignant de l'école nationale polytechnique d'Alger

- à M<sup>E</sup> KADDARI de la D.H.R de Tiaret pour l'apport inestimable de documentation emprunté de son service

Nous ne saurions terminer sans exprimer notre respect aux membres de Jury qui nous feront l'honneur d'apprécier notre travail

المدرسة الوطنية المتعددة التقنيات  
BIBLIOTHEQUE —  
المكتبة —  
Ecole Nationale Polytechnique

Dédicaces

je dédie ce modeste travail en signe de reconnaissance et de respect

- A ma mère et mon père, qui ont tant attendu ce jour
- A mon frère Ahmed, à mes deux frères et à mes deux soeurs
- A ma femme et mon fils
- A tous ceux qui m'ont aidé de près ou de loin.

KASMI - Abdelhadi



### Dédicaces

je dédie ce modeste travail en signe de reconnaissance  
et de respect.

- A ma mère et mon père qui ont tant à Henda ce jour
- A mes soeurs et mes frères, à mon frère Mohamed
- A toute ma famille
- A tous ceux qui de près ou de loin ont contribué  
à ce travail.

BOUNOUALA - Lakhdar

## Table des matières

### Introduction

choix du site 3

    1. Facteur topographique 3

    2. Facteur géologique et géotechnique 4

    3. Facteur hydrologique 4

    4. Facteur économique 5

Caractéristiques de la digue et de la retenue 6

I. chapitre I : ETUDE - HYDROLOGIQUE 7

    1. Etude du bassin versant 8

    3. Caractéristiques climatiques 11

    4. Le rectangle équivalent 14

    5. Calcul du temps de concentration 15

    6. Calcul de l'apport annuel 16

    7. Calcul du module spécifique de l'écoulement 18

    8. Variabilité de l'apport annuel 18

    9. Calcul du débit moyen 19

    10. Calcul du volume utile 21

    11. Calcul de la superficie irriguée 21

    12. procédé de vérification du volume utile 23

    13. Hydrogramme des crues 24

    14. trace de l'hydrogramme de crue 25

    15. Apports solides - envasement 30

    16. Détermination des courbes caractéristiques 31

|  |    |
|--|----|
| 17. lamination de la crue                    |    |
| <br>   |    |
| II: CHAPITRE II: ETUDE- GEOTECHNIQUE         | 37 |
| 1. Generalités                               | 38 |
| 2. Géologie du site                          | 38 |
| 3. Infiltrations et pertes par infiltrations | 41 |
| 4. Appuis de la digue                        | 42 |
| 5. Zones d'emprunt et carrière des matériaux | 42 |
| <br>   |    |
| III: CHAPITRE III: ETUDE -DE- LA- DIGUE      | 45 |
| 1. Les dimensions de la digue                | 46 |
| 2. Pente des talus de la digue               | 48 |
| 3. détermination de la ligne de saturation   | 51 |
| 4. Protection contre les infiltrations       | 51 |
| 5. Ligne de saturation                       | 53 |
| 6. Calcul du débit de fuite                  | 54 |
| 7. Etude de la stabilité                     | 54 |
| <br>   |    |
| IV: CHAPITRE IV: LES OUVRAGES - ANNEXES      | 63 |
| 1. évacuateur de crue                        | 70 |
| 2. Stabilité de l'évacuateur de crue         | 74 |
| 3. Calcul hydraulique                        | 76 |
| 4. Canal évacuateur                          | 77 |
| 5. ouvrage de prise et de vidange            | 88 |
| 6. ouvrage de dérivation provisoire          | 89 |
| 7. chantier                                  | 90 |
| 8. coût estimatif de l'ouvrage               | 92 |
| conclusion                                   | 93 |
| bibliographie                                | 94 |

## Introduction.

L'eau est l'élément vital, pour le citoyen, elle constitue aujourd'hui, à la fois, le facteur decisif pour l'augmentation de la production agricole et l'élément déterminant pour la croissance du développement socio-économique. Il est indéniable que des efforts importants ont été consentis par l'état durant ces dernières années, pour accroître la mobilisation des ressources en eau, afin de répondre à la satisfaction des besoins de la population, de l'industrie et de l'agriculture.

Dans le cadre économique et financier actuel, la retenue collinaire ne peut être considérée, que comme, un des moyens, peut-être, le plus puissant entre les means de l'administration, pour évoluer les techniques de culture et de ce fait créer des foyers de progrès.

C'est ainsi que la collinaire à spécialement sa place là où, d'autre ne peut fournir de l'eau à l'agriculture car, il est la technique la moins coûteuse et celle qui porte en elle le plus de chance de provoquer un bon en avant.

La technique des retenues collinaires permet d'envisager l'irrigation dans les zones de collines, où le procédé classique des grands travaux est inapplicable à cause du relief.

Il s'agit de petits lacs artificiels retenant les eaux de ruissellement d'un bassin versant de faible superficie derrière une digue en terre d'une dizaine de mètres de hauteur, barrant

Un valon et dominent généralement une zone à irriguer.

En effet les retenues collinaires présentent certains avantages car, elles sont :

- de réalisation simple
- peu coûteuses en raison de leur tailles réduites et n'exigent donc pas, la mise en œuvre de capitaux importants.
- de rentabilité immédiate.
- utilisation des matériaux locaux pour la construction
- possibilité de les construire dans toutes les régions géographiques

## choix du site

Les facteurs qui interviennent dans le choix du site sont:

- 1- Facteur topographique.
- 2- Facteur géologique et géotechnique
- 3- Facteur hydrologique
- 4- Facteur économique.

### 1- Facteur topographique.

La topographie est un facteur clé du choix de l'emplacement du petit lac artificiel. Contrairement aux grands lacs, la retenue collinaire, ne sera pas, en général, établie dans une vallée plus ou moins profonde où s'écoule une véritable rivière. Pour pouvoir conserver à l'ouvrage, le caractère rustique qui conditionne avant tout son modeste prix de revient, il importe en effet de ne pas barrer le thalweg principal d'un cours d'eau assez important. On s'efforcera au contraire de choisir dans les collines latérales des petits vallonnements.

Un tel choix aura aussi l'avantage de placer la retenue au dessus du périmètre à desservir ce qui peut permettre une distribution gravitaire.

### 2- Facteur géologique et géotechnique

Le site doit être géologiquement favorable à la construction d'une retenue imperméable. Il doit assurer une bonne assise à la digue et pouvoir fournir les matériaux nécessaires à sa construction.

En ce qui concerne l'étanchéité du fond de la cuvette, on évitera le plus possible les roches poreuses où les roches susceptibles de se

dissoudre (gypse). Les lits d'alluvions récents en grande masse (gravier, sables) peuvent être également la source de difficultés

En ce qui concerne les fondations de la digue, il conviendra de assurer qu'elles présentent une stabilité suffisante. En général la zone d'assise étant assez large, les charges unitaires dues au poids de la digue, restent inférieures à celles que peut supporter un terrain.

Enfin, il importe de choisir un site tel qu'on puisse y trouver tous les matériaux nécessaires à la construction de la digue.

Contrairement à ce que l'on peut penser, un terrain trop riche en argile n'est pas l'idéal, car, il assure une bonne imperméabilité, mais il est trop plastique et possède une résistance au cisaillement très faible lorsqu'il est humide, de plus il est sujet au retrait et au gonflement, et se compacte difficilement.

Il est à noter, que du point de vue géologique, les petits barrages en terre offrent le grand avantage de s'adapter assez facilement aux terrains variés rencontrés dans la nature à condition de prendre certaines précautions (compactage suffisant, drainage des infiltrations)

### 3- Facteur hydrologique

On s'efforcera d'implanter la digue à l'éaval d'un bassin versant dont la superficie sera nécessaire pour assurer l'alimentation régulière de la réserve prévue.

La superficie étant faible, les débits de crue resteront modestes et leur évacuation vers l'éaval de la digue ne nécessite pas d'ouvrages

D'autre part les débits solides par unité de surface sont généralement plus faibles en tête du bassin versant, où, les revêts d'érosion, n'ont souvent pas pris naissance.

#### 4. Facteur économique :

Le choix correct doit non seulement assurer la sécurité de l'ouvrage, mais, encore conduire à un prix de revient raisonnable de l'eau mis à la disposition des utilisateurs.

Dans ce contexte le D.H.W de Tiaret, nous a proposé de faire l'étude de faisabilité de la retenue collinaire de "oued Mekoun" qui se trouve juste à proximité de la ville de "Rahouia" et à quelques 30 km au nord-ouest de Tiaret

Notre étude est axée essentiellement sur les parties hydrologique, géologique du site, la conception hydrotechnique de la retenue, les ouvrages annexes et le coût estimatif.

### Caractéristiques de la digue et de la retenue collinaire.

Les paramètres de la digue et de la retenue collinaire, sont déterminés à partir des calculs.

Les données caractéristiques les plus importantes sont développées dans le tableau suivant.

Tableau n° 1 :

| N° | Données caractéristiques de la digue    | Unités | Dimensions         |
|----|---|--------|--------------------|
| 1  | hauteur de la digue à partir du terrain | m      | 14,40              |
| 2  | longueur de la crête                    | m      | 258,00             |
| 3  | largeur de la crête                     | m      | 6,00               |
| 4  | côte du terrain dans l'axe de la digue  | m      | 47,28              |
| 5  | côte de la crête                        | m      | 61,68              |
| 6  | côte du niveau d'eau normal             | m      | 58,08              |
| 7  | côte du niveau du volume mort.          | m      | 53,53              |
| 8  | volume utile                            | $m^3$  | $0,210 \cdot 10^6$ |
| 9  | volume mort.                            | $m^3$  | $0,38 \cdot 10^5$  |
| 10 | volume total.                           | $m^3$  | $0,248 \cdot 10^6$ |
| 11 | volume total du remblai.                | $m^3$  | 175614             |

CHAPITRE I:

ETUDE - HYDROLOGIQUE

## 1. Etude du bassin versant

Pour le présent chapitre qui concerne l'étude hydrologique de la retenue collinaire de "Oued Menzoura" nous avons utilisé :

- des cartes topographiques au 1/1000.
- la pluviométrie de la station de "Rahouia"
- l'évaporation d'une surface d'eau libre au niveau des barrages
- le vent: direction et vitesse dérivée les stations de Tiaret et Tissemsilt (ex: viator)
- les annuaires d'hydrologie : débits annuels et coefficient de ruissellement.
- le schéma du bassin versant du site de la retenue

Cette étude comprend trois parties

2- Les caractéristiques orohydrographiques

3- les caractéristiques climatiques

4- les caractéristiques hydrologiques.

### 2.1 : les caractéristiques orohydrographiques

La retenue collinaire de "Oued Menzoura" est située dans la Wilaya de Tiaret, tout près de la ville de Rahouia (sur l'axe Tiaret - Oran)

Les coordonnées du site considéré sont les suivantes

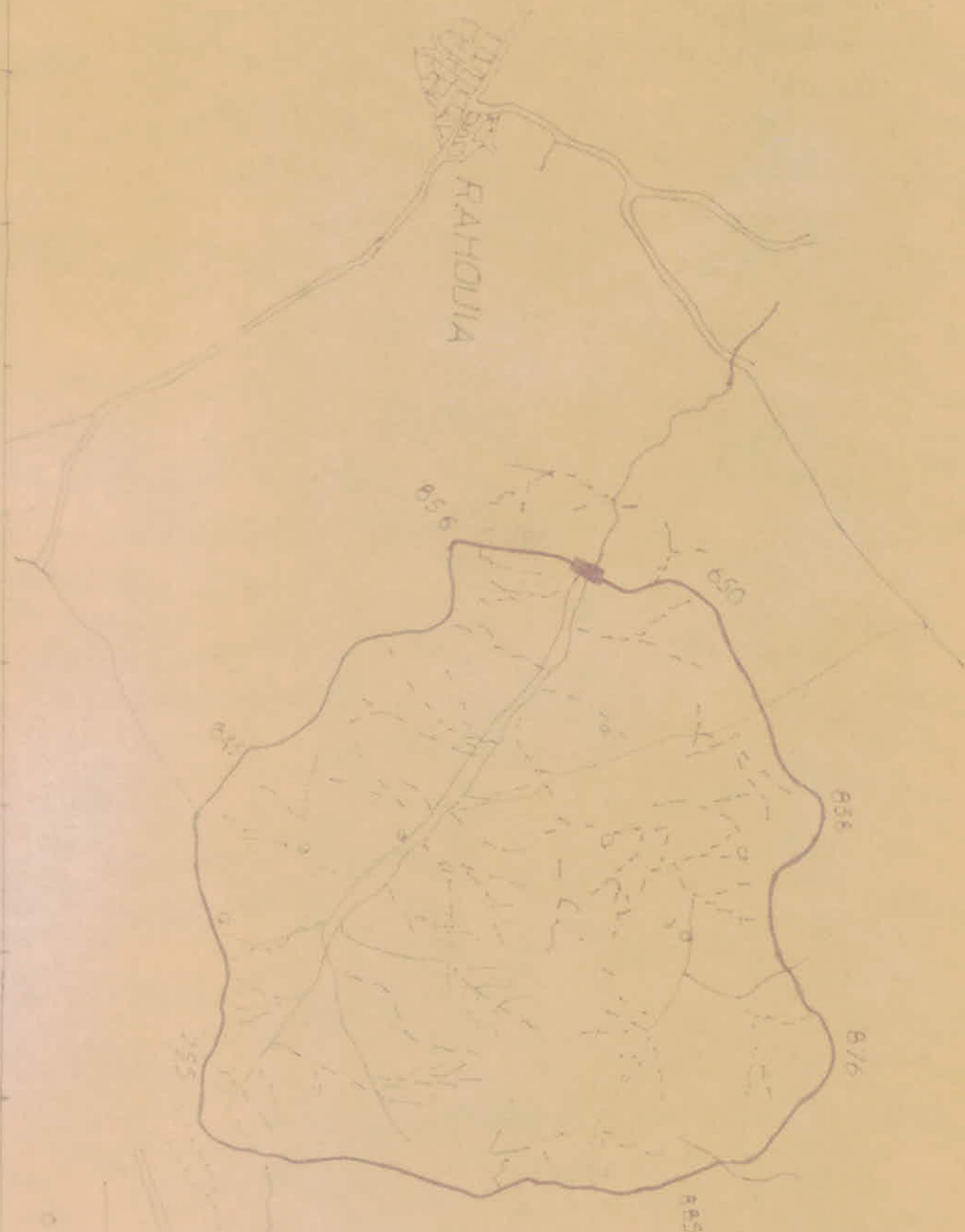
$$X = 249.90 \quad Y = 351.60$$

Les caractéristiques orohydrographiques du site étudié sont résumées dans le tableau récapitulatif n° 2.

BASIN VERSANT DE LA QUET MENAOURA

RETENUE COLLINAIKE DE MENAOURA

Ech 1/50000



LEGENDE

- cours d'eau
- cours d'eau à sec
- route
- rivière peu importante
- point

Tableau n°2

| Site             | S      | Hm  | $\beta_{Bv}$ | $\beta_o$ | Lo |
|------------------|--------|-----|--------------|-----------|----|
|                  | $km^2$ | m   | %            | %         | km |
| Oued<br>Mehouara | 15     | 769 | 28           | 20        | 5  |

Le bassin versant de Oued Mehouara est dépourvu de toute végétation à l'exception de quelques rares petites collines varicées à une culture aléatoire de céréales.

On constate sur le bassin versant de O.M, des alluvions d'origine argilo-sableuse, s'ajoutent quelques fois des blocs de grès carbonatés

Le type d'érosion est essentiellement une érosion de surface. Le lit de l'oued semble bien formé, il est à l'état sec en été et au printemps

Les caractéristiques déjà citées ci-dessous ont été déterminées à partir de formules de base qui sont :

a- Altitude : Hm

$$Hm = \frac{S_i \cdot H_i}{S} \text{ avec } Hm: \text{altitude moyenne (m)}$$

$H_i$ : altitude moyenne entre 2 horizontales (m)

$S_i$ : surface entre deux (2) horizontales ( $km^2$ )

b- pente du bassin versant:  $\beta_{Bv}$

$$\beta_{Bv} = \frac{\sum H_i \cdot e \cdot 100}{S} \text{ en \%}$$

$\sum H_i$ : Somme des horizontales dans le bassin versant ( $km$ )

S: Surface du bassin versant ( $km^2$ )

-e : coefficient de dénivellation entre deux horizontales (km)

C- pente de l'oued :  $\beta_0$

$$\beta_0 = \frac{H_{source} - H_{eruptoire}}{L_0} \cdot 1000$$

$H_s$ : altitude de la source (m)

$H_e$ : altitude de l'eruptoire (m)

$L_0$ : longueur de l'oued (km)

### 3. caractéristiques climatiques

Le bassin versant du site se trouve dans la zone méditerranéenne avec des pluies marquées s'étalant de Janvier à Mars.

Durant les mois de mai-juin, les pluies diminuent fortement et n'existent pratiquement plus durant les mois de juillet-aout.

Dans notre étude nous avons utilisé les observations de la station pluviométrique de "Rahouïd"

#### 3.1: Les pluies moyennes

Une série d'observations sur 21 ans (1960-1981) avec une erreur de 5% (qui est une erreur acceptable), nous donne une pluviométrie moyenne de 445 mm.

Tableau n°3

| STATION | nombre d'années | H   | Cv   | Cs   |
|---------|-----------------|-----|------|------|
|         | -               | mm  | -    | -    |
| Rahouïd | 21              | 445 | 0,25 | 2 Cv |

#### 3.2: les pluies maximales de 24 heures

Nous avons pris en considération les données de la station

de "Rahouia", la série de 17 années traitées nous donne un coefficient de variation  $Cr = 0,35$  avec une erreur de 8% (acceptable) (série de (1945-1961))

Tableau n° 4

| STATION | nombre d'années | H    | Cr   | Cs |
|---------|-----------------|------|------|----|
|         |                 | - mm | -    | -  |
| Rahouia | 17              | 41   | 0,35 | 44 |

### 3.3: Distribution mensuelle des pluies

Dans le tableau suivant on donne la répartition mensuelle des pluies pour deux années caractéristiques. Une année moyenne et une année sèche à 75%.

Tableau n° 5

| mois              | S    | O     | N     | D     | J     | F     | M     | A     | M    | J    | J | A | Total |
|-------------------|------|-------|-------|-------|-------|-------|-------|-------|------|------|---|---|-------|
| année moyenne     | 17   | 45    | 44    | 55    | 53    | 54    | 74    | 54    | 25   | 20   | 0 | 0 | 415   |
| %                 | 3,82 | 10,13 | 9,88  | 13,26 | 11,92 | 12,13 | 16,63 | 12,13 | 5,61 | 4,49 | 0 | 0 | 100   |
| année sèche à 75% | 0    | 30    | 47    | 58    | 44    | 56    | 71    | 46    | 25   | 13   | 0 | 0 | 390   |
| %                 | 0    | 7,69  | 12,05 | 14,87 | 11,28 | 14,36 | 18,20 | 11,79 | 6,43 | 3,33 | 0 | 0 | 100   |

### 3.4: L'évaporation de la surface d'eau libre.

#### a - les températures

En ce qui concerne la température, la station la plus représentative est celle de Rahouia, cependant comme les données n'existent pas dans cette station, nous prenons en considération les températures de la station la plus proche (celle de Tiaret)

Tableau n° 6 : Répartition mensuelle de la température

| mois         | J   | F   | M   | A    | M    | J    | J    | A    | S    | O    | N    | D   | moyenne |
|--------------|-----|-----|-----|------|------|------|------|------|------|------|------|-----|---------|
| températures | 6,7 | 7,7 | 9,8 | 12,9 | 17,7 | 22,6 | 27,9 | 28,0 | 23,3 | 17,1 | 17,1 | 7,3 | 16      |

### b- l'évaporation.

L'évaporation de la surface d'eau libre est déterminée d'après les données des observations relatives à l'évaporateur "colorado" publiées dans les recueils climatologiques de la D.E.M.R.H.

Sur le bassin versant du site de la R.C de "oued Mchoura", il n'y a pas de station, ainsi nous sommes obligés d'utiliser les stations des bassins versants voisins.

Tableau n° 7: Répartition des évaporation pour une année moyenne et une année sèche à 75%.

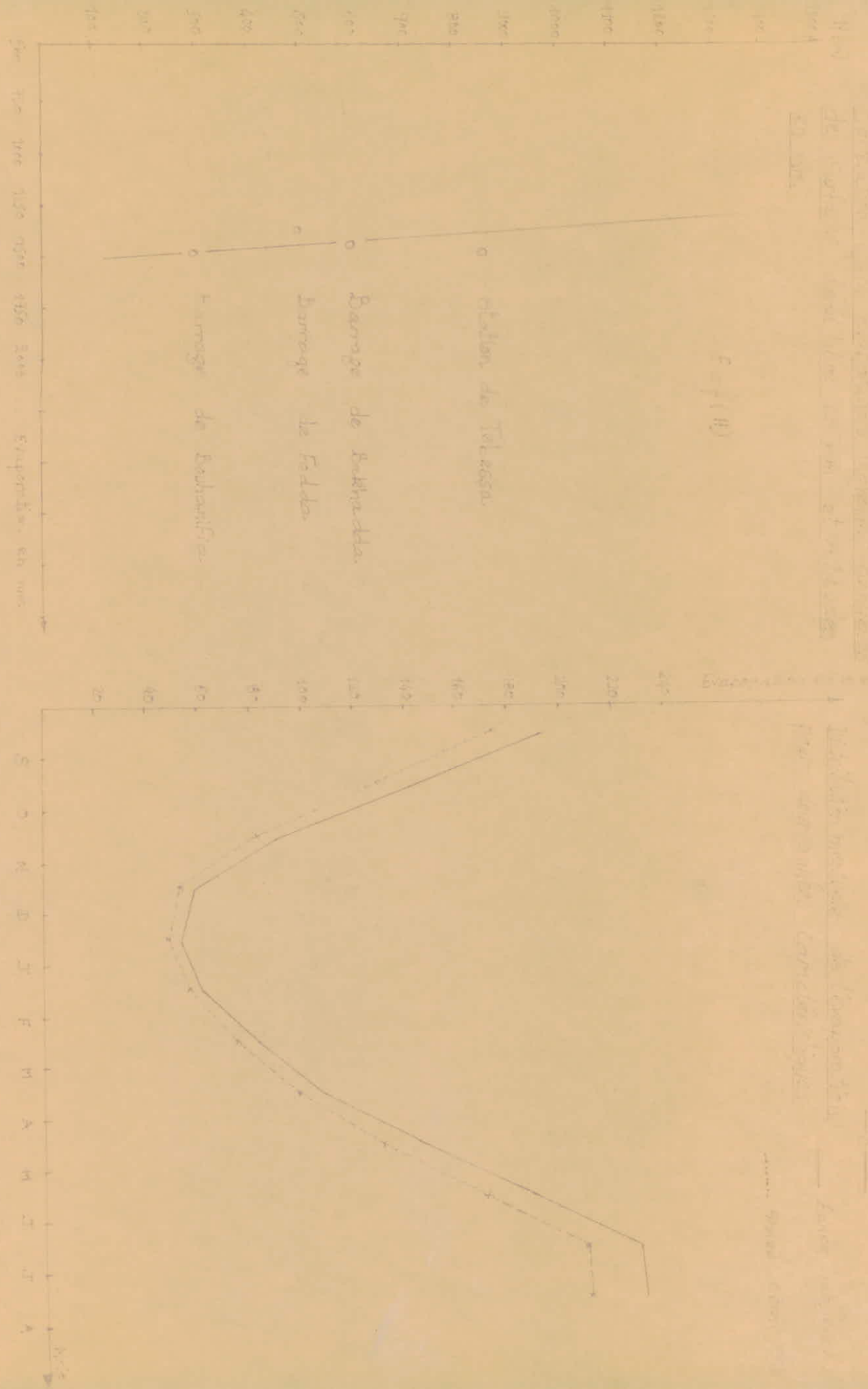
| mois              | S   | O   | N  | D  | J  | F  | M  | A   | M   | J   | J   | A   | total |
|-------------------|-----|-----|----|----|----|----|----|-----|-----|-----|-----|-----|-------|
| année moyenne     | 177 | 190 | 84 | 54 | 49 | 57 | 75 | 99  | 132 | 171 | 210 | 212 | 1450  |
| année sèche à 75% | 194 | 143 | 92 | 59 | 54 | 62 | 83 | 108 | 145 | 188 | 230 | 232 | 1590  |

### 3.5: les vents

Dans cette région, les vents nord et Nord ouest prédominent. La vitesse maximale mesurée à la station de violier est de 54 m/s, on a estimé les caractéristiques marquantes de la vitesse du vent et en particulier le vent de direction sud-est.

Pour la fréquence moyenne du vent pour la période de (1973-1987) pour 2 stations démonstratives de toute la région.

RENTUE COLHAGE DE MEMADKA



## RETIENUE COLIMAIRE DE MENAGURA

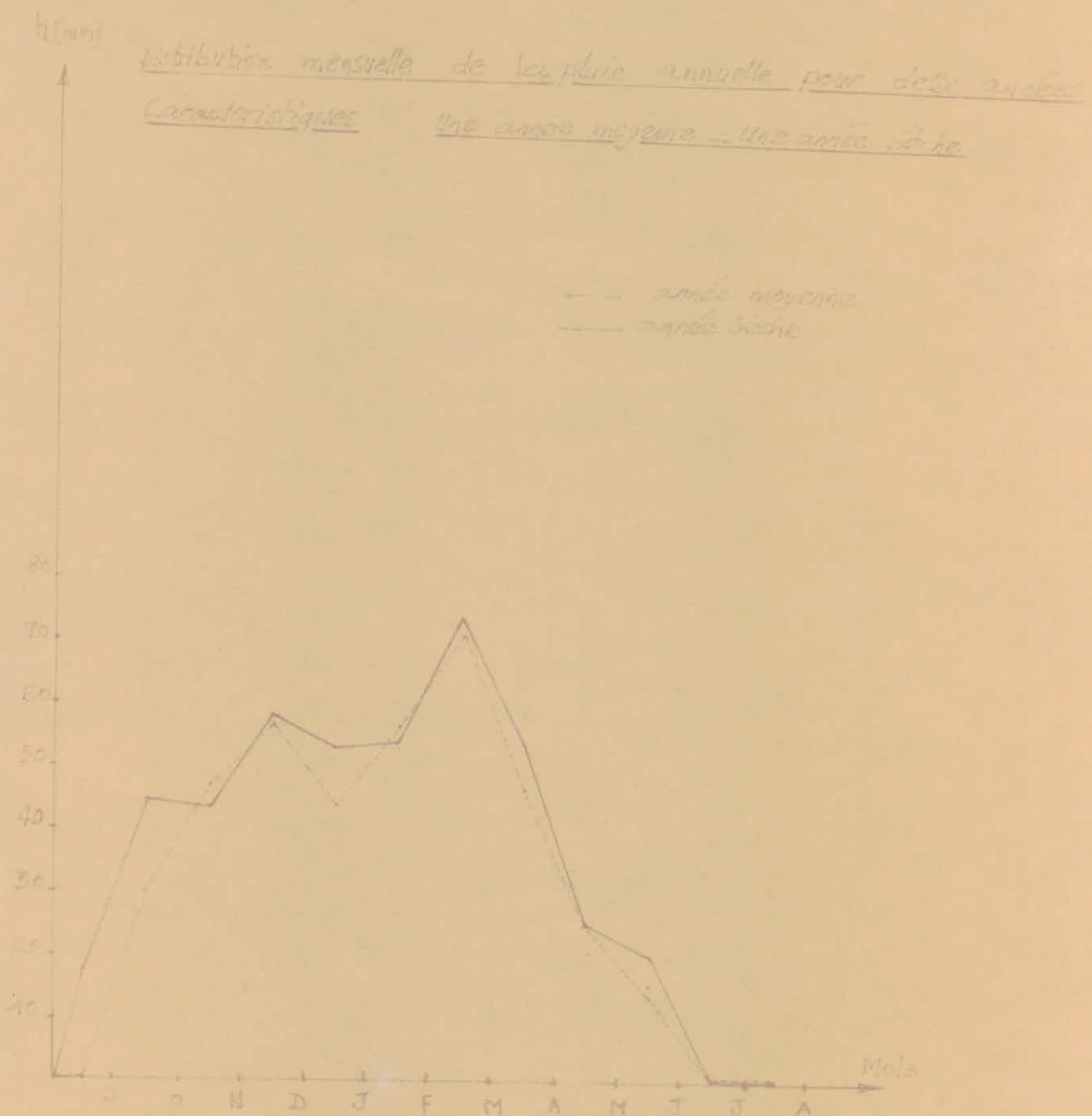


Tableau n°8

| STATION | N   | N.E | E  | S.N | S   | S.E | N.O |
|---------|-----|-----|----|-----|-----|-----|-----|
| TIARET  | 28% | 13% | 3% | 3%  | 15% | 10% | 28% |
| VIALAR  | 10% | 11% | 7% | 6%  | 4%  | 10% | 42% |

#### A.1: Le rectangle équivalent.

L'estimation des dimensions du rectangle équivalent se base sur l'hypothèse que l'écoulement dans un bassin versant réel est presque identique à l'écoulement d'un bassin versant de forme rectangulaire de mêmes conditions climatiques.

Le dernier garde évidemment les mêmes, indice de compacité densité de drainage, nature des sols et de la végétation.

Dans le bassin versant fictif, les courbes de niveau sont disposées parallèlement à la longueur. Pour déterminer les dimensions du rectangle équivalent (longueur et largeur).

Le calcul de l'indice de compacité  $K_c$  est basé sur la comparaison du périmètre  $P_c$  d'un cercle de même superficie  $S$

$$K_c = \frac{P}{P_c} = \frac{P}{2\pi R} \quad \text{avec } R = \sqrt{\frac{S}{\pi}}$$

$$K_c = \frac{P}{2\pi \sqrt{\frac{S}{\pi}}} = \frac{1}{2\sqrt{\pi}} \frac{P}{\sqrt{S}}$$

L'expression  $\frac{1}{2\sqrt{\pi}}$  est une constante égale à 0,28

$$\text{alors } K_c = 0,28 P / \sqrt{S}$$

On obtient, alors, l'indice de compacité de notre bassin versant

$$K_c = 0,28 \cdot 17 / \sqrt{15} = 1,23.$$

En partant de la formule de  $K_c = 0,287/\sqrt{S}$ , on trouve

$$(1) P = K_c \sqrt{S} / 0,28$$

d'autre part  $P = (L + l) \cdot 2$  et  $S = L \cdot l$ .

où  $L$  et  $l$ , sont la longueur et la largeur du rectangle équivalent (respectivement). En remplaçant la valeur de  $P$  dans la formule (1), on obtient l'équation du 2<sup>e</sup>me degré suivante

$$2L^2 - \frac{L \cdot K_c \cdot \sqrt{S}}{0,28} + 2 \cdot S = 0$$

où  $L = \frac{\frac{K_c \cdot \sqrt{S}}{0,56} + \sqrt{\left(\frac{K_c \cdot \sqrt{S}}{0,56}\right)^2 - 4 \cdot S}}{2}$

$$L = \frac{1}{2} \left[ \frac{1,23 \cdot \sqrt{15}}{0,56} + \sqrt{\left(\frac{1,23 \cdot \sqrt{15}}{0,56}\right)^2 - 4 \cdot 15} \right] = 6 \text{ km.}$$

on obtient enfin :  $L = \frac{S}{L} = \frac{15}{6} = 2,5 \text{ km.}$

d'où  $\{ L = 6 \text{ km} \text{ et } l = 2,5 \text{ km} \}$

### 5.1 : Calcul du temps de concentration.

On définit le temps de concentration  $t_c$  d'un bassin versant, comme étant la durée nécessaire pour qu'une goutte tombée sur le point le plus, hydrologiquement défavorable, arrive à l'ératoire, pour sa détermination on a utilisé la formule de VENTURA.

$$t_c = 0,1272 \sqrt{\frac{S}{J}}$$

où  $S$ : Surface du bassin versant ( $S = 15 \text{ km}^2$ )

$J$ : pente de l'oued ( $J = 20\% = 0,02$ )

alors  $t_c = 3^h 48$

## 6. Calcul de l'apport annuel

Pour le calcul des apports on a fait recourt aux formules empiriques valables pour le cas de l'Algérie

Pour notre étude on a choisi les formules suivantes

1- formule de Medinger

2- formule de Sarnie

3- formule de Turc

4- formule de Chauvière

5- formule de Contagne

### 6.1: formule de Medinger

$$Y_0 = 1,024 (P_0 - 0,26)^2 \text{ en (m)}$$

$P_0$ : précipitation annuelle en (m)

$$Y_0 = 1,024 (0,445 - 0,26)^2 = 0,035$$

$$Y_0 = 35 \text{ mm.}$$

### 6.2: formule de Sarnie

$$Y_0 = 0,784 (P_0 - 0,232)^2$$

$$Y_0 = 0,784 (0,445 - 0,232)^2 = 0,0355 \text{ m}$$

$$Y_0 = 35,5 \text{ mm}$$

### 6.3: formule de Turc

$$Y_0 = P_0 - \frac{P_0}{\sqrt{0,9 + \frac{P_0}{L^2}}}$$

$$\text{avec } L = 300 + 25T + 0,05T$$

$T$ : température moyenne annuelle en ° Celsius

$$T = 16^\circ \text{C}$$

$$L = 300 + 25 \cdot 16 + 0,05 \cdot 16 = 7,008$$

alors  $\gamma_0 = 55 \text{ mm}$

#### 6.4 : formule de Chaumont

$$\gamma_0 = 0,6 P_0 (1 - 10^{0,936 P_0^2})$$

$$\gamma_0 = 40 \text{ mm}.$$

#### 6.5 : formule de Contagne

$$\gamma_0 = P_0 - D = P_0 - (P_0 - \lambda P_0^2)$$

$$\text{avec } D = P_0 - \lambda P_0^2$$

$$\gamma_0 = \lambda P_0^2$$

$$\text{avec } \lambda = \frac{1}{0,8 + 0,14 T} = \frac{1}{0,8 + 0,14 \cdot 16} = 0,33$$

$$\gamma_0 = 60 \text{ mm}.$$

Tableau n° 9

| N° | Auteur   | $\gamma_0$<br>mm |
|----|----------|------------------|
| 1  | Medinger | 35               |
| 2  | Samic    | 35,5             |
| 3  | Turc     | 55               |
| 4  | Contagne | 60               |
| 5  | Chaumont | 40               |
| 6  | D.H. Wu  | 46               |

Pour notre projet on a fait le calcul des débits à l'aide de la formule de TURAZZA.

$$Q = \frac{S \cdot P \cdot q}{T}$$

S: Surface du B.V en  $\text{m}^2$

P: pluie annuelle en mm

T: temps d'une année en secondes

a: coefficient de ruisseaulement  $a = 0,05$

On a  $W = Q \cdot T = S.P.a.$

$$W = 15 \cdot 10^6 \cdot 4,15 \cdot 0,05$$

$$W = 0,34 \cdot 10^6 \text{ m}^3$$

### 7. Calcul du module spécifique de l'écoulement

$$M_0 = \frac{W}{T \cdot S} = \frac{0,34 \cdot 10^6}{31,5 \cdot 10^6 \cdot 15} = 0,7 \text{ l/s/km}^2$$

$$M_0 = 0,7 \text{ l/s/km}^2$$

### 8. Variabilité de l'apport annuel

Pour la détermination des apports des différentes fréquences il est nécessaire de connaître, l'apport annuel moyen et le coefficient de variation  $C_V$

Dans notre étude nous avons appliquée des formules empiriques valables pour l'Algérie

#### 8.1: formule de UKRGUI TRROVD KNOZ

$$C_V = \frac{0,70}{M_0^{0,123}} \quad \text{avec } M_0 = 0,7 \text{ l/s/km}^2$$

$$C_V = 0,70$$

#### 8.2: formule de POBON

$$C_V = \frac{0,93}{M_0^{0,23}} \cdot K.$$

avec  $K$ : coefficient de réduction variant de  $(0,25 \div 1)$  en fonction de l'apport du bassin versant  $K = 0,5$

alors  $C_V = 0,50$

### 8.3 : formule de SOKOLOVSKY - CHEVELEY

pour les régions arides et semi-arides

$$C_V = 0,78 - 0,29 \log M_0$$

$$C_V = 0,80$$

Pour notre étude on a pris  $C_V = 0,5$  (proposé par D.H.W)

9. Calcul du débit moyen.

$$Q = \frac{W}{T} = \frac{0,34 \cdot 10^6}{31,5 \cdot 10^6} = 11 \text{ l/s}$$

$$Q_{\text{moy}} = 11 \text{ l/s}$$

Tableau n° 10 : caractéristiques du site

| Site de oued | S   | P   | α    | Qmoy | Kmoy               | Cv  |
|--------------|-----|-----|------|------|--------------------|-----|
|              | km² | mm  | —    | l/s  | $10^3 \text{ m}^3$ | —   |
| Menadoura    | 15  | 445 | 0,05 | 11   | 0,34               | 0,5 |

Tableau n° 11 : répartition des apports mensuels

| mois        | S   | O    | N     | D     | J     | F     | M     | A     | M     | J    | J    | A | total |
|-------------|-----|------|-------|-------|-------|-------|-------|-------|-------|------|------|---|-------|
| année       | %   | 3,75 | 19,12 | 9,88  | 13,26 | 11,9  | 12,13 | 16,63 | 11,3  | 5,65 | 1,65 | 0 | 100   |
| moyenne     | 10% | 12,9 | 34,18 | 33,62 | 45,13 | 40,54 | 41,29 | 56,15 | 40,5  | 19,2 | 15,8 | 0 | 340   |
| année sèche | %   | 0    | 7,68  | 19,04 | 14,86 | 11,27 | 14,36 | 18,2  | 11,79 | 6,42 | 3,38 | 0 | 100   |
| 75%         | 10% | 0    | 16,9  | 26,5  | 32,7  | 24,8  | 31,59 | 49,05 | 29,95 | 14,1 | 7,33 | 0 | 220   |

329.372 00 00  
329.372 00 00

Tableau n° 12: Répartition des débits mensuels pour deux années caractéristiques, année moyenne et année sèche à 75%

| mois              | O     | N     | D     | J     | F     | M    | A    | M   | J   | J | A | S    | moy<br>anné |
|-------------------|-------|-------|-------|-------|-------|------|------|-----|-----|---|---|------|-------------|
| année moyenne     | 13,28 | 12,92 | 12,44 | 14,64 | 15,93 | 21,8 | 15,6 | 7,4 | 6,1 | 0 | 0 | 4,17 | 11          |
| année sèche à 75% | 6,5   | 10,4  | 12,6  | 9,6   | 12,2  | 15,4 | 19,0 | 5,4 | 2,8 | 0 | 0 | 0    | 7           |

Tableau n° 13: répartition des volumes affluents mensuels et volumes affluents cumulés

| mois                                    | O    | N    | D     | J     | F    | M    | A    | M    | J    | J   | A   | S      |
|---|------|------|-------|-------|------|------|------|------|------|-----|-----|--------|
| Geff                                    | 13,3 | 12,5 | 12,1  | 13,6  | 15,9 | 21,8 | 15,6 | 7,4  | 6,1  | 0   | 0   | 4,9    |
| Veff 10 <sup>6</sup> m <sup>3</sup>     | 34,4 | 33,6 | 45,4  | 49,5  | 44,3 | 56,5 | 49,5 | 19,2 | 15,8 | 0   | 0   | 12,88  |
| Veff cum 10 <sup>6</sup> m <sup>3</sup> | 47,3 | 80,9 | 126,0 | 166,6 | 200  | 206  | 213  | 250  | 234  | 234 | 234 | 306,88 |

avec Veff = Geff . 3600 . 24 . 30

Tableau n° 14: répartition des volumes consommés et consommés cumulés

| mois                                  | O | N | D | J | F | M | A    | M    | J  | J   | A   | S     |
|---------------------------------------|---|---|---|---|---|---|------|------|----|-----|-----|-------|
| Vc.m 10 <sup>3</sup> m <sup>3</sup>   | - | - | - | - | - | - | 10,5 | 31,5 | 42 | 50  | 42  | 31,5  |
| Vc.cum 10 <sup>3</sup> m <sup>3</sup> | - | - | - | - | - | - | 10,5 | 42   | 84 | 134 | 176 | 207,5 |

avec Vc.m: volume consommé mensuel

Vc.cum: volume consommé cumulé

### 10 - Calcul du volume utile de la retenue

Le volume utile =  $V_U$

$$V_U = \text{Max} / \Delta V^+ / + \text{Max} / \Delta V^- /$$

Tableau n° 15

| Mois | valeurs cumulées |                 | différence     |                |
|------|------------------|-----------------|----------------|----------------|
|      | $V_{eff}$ cumu   | $V_{cons} cumu$ | $\Delta V^+ /$ | $\Delta V^- /$ |
|      | $10^3 m^3$       | $10^3 m^3$      | $10^3 m^3$     | $10^3 m^3$     |
| A    | 219              | 10,5            | 208,5          | —              |
| M    | 250              | 42              | 208,0          | —              |
| J    | 294              | 84              | 210,0          | —              |
| J    | 294              | 134             | 160,0          | —              |
| A    | 294              | 176             | 118,0          | —              |
| S    | 306,88           | 207,5           | 99,4           | —              |

alors le volume utile est  $V_U = \text{Max} / \Delta V^+ / = 210 000 m^3$

### 11 - Calcul de la superficie des terres irriguées

la superficie des terres irriguées par notre retenue est calculée d'après la formule suivante

$$S = \frac{V_U \cdot 99\%}{4000} = \frac{210 000 \cdot 0,99}{4000} = 52 \text{ ha}$$

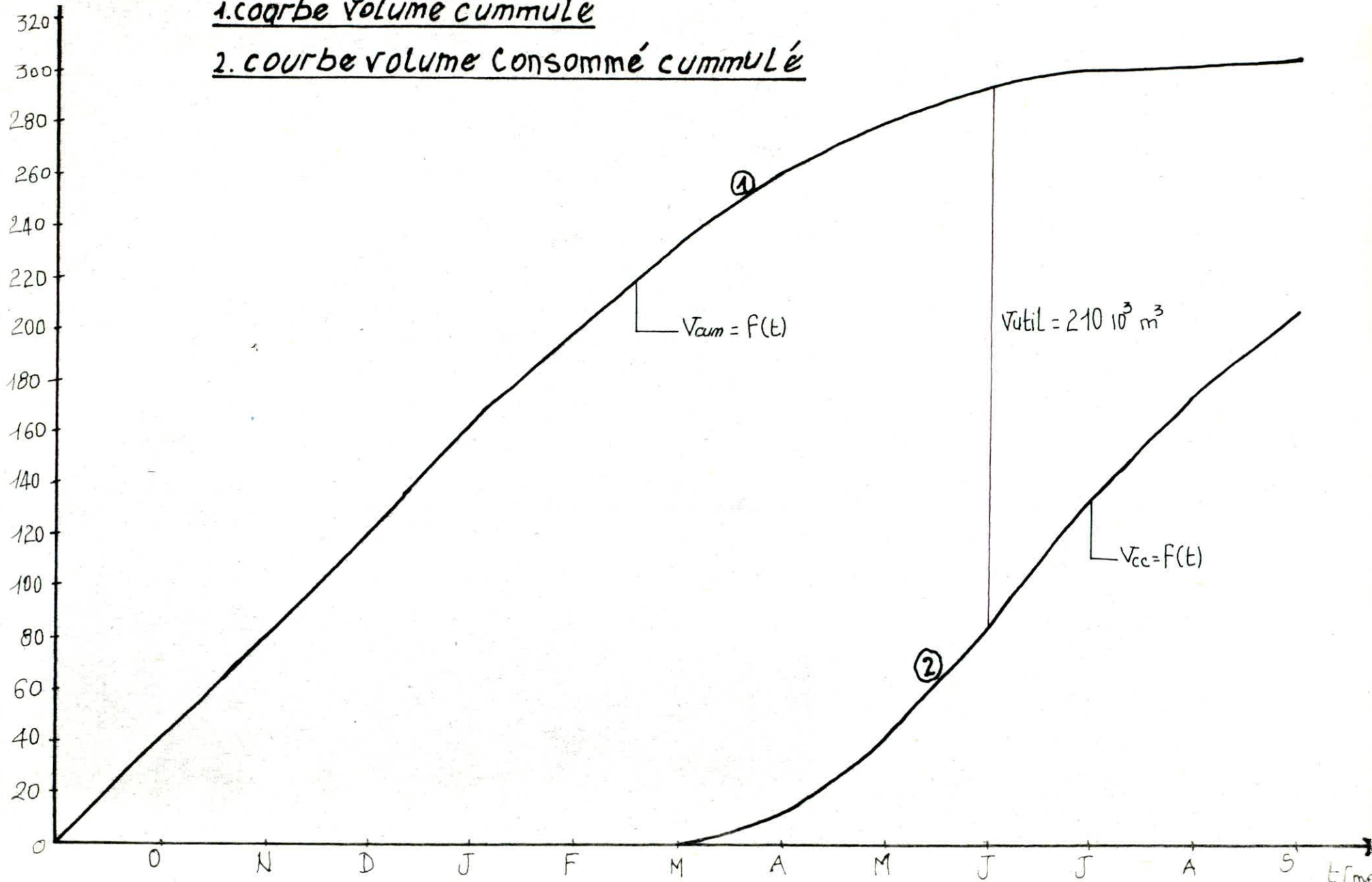
$$S = 52 \text{ hectares}$$

où 4000; est le module d'irrigation  $m^3/h$

$V \cdot 10^3 \text{ m}^3$

1. courbe volume cummulé

2. courbe volume consommé cummulé



ECH: Horiz: 1cm  $\rightarrow 15 \text{ J}$

VERT: 1cm  $\rightarrow 20 \cdot 10^3 \text{ m}^3$

## 12. Procédé de vérification du volume utile

on vérifie le volume utile en utilisant les caractéristiques d'une année sèche à 75% (infiltrations et évaporations)

Tableau n° 16

| mois | $\lambda_{75\%}$ | Norme d'évaporation | Infiltration F | surface S      | évaporation E  | F+E            | K              | $\Sigma K$     |
|------|------------------|---------------------|----------------|----------------|----------------|----------------|----------------|----------------|
| -    | m <sup>3</sup>   | m m                 | m <sup>3</sup> | m <sup>2</sup> | m <sup>3</sup> | m <sup>3</sup> | m <sup>3</sup> | m <sup>3</sup> |
| O    | 16899            | 0143                | 0              | 0              | 0              | 0              | 16899          | 16899          |
| N    | 26957            | 0092                | 312            | 1200           | 1104           | 1416           | 25541          | 42440          |
| D    | 32711            | 0059                | 455            | 17500          | 1033           | 1488           | 31223          | 74663          |
| J    | 24805            | 0054                | 507            | 19500          | 1053           | 1560           | 23245          | 56608          |
| F    | 31596            | 0062                | 416            | 16000          | 992            | 1408           | 30188          | 128096         |
| M    | 40072            | 0083                | 418            | 18500          | 1535           | 2077           | 38055          | 166151         |
| A    | 25972            | 0108                | 559            | 21500          | 2322           | 2881           | 23091          | 188212         |
| M    | 14100            | 0145                | 447            | 17500          | 2494           | 6341           | 7155           | 198401         |
| J    | 7335             | 0188                | 260            | 10000          | 1880           | 2140           | 5151           | 207596         |
| J    | 0                | 0230                | 221            | 8500           | 1555           | 2176           | 2176           | 209772         |
| A    | 0                | 0233                | 0              | 0              | 0              | 0              | 0              | 0              |
| S    | 0                | 0194                | 0              | 0              | 0              | 0              | 0              | 0              |

avec  $E = \text{Norme d'évaporation} \times S(m^2)$

et  $K = \lambda_{75\%} - (F+E)$

alors le volume utile :  $V_U = \Sigma K = 209772 m^3$

alors  $V_U = 210000 m^3$

### 13. Hydrogramme de crue.

#### 13.1: Hydrogramme d'une crue centennale

Pour cela nous déterminons le débit de crue de fréquence voulue ( $Q_{\text{max} \%}$  en  $\text{m}^3/\text{s}$ ) à partir de la formule de TURAZZA.

$$Q_{\text{max} \%} = \frac{P_{\%} \cdot S \cdot \alpha}{3,6 \cdot t_c}$$

où  $t_c$ : temps de concentration.

$S$ : superficie du bassin versant.

$P_{\%}$ : pluie en (mm) de même fréquence que le débit max

$\alpha$ : coefficient de ruissellement

alors le débit de crue centennale est:

$$Q_{\text{max} \%} = \frac{88 \cdot 13 \cdot 0,05}{3,6 \cdot 3,48} = 5,27 \text{ m}^3/\text{s}$$

#### 13.2: Hydrogramme d'une crue décennale.

le débit de crue  $Q_{\text{max} 10\%}$  est donné par la même formule de TURAZZA.

$$Q_{\text{max} 10\%} = \frac{P_{\%} \cdot S \cdot \alpha}{3,6 \cdot t_c} = \frac{59 \cdot 15 \cdot 0,05}{3,6 \cdot 3,48}$$

$$Q_{\text{max} 10\%} = 3,53 \text{ m}^3/\text{s}$$

#### 13.3: Estimation de l'hydrogramme de crue millénaire.

Dans nos données nous manquons de la valeur de la pluie de fréquence 0,1% alors nous allons l'estimer comme suit on prend  $\bar{P}_{0,1\%}$  de la carte de chaumont.

$$\bar{P} = 461 \text{ mm}$$

Sur la carte de Bodg  $\bar{P}_j = 42,8 \text{ mm}$

la valeur de  $c_v = 0,34$  (carte de Body)

Pour une période de retour de 1000 ans, la fréquence est 0,1%  
avec  $M = 3,009$

$$\text{d'où } P_{j,0,1\%} = \frac{\bar{P}_j}{\sqrt{c_v^2 + 1}} e^{-M\sqrt{c_v(c_v^2 + 1)}}$$

$$P_{j,0,1\%} = 125,12.$$

$$\text{on a donc } P_{j,0,1\%} = 1,13 \cdot 125,12 = 141,4 \text{ mm}$$

alors on aura

$$Q_{\max,0,1\%} = \frac{P_{j,0,1\%} \cdot S \cdot \alpha}{3,6 \cdot t_c}$$

$$Q_{\max,0,1\%} = 8,47 \text{ m}^3/\text{s}$$

#### 14. Trace de l'hydrogramme de crue.

Pour cela on utilise la méthode de SOKOLOVSKY pour reconstituer le tracé de la crue.

Cette méthode assimile l'hydrogramme de crue à 2 équations paraboliques, l'une pour la montée de la crue, l'autre pour la décrue.

L'équation de la montée de la crue est:

$$Q_t \% = Q_{\max \%} \left( \frac{t}{t_m} \right)^2$$

L'équation de la décrue est:

$$Q_t \% = Q_{\max \%} \left( \frac{t_d - t}{t_d} \right)^3$$

où  $Q_t$ : débit ponctuel à l'instant "t"

$t_m$  et  $t_d$ : les temps de montée de la crue et le temps de décrue

Le temps de montée  $t_m$  est égal au temps de concentration  $t_c$   
 $t_m = t_c$

Le temps de crue est:  $t_d$  avec  $t_d = \delta t_m$

où  $\delta$ : coefficient qui dépend des caractéristiques physiques du cours d'eau et du bassin versant, il est tabulé en fonction de ces paramètres d'après le recueil des communications hydrologiques des retenues collinaires

N° 096 / MHEF / INRH / DHYL / L.K Janv 86 N° TOUAT

Pour notre cas  $\delta = 2$ .

d'où on obtient  $t_m = t_c = 3,48 \text{ hres}$

et  $t_d = 7 \text{ heures}$

### Tableau n° 17

Estimation de l'hydrogramme de crue pour  $Q_{max} 10\% = 3,53 \text{ m}^3/\text{s}$

| montée de la crue<br>$Q_t = Q_{max} \% \left( \frac{t}{3,48} \right)^2$ |                       |                    |                           |                                | décrue<br>$Q_t = Q_{max} \% \left( \frac{7-t}{7} \right)^3$ |                       |                    |                           |                                |
|---|-----------------------|--------------------|---------------------------|--------------------------------|---|-----------------------|--------------------|---------------------------|--------------------------------|
| $t$   | $Q_t$                 | $V_E$              | $\frac{V_t + V_{t-1}}{2}$ | $\sum \frac{V_t + V_{t-1}}{2}$ | $t$   | $Q_t$                 | $V_E$              | $\frac{V_t + V_{t-1}}{2}$ | $\sum \frac{V_t + V_{t-1}}{2}$ |
| hres  | $\text{m}^3/\text{s}$ | $10^3 \text{ m}^3$ | $10^3 \text{ m}^3$        | $10^3 \text{ m}^3$             | hres  | $\text{m}^3/\text{s}$ | $10^3 \text{ m}^3$ | $10^3 \text{ m}^3$        | $10^3 \text{ m}^3$             |
| 0   | 0                     | 0                  | —                         | —                              | 0   | 3,53                  | 12,71              | —                         | —                              |
| 1   | 0,29                  | 1,05               | 0,525                     | 0,525                          | 1   | 2,22                  | 7,99               | 1,935                     | 10,35                          |
| 2   | 1,18                  | 4,25               | 2,65                      | 3,17                           | 2   | 1,13                  | 4,68               | 6,33                      | 16,68                          |
| 3   | 2,62                  | 9,44               | 6,84                      | 10,04                          | 3   | 0,66                  | 2,38               | 3,53                      | 20,21                          |
| 3,48  | 3,53                  | 12,71              | 11,07                     | 21,08                          | 4   | 0,28                  | 1,00               | 1,65                      | 21,9                           |
| —   | —                     | —                  | —                         | —                              | 5   | 0,08                  | 0,29               | 0,64                      | 22,54                          |
| —   | —                     | —                  | —                         | —                              | 6   | 0,01                  | 0,04               | 0,16                      | 22,7                           |
| —   | —                     | —                  | —                         | —                              | 7   | 0                     | 0                  | 0,02                      | 22,72                          |

Le volume de la crue est égal à la somme des volumes pendant la

Tableau n° 19

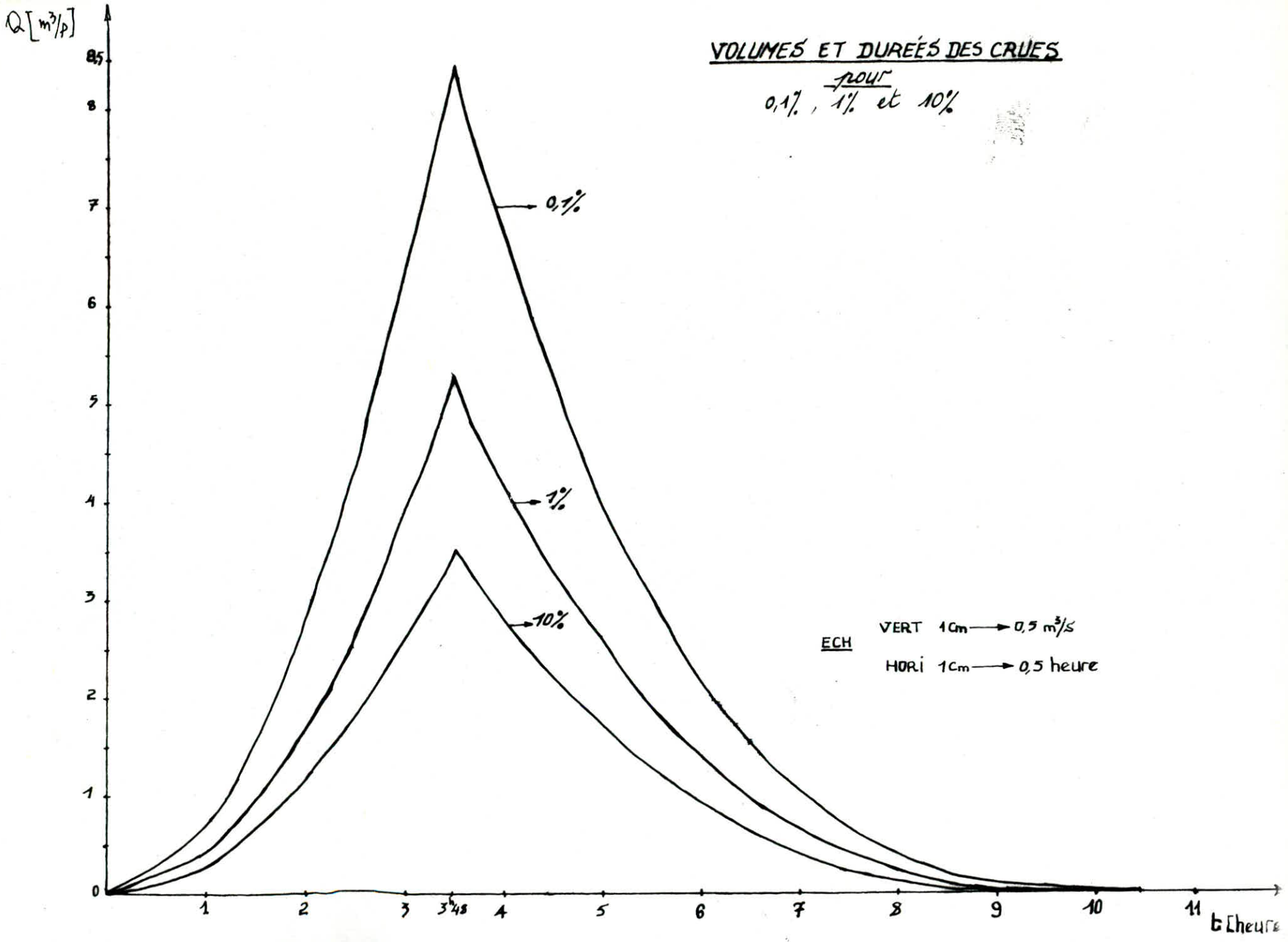
Estimation de l'hydrogramme de crue pour  $Q_{\max} 0,1\% = 8,47 \text{ m}^3/\text{s}$

| montée de la crue |                       |                    |                           |                                | décrue |                       |                    |                           |                                |
|-------------------|-----------------------|--------------------|---------------------------|--------------------------------|--------|-----------------------|--------------------|---------------------------|--------------------------------|
| $t$               | $Q_t$                 | $V_t$              | $\frac{V_t + V_{t-1}}{2}$ | $\sum \frac{V_t + V_{t-1}}{2}$ | $t$    | $Q_t$                 | $V_t$              | $\frac{V_t + V_{t-1}}{2}$ | $\sum \frac{V_t + V_{t-1}}{2}$ |
| hres              | $\text{m}^3/\text{s}$ | $10^3 \text{ m}^3$ | $10^3 \text{ m}^3$        | $10^3 \text{ m}^3$             | hres   | $\text{m}^3/\text{s}$ | $10^3 \text{ m}^3$ | $10^3 \text{ m}^3$        | $10^3 \text{ m}^3$             |
| 0                 | 0                     | 0                  | —                         | —                              | 0      | 8,47                  | 30,5               | —                         | —                              |
| 1                 | 0,70                  | 2,52               | 1,126                     | 1,126                          | 1      | 5,33                  | 19,19              | 24,84                     | 24,84                          |
| 2                 | 2,80                  | 10,08              | 6,13                      | 7,56                           | 2      | 3,09                  | 11,11              | 15,15                     | 39,99                          |
| 3                 | 6,25                  | 22,64              | 16,136                    | 23,92                          | 3      | 1,58                  | 5,69               | 8,40                      | 43,39                          |
| 3,48              | 8,47                  | 30,5               | 26,57                     | 50,49                          | 4      | 0,66                  | 2,38               | 1,03                      | 52,42                          |
| —                 | —                     | —                  | —                         | —                              | 5      | 0,20                  | 0,72               | 1,55                      | 53,97                          |
| —                 | —                     | —                  | —                         | —                              | 6      | 0,02                  | 0,07               | 0,71                      | 54,68                          |
| —                 | —                     | —                  | —                         | —                              | 7      | 0                     | 0                  | 0,35                      | 55,03                          |

Le volume de la crue est égal à la somme des volumes pendant la montée de la crue et la décrue

$$V_{\text{crue } 0,1\%} = 59,49 + 55,03$$

$$V_{\text{crue } 0,1\%} = 105,52 \cdot 10^3 \text{ m}^3$$



### 15: Apports solides - envasement

D'après les jaugeages de transport solides sur l'oued "Menouira" sur recueil de l'INRA. antenne de Tiaret, nous avons relevé les données suivantes.

Teneur moyenne :  $\gamma_{fond} = 1,562 \text{ kg/m}^3$

Teneur au fond de l'oued :  $\gamma_{fond} = 0,156 \text{ kg/m}^3$

transports solides :  $\gamma_{flott} = 1,718 \text{ kg/m}^3$

#### 15.1: Calcul du volume mort

$$V_{mort} = \frac{T \cdot W \cdot \gamma_{flott} \cdot \beta}{1000 \cdot \gamma_{flott}} + \frac{T \cdot W \cdot \gamma_{fond}}{1000 \cdot \gamma_{fond}}$$

avec  $T = 50$  années : durée de vie de la retenue

$W = 340\ 000 \text{ m}^3$ : volume moyen annuel d'une fréquence de 50%

$\gamma_{flott}$ : masse volumique des alluvions flottants

$\gamma_{fond}$ : masse volumique des alluvions de fond.

$\beta$  : coefficient de réduction des alluvions flottants  $\beta = 0,98$

$$V_{mort} = \frac{50 \cdot 34 \cdot 10^4 \cdot 0,98 \cdot 1,718}{0,8 \cdot 10^3} + \frac{50 \cdot 34 \cdot 10^4 \cdot 0,156}{1,562 \cdot 10^3} = 0,38 \cdot 10^5$$

le volume mort est  $38\ 000 \text{ m}^3$

#### 15.2: Calcul du volume brut de la retenue

$$V_{brut} = V_m + V_u$$

$$V_{brut} = 210\ 000 + 38\ 000 = 248\ 000 \text{ m}^3$$

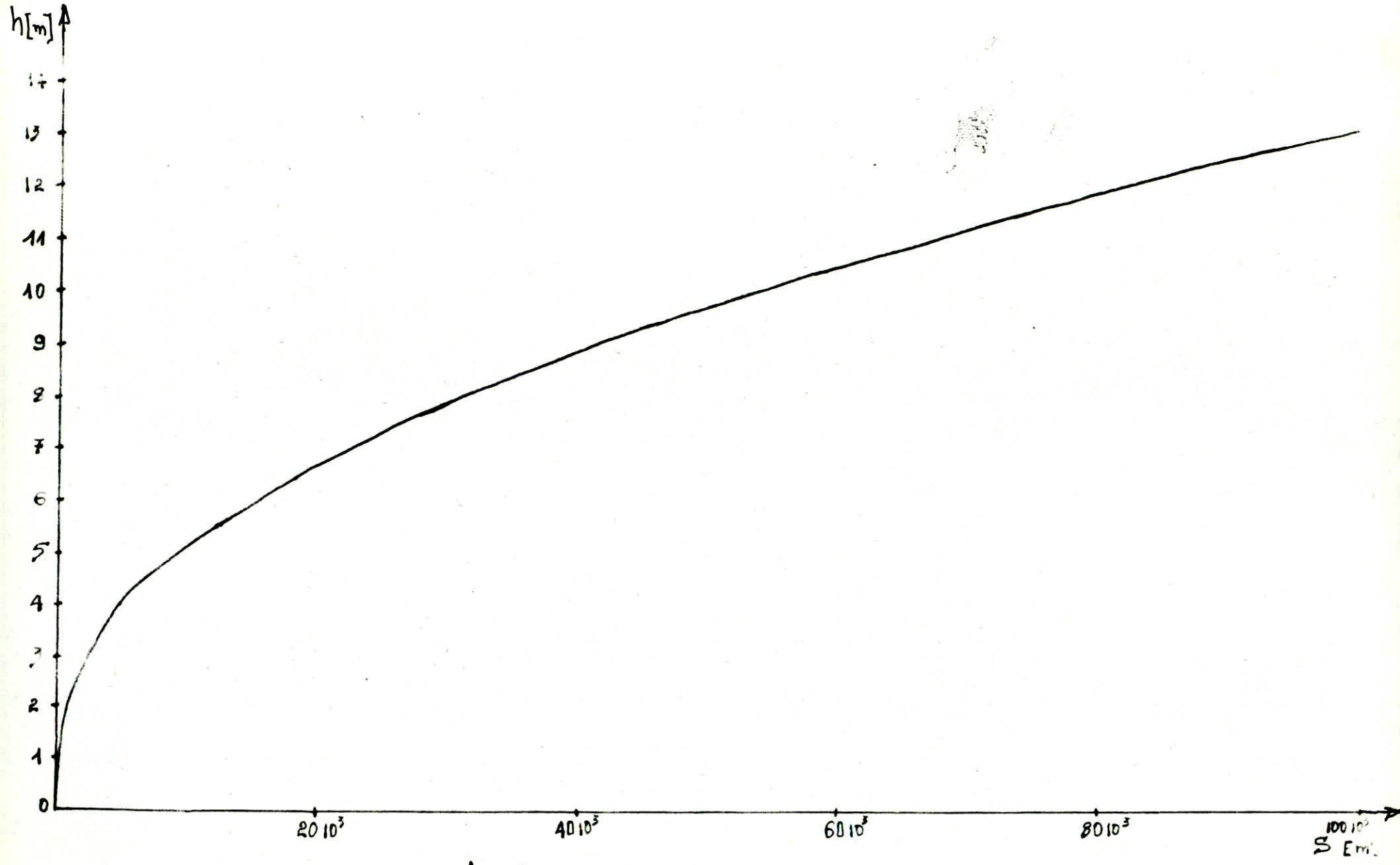
$$V_{brut} = 248 \cdot 10^3 \text{ m}^3$$

16: Determination des courbes caractéristiques de la retenue  
Variation des surfaces et des capacités en fonction de la  
hauteur.

Les sections ( $F$ ) sont obtenues par planimétrie, chaque  
section correspond à 1m de hauteur.

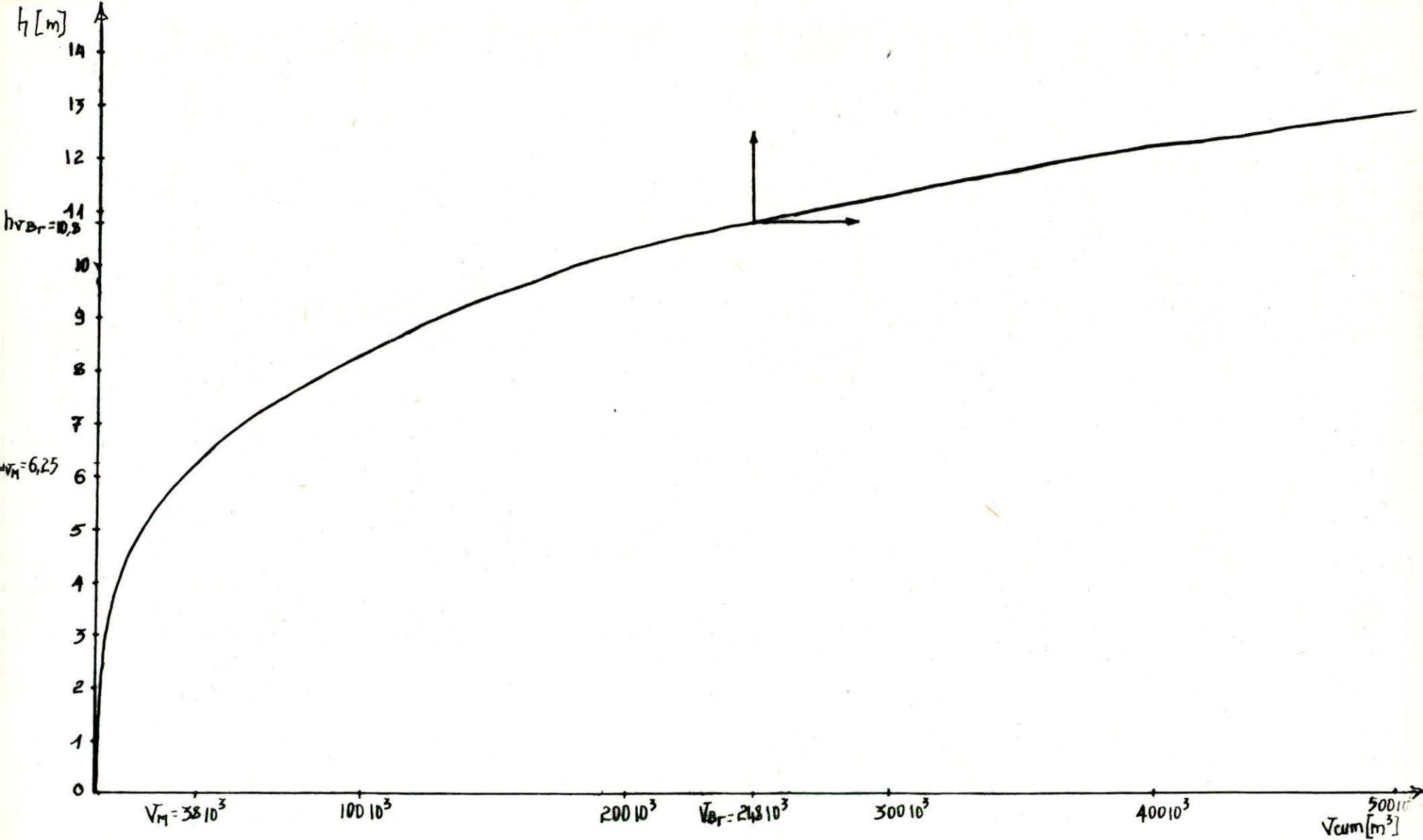
Tableau n° 20

| côte | DH  | $F$    | $\frac{F_i + F_{i+1}}{2}$ | $W$   | $\Sigma W$ | longueur |
|------|-----|--------|---------------------------|-------|------------|----------|
| m    | m   | $m^2$  | $m^2$                     | $m^3$ | $m^3$      | m        |
| 47   | 0   | 0      | 0                         | 0     | 0          | 0        |
| 48   | 1   | 340    | 170                       | 170   | 170        | 10       |
| 49   | 1   | 1060   | 700                       | 700   | 870        | 23       |
| 50   | 1   | 3340   | 2200                      | 2200  | 3070       | 40       |
| 51   | 1   | 6000   | 4670                      | 4670  | 7740       | 55       |
| 52   | 1   | 12600  | 9300                      | 9300  | 17040      | 68       |
| 53   | 1   | 19300  | 15950                     | 15950 | 32990      | 104      |
| 54   | 1   | 26200  | 22750                     | 22750 | 55740      | 120      |
| 55   | 1   | 36500  | 31300                     | 31300 | 87040      | 140      |
| 56   | 1   | 47200  | 41800                     | 41800 | 128840     | 167      |
| 57   | 1   | 60200  | 53700                     | 53700 | 182540     | 187      |
| 57,8 | 0,8 | 72500  | 66350                     | 66350 | 248890     | 197      |
| 58   | 0,9 | 65100  | 68800                     | 68800 | 317690     | 208      |
| 59   | 1   | 98900  | 82000                     | 82000 | 399690     | 215      |
| 60   | 1   | 100000 | 99000                     | 99000 | 498690     | 227      |



COURBE:- hauteurs surfaces

ECH:  
VERT:  $1\text{cm} \rightarrow 1\text{m}$   
HORI:  $1\text{cm} \rightarrow 4 \cdot 10^3 \text{ m}^2$



COURBE : hauteurs-capacités

ECH:-  
 VERTI: 1cm →  $20 \cdot 10^3 m^3$   
 HORI: 1cm → 1m

## 17: Laminage de la crue dans la retenue

### 17.1: Calcul de la hauteur déversée : $h_d$ .

Ayant fixé la longueur déversante de l'évacuateur de crue on détermine la charge maximale au dessus du seuil du déversoir. Pendant un intervalle de temps ( $\Delta t$ ), la variation du volume d'eau stocké peut se traduire par l'expression.

$$\Delta V = \Delta t (Q_c - Q_e)$$

avec  $Q_c$ : débit de crue à l'instant considéré

$Q_e$ : débit de l'évacuateur de crue au même instant

### 17.2: Résolution de l'équation:

On résout cette équation par la méthode grapho-analytique de CREAGER.

Tout d'abord, on calcule le débit de l'évacuateur de crue par la formule suivante

$$Q_e = m \sqrt{2g} h^{3/2} b$$

où  $h$ : hauteur de la lame déversante

$b$ : longueur déversante ( $b = 10 \text{ m}$ )

$g$ : accélération de la pesanteur ( $g = 9,81 \text{ m/s}^2$ )

$m$ : coefficient de débit ( $m = 0,38$ )

sur une même figure, nous représentons les courbes  $Q_e = f(h)$  et à partir du NNR, nous représentons la capacité en fonction de la hauteur  $V = f(h)$  ainsi que les courbes  $V - \frac{V_c}{2}$  et  $V + \frac{V_c}{2}$

17.3 : Calcul de  $Q_e = f(h)$  et  $V = f(h)$

Tableau n° 21

| $h$ | $Q_e$   | $\frac{Q_e}{2}$ | $\frac{V}{2} = \frac{Q_e}{2} \times 3600$ |
|-----|---------|-----------------|---|
| $m$ | $m^3/s$ | $m^3/s$         | $10^3 m^3$                                |
| 0,2 | 1,5     | 0,75            | 2,7                                       |
| 1   | 16,8    | 8,4             | 30,3                                      |
| 1,5 | 39,9    | 15,45           | 55,6                                      |
| 2   | 47,6    | 23,75           | 85,5                                      |

Pour déterminer "hs" graphiquement, on calcule tout d'abord le  $Q_{eff}$  à partir du diagramme de crue centennale pendant un intervalle de temps déterminé, puis on calcule le  $V_{eff}$  (volume affluent correspondant au débit affluent ( $Q_{eff}$ )), puis du graphique  $V = f(h)$ , on détermine la hauteur diversee correspondante et le débit maximum y correspondant du graphique  $Q_e = f(h)$

Tableau n° 22

Determination de  $h_d$ .

| temps    | $Q_{eff}$ | $V_{eff}$ | $h_d$       | $Q_d$   |
|----------|-----------|-----------|-------------|---------|
| heures   | $m^3$     | $m^3$     | $m$         | $m^3/s$ |
| 0 - 1    | 0,43      | 1548      | 0,025       | 0,05    |
| 1 - 2    | 1,71      | 6264      | 0,08        | 0,15    |
| 2 - 3    | 3,92      | 14142     | 0,22        | 0,40    |
| 3 - 3,48 | 5,27      | 9106,56   | 0,29        | 0,50    |
| 3,48 - 4 | 1,2       | 7862,4    | 0,33        | 0,57    |
| 4 - 5    | 2,6       | 9360      | 0,38        | 0,69    |
| 5 - 6    | 1,92      | 6912      | <u>0,40</u> | 0,74    |
| 6 - 7    | 0,65      | 2340      | 0,38        | 0,70    |
| 7 - 8    | 0,25      | 900       | 0,34        | 0,45    |
| 8 - 9    | 0,05      | 180       | 0,20        | 0,30    |
| 9 - 10   | 0,02      | 72        | 0,12        | 0,15    |
| 10 - 11  | 0,01      | 36        | 0,10        | 0,1     |

Sur la figure on trouve  $h_d = 0,4m$  représentant la charge maximale au dessus du seuil du déversoir.

$h_d [m]$

Determination De La Hauteur Deversée

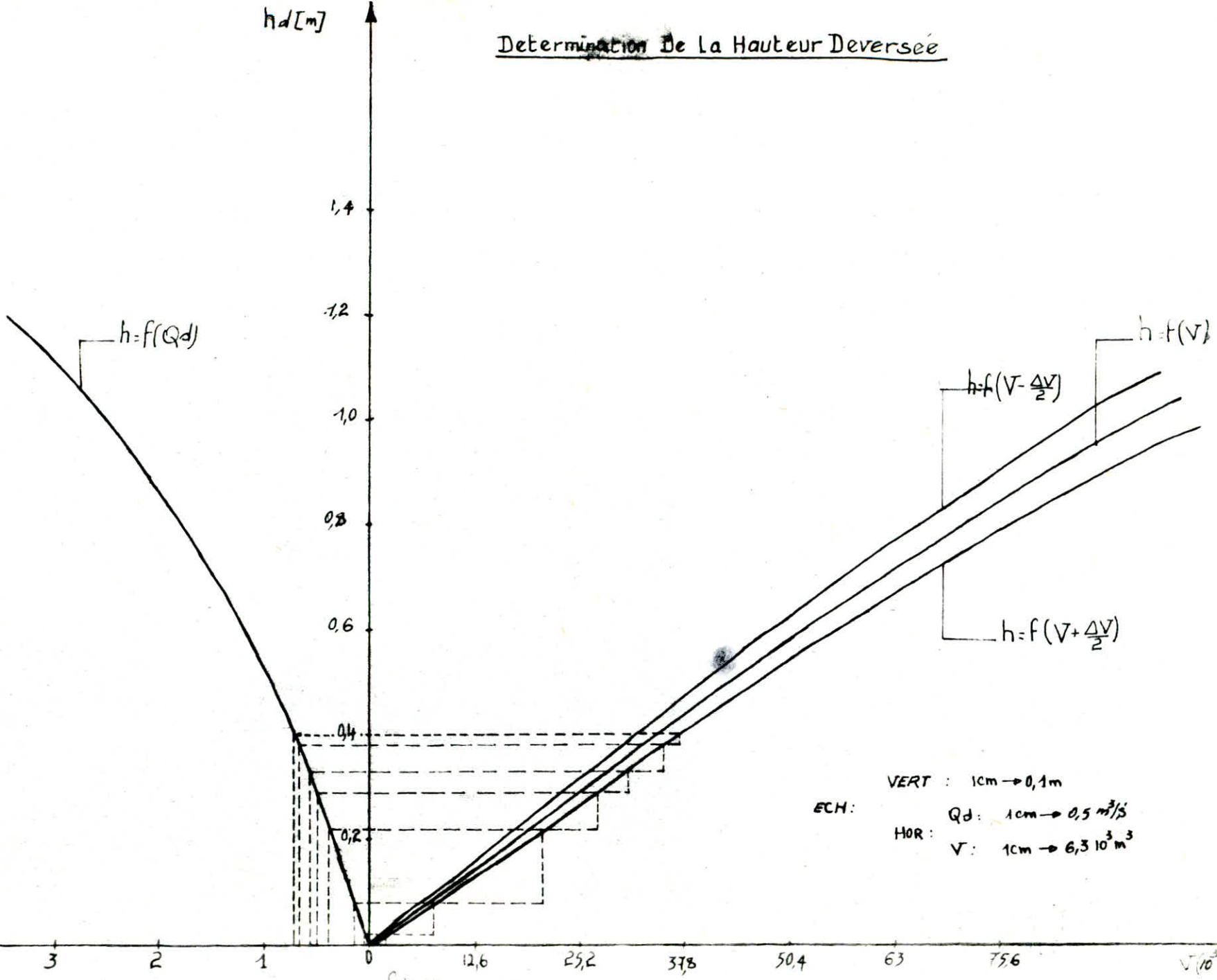


Fig 33

CHAPITRE II  
ETUDE - GEOTECHNIQUE

## II.1: Généralités

Concernant l'étude géotechnique de la retenue collinaire de "Menaoura", nous avons consulté le matériel suivant.

- levé topographique dressé par le département topographique de la société d'étude hydroélectrique d'ORAN (SETHYOR)
- carte de Mongolfier. n° 186.
- étude géologique du site
- relevés des sondages exécutés

Notre site a pour coordonnées ( $X = 249,900$ ,  $Y = 231,500$ )

Il est situé entre deux djebels qui sont :

- djebel "Menaoura" à l'ouest et au sud-ouest.
- djebel "Cherchara" à l'est.

Oued "Menaoura" descend de djebel Cherchara et se jette dans l'oued Ledhem.

## II.2: Géologie du site

### 2.1: Travaux de reconnaissance

Des sondages ont été exécutés par le L.T.P.O unité de Tiaret qui sont au nombre de trois, des échantillons ont été prélevés pour la détermination des caractéristiques des sols.

Ces sondages ont été exécutés sur l'axe de la digue, chaque sondage est de 10m de profondeur.

La description lithologique de chaque sondage est la suivante



### 2.2: Sondeage S<sub>1</sub>

Ce sondage se trouve au niveau du lit de l'oued, il se compose de ce qui suit

| profondeur   | roches  | Aspects                             |
|--------------|---|-------------------------------------|
| m            | —   | —                                   |
| 0,1 - 1,00   | dépôt recent, constitue d'alluvions de l'oued | —                                   |
| 1,00 - 1,75  | marne silto-graveleuse                        | couleur grisâtre et verdâtre        |
| 1,75 - 2,00  | alluvions constituées d'élement vases         | —                                   |
| 2,00 - 10,00 | marne silfeuses compactes                     | feuilletées verte, grise à bleuâtre |

### 2.3: Sondeage S<sub>2</sub>:

Ce sondage est sur la berge gauche de la retenue, sa lithologie est la suivante

| Profondeur   | roches   | aspects                             |
|--------------|--|-------------------------------------|
| m            | —  | —                                   |
| 0,00 - 0,65  | alluvions de l'oued dans une matrice organique à peu sablonneuse                                       | couleur noire                       |
| 0,65 - 6,00  | marne sablonneuse à peu gravellue très coquilleux, tendre et plastique vers le basse $K = 10^{-6}$ m/s | couleur grise à verdâtre à jaunâtre |
| 6,00 - 7,61  | alluvions dans une matrice sablo-organique   | gris à jaunâtre                     |
| 7,61 - 10,00 | marne silto-schisteuse feuilletée  | grisâtre à bleuâtre                 |

### 2.4: Sondage S<sub>3</sub>

Sa lithologie est la suivante

| profondeur<br>m | roches  | aspects                                       |
|-----------------|---|---|
| —               | —   | —   |
| 0,00 - 3,50     | couche hétérogène constituée de galets enrobés dans une matrice marno-sableuse devenant sable-granulaire                                  | noirâtre devenant jaunâtre à verdâtre         |
| 3,50 - 10,00    | Marnes silteuses, à l'allure d'une schiste de feuilletage millimétrique où des surfaces de friction à partir de 8,00m, $K = 10^{-6}$ cm/s | jaunâtre à verdâtre devenant grise à bleuâtre |

### 3.1: Infiltrations et pertes par infiltrations

Dans la cuvette pendant la mise en eau se produiront les pertes provisoires, afin que ces pertes soient réduites lors de la mise en place de la ligne on recommande

- le parafouille d'étanchéité en recouvrant l'assise alluviale de la terrasse

Le premier niveau d'alluvions, qui ne dépasse pas la profondeur de 2,00m, cette couche en la déblayant pour mettre fin au danger que peut engendrer les eaux d'infiltrations

Le deuxième niveau, situé au niveau du sondage S<sub>2</sub>, à une profondeur de 6,00m et avec 1,62m d'épaisseur, celui-ci est surmontée d'une couche épaisse de 6,00m, avec une perméabilité insignifiante de  $K = 10^{-6}$  cm/s, ce niveau d'alluvion ne présente aucun danger et ne permettra pas des pertes d'eau.

#### 4. Appuis de la digue

La digue du barrage peut s'appuyer sur des berges stables constituées d'argiles calcaireuses ou de marnes.

##### 4.1: Berge droite

Cette berge est constituée de marne argileuse verte, appartenant au senonian, vers le lit de l'oued, on rencontre, une terrasse du lit mineur, et l'autre du lit majeur, les deux terrasses sont constituées de dépôts récents formés d'éléments de galets et de graviers grescaux avec une matrice sablo-argileuse.

##### 4.2: Berge gauche

Cette berge, elle aussi est alluvionnaire et marnaise, elle est loin des mouvements sismiques, il y a quelques failles qui longent le cours d'eau, mais ce sont des failles au sein des marnes plastiques, étanche, ne peuvent en aucun cas constituer un danger pour la stabilité de la digue.

#### 5. Zones d'emprunt et corriore des matériaux

5.1: La prospection géologique des matériaux pour la construction de la digue s'est portée sur les deux berges, qui <sup>sont</sup> constituées, par une marne argileuse à peu sablonneuse ayant de bonnes caractéristiques géotechniques, forme une excellente couche pour la construction de la digue.

Une retenue collinaire en réalisation au voisinage de notre site sur les berges de son lit son exécution des fouilles, des échantillons ont été prélevés et les analyses géotechniques ont été réalisées

afin d'identifier les caractéristiques des sols et qu'isont  
des marnes verdâtres avec petits galets de grès

### 5.2: Carrière

Selon les sondages, le matériau de la carrière dans la vallée de  
l'oued Meneaura n'est pas convenable à la construction de la  
digue.

Sur le territoire de la carrière nouvelle (dans la vallée de oued Hadj)  
selon les puits de recherche, seule la couche de couverture est superficie  
sableuse limoneuse de 1,6 m d'épaisseur et plus profondément  
on y trouve des cailloux sableux, limoneux et argileux.  
Il y a un puits de recherche sur le territoire voisin, il faut exploiter  
sa carrière et en connaissance des résultats des essais de laboratoire  
(Limites d'Herberg, essais proctor etc...)

### 5.3 Caractéristiques géotechniques des matériaux

#### Limites d'Herberg.

$$K_L = 58\%$$

$$W_P = 26,7\%$$

$$I_P = 30,3$$

$$W = 24,0\%$$

$$W_S = 30\%$$

#### Permeabilités

$$K(5+bar) = 8,8 \cdot 10^{-8} \text{ cm/s}$$

$$K(5+2bars) = 1,2 \cdot 10^{-8} \text{ cm/s}$$

Pour l'étude de la stabilité de la digue, nous avons utilisé les paramètres mécaniques des matériaux qui sont les suivantes

- cohésion :

$$C = 1,3$$

$$C_h = 9,9$$

- angle de frottement

$$\varphi = 20^\circ$$

- poids volumiques du matériau.

$$\gamma_d = 1,75 \text{ kg/m}^3$$

$$\gamma_h = 1,85 \text{ kg/m}^3$$

#### 5.1. Conclusion

Notre site présente de bonnes caractéristiques, du point de vue géologique.

Comme a été énoncé, ce site ne présente aucun risque pour l'implantation d'un barrage, les berges sont stables ne présentent aucun indice de glissement de terrain.

CHAPITRE III  
ETUDE - DE - LA - DIGUE

### III La digue

#### 1.1: Les dimensions de la digue

##### 1.1.1: La hauteur totale de la digue

Cette hauteur sera égale à la hauteur normale de la retenue des eaux, majorée de la charge maximale au dessus du seuil du déversoir, de la hauteur d'eau d'évaporation (annuelle), de la revanche et de la hauteur de dérapage.

##### 1.1.2: La hauteur normale : $h_N$

Cette hauteur (normale) est égale à la somme de la hauteur utile et de la tranchée morte déterminées par l'étude hydrologique

avec  $h_N$ : hauteur normale de la retenue

$h_U$ : hauteur utile  $h_U = 4,5 \text{ m.}$

$h_M$ : hauteur de la tranchée morte  $h_M = 6,3 \text{ m.}$

$$h_N = h_U + h_M$$

$$\text{alors } h_N = 10,8 \text{ m.}$$

##### 1.1.3: La charge déversée : $h_d$

La charge maximale au dessus du seuil du déversoir est déterminée par l'étude du débordage de la crue

$$\text{on } h_d = 0,4 \text{ m.}$$

##### 1.1.4: La hauteur d'évaporation : $E$

Cette hauteur est calculée comme étant l'évaporation annuelle déterminée par l'étude hydrologique  $L$

$$E = 1590 \text{ mm} \approx 1,6 \text{ m.}$$

##### 1.1.5: La revanche

La revanche est une tranchée comprise entre la côte des plus hautes

eaux et la crête du barrage. Elle est déterminée de telle façon que les vagues qui pourraient se former ne submergent pas le digue et constitue de plus une tranchée de sécurité en cas de crue catastrophique.

Nous calculons la revanche „R” par la formule de STEVENSON

$$R = 0,75 h_v + \frac{V^2}{2g}$$

où  $V = 1,5 + 2 h_v$

avec  $h_v = 0,76 + 0,032 \sqrt{W \cdot F} - 0,26 \sqrt[4]{F}$  (hauteur des vagues)

$W$ : vitesse du vent ( $W = 54 \text{ m/s} = 194 \text{ km/h}$ )

$F$ : longueur du plan d'eau ( $F = 0,197 \text{ km}$ )

alors  $h_v = 0,78 \text{ m}$

$V = 3 \text{ m}$

et  $R = 1 \text{ m.}$  (revanche)

#### 1.5: hauteur du dérapage : D

On a pris une hauteur de  $0,6 \text{ m}$

$D = 0,6 \text{ m.}$

donc la hauteur totale de la digue est :

$$H = h_N + h_d + E + R + D$$

$$H = 14,4 \text{ m.}$$

#### 1.6: la largeur en crête de la digue

La largeur en crête de l'ouvrage doit assurer une sécurité suffisante contre tout risque de submersion par les vagues où cas où la revanche serait trop faible.

Cette largeur peut être estimée à partir de deux formules  
celle de KNAPPEN et celle de PREECE

- formule de KNAPPEN

$$bc = 1,65 \sqrt{H}$$

$$bc = 1,65 \sqrt{14,4}$$

$$bc = 6,26 \text{ m.}$$

- formule de PREECE

$$bc = 1 + 1,1 \sqrt{H}$$

$$bc = 1 + 1,1 \sqrt{14,4}$$

$$bc = 5,17$$

En tenant compte du fait que la largeur en crête est une bonne garde contre le tremblement de terre, on prendra pour notre projet la valeur moyenne :  $bc = 5,7 \text{ m}$

$$\approx bc \quad bc \approx 6 \text{ m.}$$

### 3.1: Pente des talus de la digue

La pente des parois ainsi que le type de la digue dépendra des matériaux disponibles pour la construction.

Dans notre cas la digue sera de type homogène mais à fort pourcentage d'argiles

Pour déterminer la pente des talus, on se donne des pentes qui paraissent optimales et on vérifie ensuite grâce à une étude de stabilité avec ces pentes, la digue présente une sécurité suffisante, nous tirons du tableau n° 23 qui donne les pentes des talus en fonction de la hauteur de la digue et de son type

Tableau n° 23

Pentes des talus en fonction de la hauteur et du type de la digue

| hauteur de la digue | Type de la digue                         | Pentes des talus |       |
|---------------------|--|------------------|-------|
|                     |  | amont            | aval  |
| (3 à 5) m           | 1. homogène                              | 1/2,5            | 1/2   |
|                     | 2. à 2 zones                             | 1/2              | 1/2.  |
| (5 à 10) m          | 1. homogène, granulométrie étendue       | 1/2              | 1/2   |
|                     | 2. homogène, à fort pourcentage d'argile | 1/2,5            | 1/2   |
|                     | 3. à 2 zones                             | 1/2              | 1/2   |
| (10 à 20) m         | 1. homogène granulométrique étendue.     | 1/2,5            | 1/2   |
|                     | 2. homogène, à fort pourcentage d'argile | 1/3              | 1/2,5 |
|                     | 3. à 2 zones                             | 1/2,5            | 1/2,5 |
| 20 m et plus        | 1. homogène, granulométrie étendue       | 1/3              | 1/2,5 |
|                     | 2. homogène, à fort pourcentage d'argile | 1/3,5            | 1/2,5 |
|                     | 3. à 2 zones                             | 1/3              | 1/3   |

}

Pour notre cas, on prend les pentes suivantes

- Pente amont : 1/3

- Pente aval : 1/2.5

### 2.2: Protection des talus

Les talus doivent être protégés contre l'érosion provoquée par les vagues et le ruissellement des eaux de pluie.

### 2.3: Talus amont:

Une protection contre le batillage des vagues est indispensable, elle peut être réalisée en enrochement rangé à la main ou en vrac, cette dernière, par sa facilité de mise en place et pour son économie est plus préférable.

La protection doit reposer sur une couche drainante qui s'oppose à l'entrainement des petites particules du corps de la digue, par le courant liquide, surtout lors de l'abaissement rapide du niveau du réservoir

L'épaisseur minimale de cette protection peut être calculée par les formules empiriques suivantes

- formule de CHANKIN

$$t_{\min} = 1,7 \cdot h_v \frac{\delta}{\delta_p - \delta} \frac{\sqrt{1+m^2}}{m(2+m)}$$

avec  $t_{\min}$ : épaisseur minimale de protection en (m)

$h_v$ : hauteur des vagues en (m)

$\delta$ : poids volumique de l'eau en ( $t/m^3$ )

$\delta_p$ : poids volumique des pierres en ( $t/m^3$ )

$m$ : fruit du talus amont.

$$\text{alors } t_{\min} = 1,7 \cdot 0,78 \frac{1}{2,2-1} \cdot \frac{\sqrt{1+3^2}}{3(2+3)}$$

$$t_{\min} = 0,83 \text{ m.}$$

### formule de Pickin

$$t_{\min} = \frac{n \cdot 0,78 \cdot h \nu}{\gamma_p - \delta} \sqrt{\frac{1+m^2}{m^2}}$$

avec  $n$ : facteur de sécurité  $n = 1,2 \div 1,5$

$$\text{d'où } t_{\min} = 0,77 \text{ m}$$

On prendra une valeur moyenne de l'épaisseur minimale de protection  $t_{\min} = 0,90 \text{ m}$

$$t_{\min} = 90 \text{ cm.}$$

### 2.1: Talus aval

En pratique, le talus aval est en herbe au fur et à mesure que les traveaux avancent, et enherbement contribuera à la consolidation rapide des terres.

### 3. Détermination de la ligne de saturation.

Avant d'entreprendre le calcul de la stabilité, il faut déterminer la position de la ligne de saturation qui délimite la partie sèche de la digue et celle qui est saturée d'eau.

### 4. Protection contre les infiltrations.

Du fait qu'on a créé une charge hydraulique derrière la digue, l'eau aura tendance à s'infiltrer dans le massif même du barrage et dans le terrain d'assise.

Le choix des matériaux de construction et de l'emplacement de la digue aura été fait de telle sorte que les débits d'infiltration

soient négligeables.

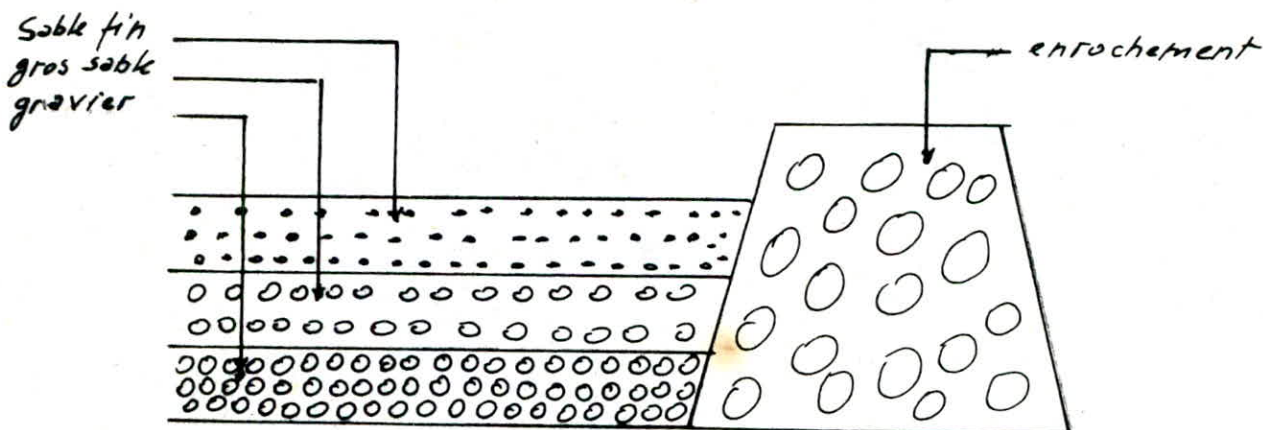
Toutefois, ceux-ci ne sont jamais nuls et il importe de s'assurer que les resurgences, à l'éaval, des eaux infiltrées ne nuisent pas à la stabilité de l'ouvrage.

Pour cela il faut éviter d'une part que ces eaux ne causent des destructions locales en entraînant des particules de terre ou talus éaval, d'autre part, les répressions éaval ne tendent pas à soulever le pied de la digue.

Donc on aura soin de placer au pied aval du massif un tapis filtrant et un drain de pied qui servent pour effet de rebattre la ligne de saturation à l'intérieur de la digue en interceptant les eaux d'infiltrations.

fig n°:

Tapis filtrant avec drain de pied



### 5. Ligne de saturation.

L'allure de la ligne de saturation est une fonction des caractéristiques de perméabilité des matériaux de construction.

Elle est déterminée sur la base de la parabole de Kozeny. Toutefois ce agrandissement apportera quelques précisions en faisant partir la parabole théorique d'un point situé à 0,3 m du point M où  $m_i$  est la projection de la partie du talus. La ligne de saturation partira d'un point situé à l'intersection du plan d'eau et du parement amont

C'est une parabole d'équation

$$X^2 + Y^2 = (X + Y_0)^2$$

$$\text{où } X = \frac{Y^2 - Y_0^2}{2Y_0}$$

$$\text{avec } Y_0 = \sqrt{h^2 + d^2 - d}$$

$$\text{avec } d = 41,1 \text{ m (calculé graphiquement)}$$

$$Y_0 = 1,39 \text{ m}$$

La ligne de saturation telle partira d'un point M situé à l'intersection du parement amont et du plan d'eau, la tangente en M est perpendiculaire au parement. Elle rejoindra ensuite la parabole théorique.

Tableau n° 24 : Coordonnées ( $X, Y$ ) pour le tracé, point par point de la ligne de saturation

|                      |   |        |       |      |      |       |       |      |       |
|----------------------|---|--------|-------|------|------|-------|-------|------|-------|
| abscisses<br>( $X$ ) | m | -0,698 | 0,735 | 5,03 | 12,2 | 28,24 | 35,14 | 41,1 | 28,33 |
| ordonnées<br>( $Y$ ) | m | 0      | 2     | 4    | 6    | 8     | 10    | 19,8 | 9     |

### 6. calcul du débit de fuite

Nous prenons une valeur approximative de perméabilité  $K$  des argiles soit  $K = 1,2 \cdot 10^{-8} \text{ m/s}$

Le débit de fuite est égal à "q" donné par la formule suivante

$$q = K \cdot c$$

$$q = K (\sqrt{h^2 + d^2} - d)$$

$$q = 1,2 \cdot 10^{-8} (\sqrt{(19,8)^2 + (11,1)^2} - 41,1)$$

$$q = 0,167 \cdot 10^{-7} \text{ m}^3/\text{s}$$

### 7. Etude de la stabilité

#### 7.1. Exposé du problème

Un barrage en terre est un massif étendue, il n'est pas nécessaire de vérifier sa stabilité contre le renversement, mais, il est nécessaire de vérifier la stabilité des talus de la digue.

Le glissement peut se produire soudainement ou dans plusieurs mois, voire, plusieurs années.

La cause du glissement évident est due à l'action hydrodynamique de l'eau. Si certaines ruptures de talus présentent une forme circulaire, dans le nature souvent, la ligne de glissement diffère d'un cercle.

Devant un tel cas, nous allons procéder par la méthode des tranches ou méthode suédoise due à Pettersson (1916) développée pour les ruptures circulaires par Fellenius (1927) perfectionnée plus récemment par Bishop (1954) étendue aux ruptures non circulaires par Monveiller (1963).

$$\cos \alpha_n = \sqrt{1 - \sin^2 \alpha_n}$$

avec  $\alpha_n$ : angle que fait la droite interceptant le tranché n<sup>ième</sup> considérée avec la verticale

$$dl = \frac{b}{\cos \alpha_n}$$

alors le coefficient de sécurité  $K_s$  se définit comme suit

$$K_s = \frac{\sum (G_n \sqrt{1 - (\frac{b}{m})^2} - \frac{h_p b}{\cos \alpha_n}) \operatorname{tg} \varphi + \sum \frac{c \cdot b}{\cos \alpha_n} - \sum (N - k) \operatorname{tg} \varphi + \sum c_i d_i}{\sum G_n \frac{b}{m}}$$

les cas à considérer :

#### Talus amont : Vidange rapide

Une vidange peut être considérée comme rapide si elle est faite en moins d'un mois et si la digue est constituée de terrains très imperméables

#### Talus aval :

- fin de construction (réservoir vide)
- fonctionnement normal (réservoir plein)

Pour tous les cas cités, nous devons aussi tenir compte de l'effet du séisme en faisant intervenir une force due à l'accélération d'un tel mouvement.

Le coefficient de sécurité en cas de séisme est :

$$K_{ss} = \frac{\sum (N - k) \operatorname{tg} \varphi + \sum c_i d_i}{\sum T_n + \frac{1}{R} \sum a_n d_n}$$

avec  $a_i$ : accélération du séisme

$d_n$ : longueur de levier de la tranché n

$b_n$ : poids de la tranché n.

les calculs sont recapitulés dans les tableaux suivants

TALUS AVAL FIN DE CONSTRUCTION R=18 m

| N° de tranché | b [m] | L [m] | y <sub>0</sub> [m] | G <sub>n</sub> [t] | α <sup>o</sup> | δ <sup>o</sup> | cos δ <sup>o</sup> | sin δ <sup>o</sup> | G <sub>n cos δ<sup>o</sup></sub> [t] | G <sub>n sin δ<sup>o</sup></sub> [t] | Q <sub>n</sub> [t] | Q <sub>n</sub> [t] | G <sub>f</sub> [t] | J <sub>f</sub> [t] | G <sub>ndn</sub> |
|---------------|-------|-------|--------------------|--------------------|----------------|----------------|--------------------|--------------------|--------------------------------------|--------------------------------------|--------------------|--------------------|--------------------|--------------------|------------------|
| -4            | 1,8   | 1,5   | 1,75               | 2,36               | 24             | 0,41           | 0,91               | 0,96               | 2,15                                 | 0,78                                 | 1,95               | 1,3                | 2,53               | 15,75              | 6,69             |
| -3            | 1,8   | 2,85  | 1,75               | 4,49               | 17,6           | 0,30           | 0,95               | 1,34               | 4,27                                 | 1,55                                 | 1,8                | 1,3                | 2,34               | 15,68              | 12,67            |
| -2            | 1,8   | 4,05  | 1,75               | 6,38               | 11,6           | 0,20           | 0,98               | 1,27               | 6,24                                 | 2,27                                 | 1,8                | 1,3                | 2,34               | 15,53              | 17,83            |
| -1            | 1,8   | 4,95  | 1,75               | 7,79               | 6              | 0,10           | 0,99               | 0,78               | 7,75                                 | 2,82                                 | 1,8                | 1,3                | 2,34               | 15,37              | 21,55            |
| 0             | 1,8   | 5,85  | 1,75               | 9,21               | 0              | 0              | 1                  | 0                  | 9,21                                 | 3,35                                 | 1,8                | 1,3                | 2,34               | 15,07              | 24,98            |
| 1             | 1,8   | 6,45  | 1,75               | 10,16              | 6              | 0,10           | 0,99               | 1,01               | 10,05                                | 3,65                                 | 1,8                | 1,3                | 2,34               | 14,62              | 26,73            |
| 2             | 1,8   | 6,9   | 1,75               | 10,86              | 11,6           | 0,20           | 0,98               | 2,17               | 10,64                                | 3,87                                 | 1,8                | 1,3                | 2,34               | 14,25              | 27,85            |
| 3             | 1,8   | 7,2   | 1,75               | 11,34              | 17,6           | 0,30           | 0,95               | 3,40               | 10,77                                | 3,91                                 | 1,95               | 1,3                | 2,53               | 13,74              | 28,04            |
| 4             | 1,8   | 7,2   | 1,75               | 11,34              | 24             | 0,41           | 0,91               | 4,64               | 10,32                                | 3,75                                 | 1,95               | 1,3                | 2,53               | 13,74              | 28,04            |
| 5             | 1,8   | 6,9   | 1,75               | 10,86              | 30             | 0,50           | 0,86               | 5,43               | 9,41                                 | 3,42                                 | 2,10               | 1,3                | 2,73               | 12,15              | 23,75            |
| 6             | 1,8   | 6,45  | 1,75               | 10,16              | 37             | 0,60           | 0,79               | 6,09               | 8,11                                 | 2,95                                 | 2,25               | 1,3                | 2,92               | 11,33              | 20,72            |
| 7             | 1,8   | 5,7   | 1,75               | 8,97               | 45             | 0,71           | 0,71               | 6,37               | 6,34                                 | 2,30                                 | 2,40               | 1,3                | 3,12               | 10,05              | 16,95            |
| 8             | 1,8   | 4,35  | 1,75               | 6,85               | 54             | 0,81           | 0,59               | 5,54               | 4,02                                 | 1,46                                 | 3,00               | 1,3                | 3,90               | 8,62               | 10,62            |
| 9             | 1,5   | 1,95  | 1,75               | 2,55               | 65             | 0,91           | 0,42               | 2,32               | 1,08                                 | 0,39                                 | 3,90               | 1,3                | 5,07               | 6,82               | 3,13             |

$\Sigma = 41,3$

$\Sigma = -36,47$

$\Sigma = -39,39$

$\Sigma = 269,55$

K<sub>s</sub> = 1,83

K<sub>ss</sub> = 1,34

TALUS AVAL FIN DE CONSTRUCTION R=20,25m

| N <sup>o</sup><br>de<br>branche | b [E] | h [E] | d [E/m <sup>3</sup> ] | G <sub>f</sub> [t] | γ <sub>f</sub> | γ <sub>s</sub> | G <sub>s</sub> | G <sub>ss</sub> [t/m <sup>3</sup> ] | G <sub>c</sub> [t] | G <sub>cs</sub> [t] | ρ <sub>g</sub> [kg/m <sup>3</sup> ] | E [E] | C <sub>f</sub> | C <sub>s</sub> [E] | J <sub>f</sub> | ΔG <sub>f</sub> |
|---------------------------------|-------|-------|-----------------------|--------------------|----------------|----------------|----------------|-------------------------------------|--------------------|---------------------|-------------------------------------|-------|----------------|--------------------|----------------|-----------------|
| -5                              | 1,5   | 0,60  | 1,75                  | 0,78               | 30             | 0,5            | 0,86           | 0,39                                | 0,67               | 0,24                | 1,8                                 | 1,3   | 2,34           | 17,55              | 246            |                 |
| -4                              | 2,02  | 2,40  | 1,75                  | 4,24               | 23,5           | 0,39           | 0,92           | 1,65                                | 3,9                | 1,42                | 1,4                                 | 1,3   | 1,82           | 17,4               | 13,27          |                 |
| -3                              | 2,02  | 3,90  | 1,75                  | 6,89               | 17             | 0,29           | 0,95           | 1,99                                | 6,55               | 2,38                | 2,25                                | 1,3   | 2,92           | 17,4               | 21,57          |                 |
| -2                              | 2,02  | 5,25  | 1,75                  | 9,28               | 11,5           | 0,19           | 0,98           | 1,76                                | 9,9                | 3,60                | 1,95                                | 1,3   | 2,53           | 17,32              | 28,93          |                 |
| -1                              | 2,02  | 6,45  | 1,75                  | 11,40              | 6              | 0,1            | 0,99           | 1,14                                | 11,28              | 4,10                | 2,1                                 | 1,3   | 2,73           | 17,02              | 34,92          |                 |
| 0                               | 2,02  | 7,20  | 1,75                  | 12,72              | 0              | 0              | 1              | 0                                   | 11,22              | 4,08                | 1,95                                | 1,3   | 2,53           | 16,65              | 38,12          |                 |
| 1                               | 2,02  | 7,95  | 1,75                  | 14,05              | 6              | 0,1            | 0,99           | 1,40                                | 13,91              | 5,06                | 2,1                                 | 1,3   | 2,73           | 16,27              | 41,14          |                 |
| 2                               | 2,02  | 8,55  | 1,75                  | 15,11              | 11,5           | 0,19           | 0,98           | 2,87                                | 14,80              | 5,38                | 2,1                                 | 1,3   | 2,73           | 15,67              | 42,62          |                 |
| 3                               | 2,02  | 8,70  | 1,75                  | 15,37              | 17             | 0,29           | 0,95           | 4,46                                | 14,60              | 5,31                | 2,25                                | 1,3   | 2,92           | 15                 | 41,49          |                 |
| 4                               | 2,02  | 8,85  | 1,75                  | 15,64              | 23,5           | 0,39           | 0,92           | 10,59                               | 14,38              | 5,23                | 2,4                                 | 1,3   | 2,92           | 14,18              | 39,91          |                 |
| 5                               | 2,02  | 8,55  | 1,75                  | 15,11              | 30             | 0,5            | 0,86           | 7,55                                | 12,99              | 4,72                | 2,55                                | 1,3   | 3,12           | 13,28              | 36,11          |                 |
| 6                               | 2,02  | 8,10  | 1,75                  | 14,31              | 37             | 0,6            | 0,79           | 8,58                                | 11,31              | 4,11                | 2,85                                | 1,3   | 3,31           | 12,15              | 31,29          |                 |
| 7                               | 2,02  | 7,20  | 1,75                  | 12,72              | 44,5           | 0,7            | 0,71           | 8,89                                | 7,97               | 2,89                | 3,33                                | 1,3   | 3,70           | 10,95              | 25,07          |                 |
| 8                               | 2,02  | 4,80  | 1,75                  | 8,48               | 53             | 0,79           | 0,6            | 6,7                                 | 5,9                | 2,14                | 3,80                                | 1,3   | 4,32           | 9,75               | 14,88          |                 |
| 9                               | 1,65  | 165   | 1,75                  | 2,91               | 63,5           | 0,89           | 0,44           | 2,59                                | 1,28               | 0,46                | 3,9                                 | 1,3   | 5,07           | 8,18               | 4,28           |                 |

K<sub>s</sub>=1,59

K<sub>ss</sub>=1,19

Σ=60,56

Σ=51,12

Σ=45,73

Σ=416,06

TALLUS AVAL FIN DE CONSTRUCTION R. 21,90 m

| Nº de<br>branche | b [m]   | h [m]    | $\gamma [t/m^3]$ | G     | $\alpha^\circ$ | $\sin \alpha^\circ$ | $\cos \alpha^\circ$ | $G_{in} [t/m^3]$ | $G_{out} [t]$ | $\rho_{out} [t/m^3]$ | $Q_m [m]$ | J             | $S_m$ | $d_e [m]$       | $a_{Gout}$ |
|------------------|---------|----------|------------------|-------|----------------|---------------------|---------------------|------------------|---------------|----------------------|-----------|---------------|-------|-----------------|------------|
| -5               | 2,19    | 1,35     | 1,75             | 2,58  | 30             | 0,5                 | 0,86                | 1,29             | 2,23          | 0,81                 | 2,70      | 1,3           | 3,51  | 18,22           | 8,46       |
| -4               | 2,19    | 3,30     | 1,75             | 6,32  | 23             | 0,39                | 0,92                | 2,47             | 5,82          | 2,11                 | 2,40      | 1,3           | 3,12  | 18,45           | 20,98      |
| -3               | 2,19    | 5,10     | 1,75             | 9,77  | 17             | 0,29                | 0,95                | 2,85             | 9,28          | 3,37                 | 2,25      | 1,3           | 2,92  | 18,25           | 32,09      |
| -2               | 2,19    | 6,45     | 1,75             | 12,36 | 11             | 0,19                | 0,98                | 2,34             | 12,11         | 4,40                 | 2,10      | 1,3           | 2,73  | 18,23           | 40,55      |
| -1               | 2,19    | 7,50     | 1,75             | 14,37 | 6              | 0,10                | 0,99                | 1,43             | 14,22         | 5,17                 | 2,10      | 1,3           | 2,73  | 18              | 46,55      |
| 0                | 2,19    | 7,80     | 1,75             | 14,94 | 0              | 0                   | 1                   | 0                | 14,94         | 5,43                 | 2,10      | 1,3           | 2,73  | 18              | 48,40      |
| 1                | 2,19    | 9,30     | 1,75             | 17,82 | 6              | 0,10                | 0,99                | 1,78             | 17,64         | 6,42                 | 2,25      | 1,3           | 2,92  | 17,1            | 54,84      |
| 2                | 2,19    | 9,75     | 1,75             | 18,68 | 11             | 0,19                | 0,98                | 3,54             | 18,30         | 6,66                 | 2,25      | 1,3           | 2,92  | 16,28           | 54,73      |
| 3                | 2,19    | 10,05    | 1,75             | 19,22 | 17             | 0,29                | 0,95                | 5,57             | 18,26         | 6,64                 | 2,25      | 1,3           | 2,92  | 15,75           | 54,48      |
| 4                | 2,19    | 10,2     | 1,75             | 19,54 | 23             | 0,39                | 0,92                | 7,62             | 17,98         | 6,54                 | 2,40      | 1,3           | 3,12  | 15,15           | 53,28      |
| 5                | 2,19    | 9,90     | 1,75             | 18,97 | 30             | 0,5                 | 0,86                | 9,48             | 16,31         | 5,93                 | 2,55      | 1,3           | 3,31  | 13,95           | 47,63      |
| 6                | 2,19    | 9,30     | 1,75             | 17,82 | 37             | 0,6                 | 0,79                | 10,72            | 14,23         | 5,17                 | 2,70      | 1,3           | 3,51  | 13,05           | 41,85      |
| 7                | 2,19    | 8,10     | 1,75             | 15,52 | 44             | 0,69                | 0,72                | 10,78            | 11,16         | 4,06                 | 3,00      | 1,3           | 3,90  | 11,55           | 32,26      |
| 8                | 2,19    | 5,7      | 1,75             | 10,92 | 53             | 0,79                | 0,60                | 8,72             | 6,57          | 2,39                 | 3,6       | 1,3           | 4,68  | 10,35           | 20,34      |
| 9                | 1,95    | 1,35     | 1,75             | 2,30  | 64             | 0,89                | 0,44                | 2,06             | 1,00          | 0,36                 | 4,65      | 1,3           | 6,04  | 9,07            | 3,75       |
|                  | V = 100 | V .. 100 |                  |       |                |                     |                     |                  | $\Sigma 707$  | $\Sigma 637$         |           | $\Sigma 5119$ |       | $\Sigma 560,19$ |            |

## TALUS AVAL

## FIN DE CONSTRUCTION

R = 25,50 m

| N° de branche | D [m] | h [E] | $\delta$ [t/E] | Gc [E] | $\gamma_c$ | Sin $\alpha_s$ | Cos $\alpha_s$ | Gn Sin $\alpha_s$ [t] | Gn Cos $\alpha_s$ [E] | Gn Cos $\alpha_s$ [t] | Ln [m] | Cn  | Ce ln [m] | de [m] | de dn |
|---------------|-------|-------|----------------|--------|------------|----------------|----------------|-----------------------|-----------------------|-----------------------|--------|-----|-----------|--------|-------|
| -3            | 1,65  | 4,5   | 1,75           | 6,49   | 18         | 0,31           | 0,95           | 2,01                  | 6,17                  | 2,24                  | 1,8    | 1,3 | 2,34      | 22,2   | 25,93 |
| -2            | 2,55  | 2,1   | 1,75           | 4,68   | 11,5       | 0,19           | 0,98           | 0,89                  | 4,59                  | 1,67                  | 2,55   | 1,3 | 3,31      | 23,85  | 20,09 |
| -1            | 2,55  | 3,45  | 1,75           | 7,69   | 6          | 0,10           | 0,99           | 0,77                  | 7,61                  | 2,76                  | 2,55   | 1,3 | 3,31      | 23,62  | 32,69 |
| 0             | 2,55  | 4,8   | 1,75           | 10,71  | 0          | 0              | 1              | 0                     | 10,71                 | 3,89                  | 2,7    | 1,3 | 3,51      | 23,1   | 44,53 |
| 1             | 2,55  | 4,8   | 1,75           | 10,71  | 6          | 0,10           | 0,9            | 1,07                  | 9,64                  | 3,50                  | 2,55   | 1,3 | 3,31      | 22,95  | 44,18 |
| 2             | 2,55  | 6     | 1,75           | 13,38  | 11,5       | 0,19           | 0,95           | 2,54                  | 13,11                 | 4,77                  | 2,7    | 1,3 | 3,51      | 21     | 50,57 |
| 3             | 2,55  | 6,45  | 1,75           | 14,39  | 18         | 0,31           | 0,91           | 4,46                  | 13,67                 | 4,97                  | 2,7    | 1,3 | 3,51      | 20,92  | 54,18 |
| 4             | 2,55  | 6,45  | 1,75           | 14,39  | 24         | 0,41           | 0,86           | 5,89                  | 13,09                 | 4,76                  | 2,85   | 1,3 | 3,70      | 20,02  | 51,85 |
| 5             | 2,55  | 6,15  | 1,75           | 13,72  | 30,5       | 0,51           | 0,78           | 6,99                  | 11,80                 | 4,29                  | 3,0    | 1,3 | 3,9       | 18,83  | 46,50 |
| 6             | 2,55  | 4,65  | 1,75           | 10,37  | 38         | 0,61           | 0,76           | 6,32                  | 8,08                  | 2,94                  | 3,3    | 1,3 | 4,29      | 17,93  | 33,46 |
| 7             | 2,55  | 3,45  | 1,75           | 7,69   | 45         | 0,71           | 0,71           | 5,46                  | 5,46                  | 1,98                  | 3,6    | 1,3 | 4,68      | 16,27  | 22,52 |
| 8             | 2,55  | 2,1   | 1,75           | 4,69   | 54,5       | 0,81           | 0,58           | 3,79                  | 2,71                  | 0,98                  | 3,75   | 1,3 | 4,87      | 13,95  | 11,75 |

 $\sum = 43,73$  $\sum = 38,75$  $\sum = 44,24$  $\sum = 438,25$ 

$K_s = 1,89$

$K_{ss} = 1,36$

## TALUS AVAL

## FONCTIONNEMENT NORMAL

R=18 m

| N° de tranchée | b [m] | h [m] | h' [m] | y [m] | y' [m] | Gc [t] | Gf [t] | sin α | cos α | Gn sin α [t] | Gn cos α [t] | Gn [kN] | Gn cotg φ | Cn   | hn [m] | Gn hn [m] | d[n] [m] | 2(Gn)dn |
|----------------|-------|-------|--------|-------|--------|--------|--------|-------|-------|--------------|--------------|---------|-----------|------|--------|-----------|----------|---------|
| -5             | 0,9   | 0,60  | 0      | 1,75  | 1,85   | 0,47   | 30     | 0,50  | 0,86  | 0,23         | 0,40         | 0,14    | 1,3       | 1,05 | 1,36   | 15,45     | 1,30     |         |
| -4             | 1,8   | 1,65  | 0      | 1,75  | 1,85   | 2,6    | 24     | 0,40  | 0,91  | 1,04         | 2,36         | 0,86    | 1,3       | 1,95 | 2,53   | 15,68     | 7,33     |         |
| -3             | 1,8   | 3,00  | 0      | 1,75  | 1,85   | 4,72   | 17,5   | 0,30  | 0,95  | 1,42         | 4,48         | 1,63    | 1,3       | 1,8  | 2,34   | 15,75     | 13,38    |         |
| -2             | 1,8   | 4,20  | 0      | 1,75  | 1,85   | 6,61   | 11,5   | 0,19  | 0,97  | 1,32         | 6,41         | 2,33    | 1,3       | 1,8  | 2,34   | 15,6      | 18,5     |         |
| -1             | 1,8   | 5,25  | 0      | 1,75  | 1,85   | 8,27   | 6      | 0,10  | 0,99  | 0,83         | 8,19         | 2,98    | 1,3       | 1,8  | 2,34   | 15,23     | 22,6     |         |
| 0              | 1,8   | 6,00  | 0      | 1,75  | 1,85   | 9,45   | 0      | 0     | 1     | 0            | 9,45         | 3,44    | 1,3       | 1,8  | 2,34   | 15        | 25,5     |         |
| 1              | 1,8   | 6,75  | 0      | 1,75  | 1,85   | 10,63  | 6      | 0,10  | 0,99  | 1,10         | 10,53        | 3,83    | 1,3       | 1,8  | 2,34   | 14,63     | 27,9     |         |
| 2              | 1,8   | 6,60  | 0,45   | 1,75  | 1,85   | 11,38  | 11,5   | 0,19  | 0,97  | 2,3          | 11,05        | 3,85    | 1,3       | 1,95 | 2,53   | 13,95     | 28,5     |         |
| 3              | 1,8   | 6,60  | 0,75   | 1,75  | 1,85   | 11,64  | 17,5   | 0,30  | 0,95  | 3,5          | 11,06        | 3,82    | 1,3       | 1,95 | 2,53   | 13,57     | 28,4     |         |
| 4              | 1,8   | 6,60  | 0,9    | 1,75  | 1,85   | 11,9   | 24     | 0,40  | 0,91  | 4,9          | 10,83        | 3,61    | 1,3       | 2,1  | 2,53   | 12,75     | 27,3     |         |
| 5              | 1,8   | 6,75  | 0,6    | 1,75  | 1,85   | 11,4   | 30     | 0,50  | 0,86  | 5,7          | 9,81         | 3,35    | 1,3       | 2,25 | 2,73   | 12        | 24,6     |         |
| 6              | 1,8   | 5,85  | 0      | 1,75  | 1,85   | 10,93  | 37     | 0,60  | 0,79  | 6,6          | 8,64         | 3,14    | 1,3       | 2,4  | 2,92   | 11,02     | 21,6     |         |
| 7              | 1,8   | 5,80  | 0      | 1,75  | 1,85   | 9,48   | 45     | 0,70  | 0,70  | 6,7          | 6,64         | 2,42    | 1,3       | 3    | 3,12   | 9,97      | 17,0     |         |
| 8              | 1,8   | 4,50  | 0      | 1,75  | 1,85   | 7,3    | 52     | 0,78  | 0,61  | 5,84         | 4,45         | 1,62    | 1,3       | 3,2  | 3,9    | 8,55      | 11,2     |         |
| 9              | 1,8   | 2,10  | 0      | 1,75  | 1,85   | 3,4    | 66     | 0,91  | 0,40  | 3,09         | 1,36         | 0,49    | 1,3       | 4,65 | 6,04   | 6,45      | 3,94     |         |

$K_s = 1,78$

$K_{ss} = 1,32$

$\Sigma = 44,57$

$\Sigma = 37,51$

$\Sigma = 41,89$

$\Sigma = 279,5$

## TALUS AVAL

## FONCTIONNEMENT NORMAL

 $R = 19,5 \text{ m}$ 

| N° de tranché | D [m] | h [m]           | H [m] | $\gamma_h$ [kN/m³] | $\gamma_{h_0}$ | G [t] | $\chi_e$ | $\sin \alpha_e$ | $\cos \alpha_e$ | $\tan \alpha_e$ | $G_n \tan \alpha_e$ | $\frac{\gamma_h}{\gamma_{h_0}} \times \tan \alpha_e$ | $\zeta$ | $l_s$ [m] | $\zeta_s$ | $d_s$         | $a G_n d_s$ |
|---------------|-------|-----------------|-------|--------------------|----------------|-------|----------|-----------------|-----------------|-----------------|---------------------|--|---------|-----------|-----------|---------------|-------------|
| -5            | 1,35  | 0,45            | 0     | 1,75               | 1,85           | 0,53  | 30       | 0,5             | 0,86            | 0,26            | 0,45                | 0,16   | 1,3     | 1,65      | 2,14      | 16,7          | 1,59        |
| -4            | 1,95  | 2,25            | 0     | 1,75               | 1,85           | 3,83  | 23,2     | 0,39            | 0,91            | 1,49            | 3,48                | 1,26   | 1,3     | 1,95      | 2,53      | 16,88         | 11,63       |
| -3            | 1,95  | 3,75            | 0     | 1,75               | 1,85           | 6,39  | 17,5     | 0,30            | 0,95            | 1,91            | 6,07                | 2,21   | 1,3     | 1,95      | 2,53      | 16,87         | 19,41       |
| -2            | 1,95  | 5,1             | 0     | 1,75               | 1,85           | 8,70  | 11,5     | 0,19            | 0,97            | 1,57            | 8,44                | 3,07   | 1,3     | 1,95      | 2,53      | 16,6          | 25,9        |
| -1            | 1,95  | 6,15            | 0     | 1,75               | 1,85           | 10,49 | 6        | 0,10            | 0,99            | 1,05            | 10,37               | 3,77   | 1,3     | 1,95      | 2,53      | 16,3          | 30,7        |
| 0             | 1,95  | 6,9             | 0     | 1,75               | 1,85           | 11,77 | 0        | 0               | 1               | 0               | 11,77               | 4,28   | 1,3     | 1,95      | 2,53      | 16,05         | 34,0        |
| 1             | 1,95  | 6,6             | 1,2   | 1,75               | 1,85           | 13,42 | 6        | 0,10            | 0,99            | 1,34            | 13,28               | 4,83   | 1,3     | 2,1       | 2,73      | 15,6          | 37,6        |
| 2             | 1,95  | 6,45            | 1,8   | 1,75               | 1,85           | 14,25 | 11,5     | 0,19            | 0,97            | 2,71            | 13,82               | 5,03   | 1,3     | 2,1       | 2,73      | 15,07         | 38,6        |
| 3             | 1,95  | 6,45            | 1,95  | 1,75               | 1,85           | 14,25 | 17,5     | 0,30            | 0,95            | 4,35            | 13,79               | 5,02   | 1,3     | 2,1       | 2,73      | 14,55         | 38,0        |
| 4             | 1,95  | 6,6             | 1,95  | 1,75               | 1,85           | 14,77 | 23,2     | 0,39            | 0,91            | 5,76            | 13,44               | 4,89   | 1,3     | 2,25      | 2,92      | 13,72         | 36,4        |
| 5             | 1,95  | 6,75            | 1,5   | 1,75               | 1,85           | 14,22 | 30       | 0,5             | 0,86            | 7,11            | 12,22               | 4,45   | 1,3     | 2,4       | 3,12      | 12,97         | 33,19       |
| 6             | 1,95  | 7,2             | 1,95  | 1,75               | 1,85           | 15,80 | 37       | 0,60            | 0,79            | 9,48            | 12,48               | 4,54   | 1,3     | 2,4       | 3,12      | 11,17         | 31,7        |
| 7             | 1,95  | 7,05            | 0     | 1,75               | 1,85           | 12,02 | 44       | 0,69            | 0,71            | 8,29            | 8,53                | 6,21   | -1,3    | 2,7       | 3,51      | 10,6          | 22,9        |
| 8             | 1,95  | 5,25            | 0     | 1,75               | 1,85           | 8,95  | 53       | 0,79            | 0,60            | 7,07            | 5,37                | 3,91   | 1,3     | 3,45      | 4,48      | 9,23          | 14,8        |
| 9             | 1,95  | 2,1             | 0     | 1,75               | 1,85           | 3,58  | 63,5     | 0,89            | 0,44            | 3,18            | 1,57                | 1,14   | -1,3    | 4,05      | 5,26      | 7,65          | 4,92        |
| $K_s = 1,80$  |       | $K_{ss} = 1,33$ |       | $\sum -55,59$      |                |       |          | $\sum -54,77$   |                 |                 |                     | $\sum -45,39$  |         |           |           | $\sum -381,8$ |             |

## TALUS AVAL

## FONCTIONNEMENT NORMAL

R=21 m

| Branche | b [m] | H [m] | L [m] | $\frac{H}{L}$ | $\frac{b}{L}$ | G [m] | S    | $\frac{S}{G}$ | $\frac{G}{S}$ | $\frac{G \sin \alpha}{G}$ | $\frac{\alpha}{\sin \alpha}$ | $\frac{G \cos \alpha}{G}$ | $\frac{G \cos \alpha}{G \sin \alpha}$ | $\frac{G \cos \alpha}{G}$ | $\frac{G \cos \alpha}{G \sin \alpha}$ | $\zeta$ | $\frac{\zeta}{G}$ | $\frac{\zeta}{G}$ | $\frac{\zeta}{G}$ | $\frac{\zeta}{G}$ |
|---------|-------|-------|-------|---------------|---------------|-------|------|---------------|---------------|---------------------------|------------------------------|---------------------------|---------------------------------------|---------------------------|---------------------------------------|---------|-------------------|-------------------|-------------------|-------------------|
| 5       | 2,1   | 1,8   | 0     | 1,75          | 1,85          | 1,83  | 29,5 | 0,49          | 0,87          | 0,89                      | 1,59                         | 0,58                      | 1,3                                   | 2,4                       | 3,12                                  | 17,4    | 5,73              |                   |                   |                   |
| 4       | 2,1   | 3,6   | 0     | 1,75          | 1,85          | 6,61  | 23,5 | 0,39          | 0,91          | 2,57                      | 6,01                         | 2,2                       | 1,3                                   | 2,25                      | 2,92                                  | 17,4    | 20,7              |                   |                   |                   |
| 3       | 2,1   | 5,25  | 0     | 1,75          | 1,85          | 9,64  | 17,5 | 0,30          | 0,95          | 2,89                      | 9,16                         | 3,33                      | 1,3                                   | 2,1                       | 2,73                                  | 17,4    | 30,19             |                   |                   |                   |
| 2       | 2,1   | 6,15  | 0     | 1,75          | 1,85          | 11,30 | 11,5 | 0,19          | 0,97          | 2,15                      | 10,96                        | 3,99                      | 1,3                                   | 2,1                       | 2,73                                  | 17,4    | 35,3              |                   |                   |                   |
| 1       | 2,1   | 7,8   | 0     | 1,75          | 1,85          | 14,33 | 6    | 0,10          | 0,99          | 1,43                      | 14,2                         | 5,18                      | 1,3                                   | 2,1                       | 2,73                                  | 17,5    | 45,13             |                   |                   |                   |
| 0       | 2,1   | 6,75  | 1,95  | 1,75          | 1,85          | 16,19 | 0    | 0             | 1             | 0                         | 16,19                        | 5,18                      | 1,3                                   | 2,1                       | 2,73                                  | 16,65   | 48,51             |                   |                   |                   |
| -1      | 2,1   | 6,6   | 3     | 1,75          | 1,85          | 17,95 | 6    | 0,10          | 0,99          | 1,79                      | 17,8                         | 5,40                      | 1,3                                   | 2,1                       | 2,73                                  | 16,05   | 51,8              |                   |                   |                   |
| -2      | 2,1   | 6,45  | 3,45  | 1,75          | 1,85          | 18,55 | 11,5 | 0,19          | 0,97          | 3,52                      | 17,99                        | 5,30                      | 1,3                                   | 2,25                      | 2,92                                  | 15,75   | 52,58             |                   |                   |                   |
| -3      | 2,1   | 6,6   | 3,75  | 1,75          | 1,85          | 19,42 | 17,5 | 0,30          | 0,95          | 5,82                      | 18,45                        | 5,35                      | 1,3                                   | 2,25                      | 2,92                                  | 14,93   | 52,11             |                   |                   |                   |
| -4      | 2,1   | 6,75  | 3,6   | 1,75          | 1,85          | 19,39 | 23,5 | 0,39          | 0,91          | 7,56                      | 17,64                        | 5,11                      | 1,3                                   | 2,25                      | 2,92                                  | 10,8    | 37,69             |                   |                   |                   |
| -5      | 2,1   | 7,05  | 3     | 1,75          | 1,85          | 18,78 | 29,5 | 0,49          | 0,87          | 9,20                      | 16,33                        | 4,85                      | 1,3                                   | 2,4                       | 3,12                                  | 13,28   | 46,64             |                   |                   |                   |
| -6      | 2,1   | 7,5   | 2,25  | 1,75          | 1,85          | 18,15 | 36,2 | 0,59          | 0,80          | 10,71                     | 14,52                        | 4,46                      | 1,3                                   | 2,7                       | 3,51                                  | 12,07   | 39,43             |                   |                   |                   |
| -7      | 2,1   | 7,65  | 0,9   | 1,75          | 1,85          | 15,8  | 44   | 0,69          | 0,71          | 10,9                      | 11,22                        | 3,76                      | 1,3                                   | 3                         | 3,9                                   | 10,87   | 30,9              |                   |                   |                   |
| -8      | 2,1   | 6,15  | 0     | 1,75          | 1,85          | 11,3  | 52   | 0,78          | 0,61          | 8,81                      | 6,9                          | 2,51                      | 1,3                                   | 3,45                      | 4,5                                   | 9,7     | 19,7              |                   |                   |                   |
| -9      | 2,1   | 2,85  | 0     | 1,75          | 1,85          | 5,24  | 63,5 | 0,89          | 0,44          | 4,66                      | 2,31                         | 0,84                      | 1,3                                   | 4,95                      | 6,43                                  | 8,03    | 7,57              |                   |                   |                   |

 $K_{e-} = 1,19$  $K_{es-} = 1,11$  $\sum = 72,19$  $\sum = 58,03$  $\sum = 49,88$  $\sum = 524,2$

## TALUS AMONT

## VIDANGE RAPIDE

R = 19,05 m

| z de<br>franche | b [m] | h [m] | $\gamma_f$ [kN/m³] | Gf [t] | $\delta_f$ | $\sin \alpha_f$ | $\cos \alpha_f$ | Gmin | Gmax | $\frac{G_{max} - W_f}{\tan \phi}$ | Cf  | $l_f$ [m] | $G_f$ [kN/m³] | df [m] | gén.  |
|-----------------|-------|-------|--------------------|--------|------------|-----------------|-----------------|------|------|-----------------------------------|-----|-----------|---------------|--------|-------|
| -3              | 1,9   | 0,75  | 1,85               | 1,31   | 17         | 0,29            | 0,95            | 0,38 | 1,3  | 0,17                              | 0,9 | 2,05      | 1,80          | 16,8   | 3,96  |
| -2              | 1,9   | 1,8   | 1,85               | 3,16   | 11         | 0,19            | 0,98            | 0,60 | 3,1  | 0,41                              | 0,9 | 2,0       | 1,80          | 17,6   | 10,01 |
| -1              | 1,9   | 2,7   | 1,85               | 4,74   | 5,9        | 0,10            | 0,99            | 0,47 | 4,7  | 0,63                              | 0,9 | 1,95      | 1,80          | 17,3   | 14,76 |
| 0               | 1,9   | 3,3   | 1,85               | 5,80   | 0          | 0               | 1               | 0    | 5,8  | 0,8                               | 0,9 | 1,95      | 1,80          | 17,2   | 17,95 |
| 1               | 1,9   | 3,9   | 1,85               | 6,85   | 5,9        | 0,10            | 0,99            | 0,68 | 6,8  | 0,90                              | 0,9 | 1,95      | 1,80          | 17     | 20,96 |
| 2               | 1,9   | 4,2   | 1,85               | 7,38   | 11         | 0,19            | 0,98            | 1,40 | 7,3  | 0,96                              | 0,9 | 1,95      | 1,80          | 16,5   | 21,91 |
| 3               | 1,9   | 4,35  | 1,85               | 7,64   | 17         | 0,29            | 0,95            | 2,21 | 7,3  | 0,93                              | 0,9 | 1,95      | 1,80          | 16,0   | 22,00 |
| 4               | 1,9   | 4,35  | 1,85               | 7,64   | 22         | 0,37            | 0,92            | 2,82 | 7,3  | 0,93                              | 0,9 | 1,95      | 1,80          | 15,4   | 21,17 |
| 5               | 1,9   | 4,2   | 1,85               | 7,38   | 27,9       | 0,46            | 0,88            | 3,39 | 6,5  | 0,72                              | 0,9 | 2,0       | 1,80          | 14,6   | 19,39 |
| 6               | 1,9   | 3,75  | 1,85               | 6,59   | 34         | 0,55            | 0,82            | 3,62 | 5,4  | 0,51                              | 0,9 | 2,3       | 2,1           | 13,6   | 16,13 |
| 7               | 1,9   | 3     | 1,85               | 5,27   | 41,5       | 0,66            | 0,74            | 3,47 | 3,9  | 0,3                               | 0,9 | 2,5       | 2,3           | 12,5   | 11,85 |
| 8               | 1,9   | 1,8   | 1,85               | 3,16   | 49         | 0,75            | 0,65            | 2,37 | 2,1  | 0,9                               | 0,9 | 2,85      | 2,6           | 11,5   | 6,54  |
| 9               | 0,75  | 0     | 1,85               | 0      | 57         | 0,83            | 0,54            | 0    | 0    | 0                                 | 0,9 | 1,7       | 1,6           | 10,5   | 0     |

$\sum = 21,41$

$\sum = 8,16$

$\sum = 96$

$\sum = 186,63$

$K_s = 1,55$

$K_{ss} = 1,06$

## TALUS AMONT

## VIDANGE RAPIDE

R = 21 m

| tranche | b [m] | H [m] | $\delta_{fr}$ [°] | G [t] | $\alpha$ | $\sin \alpha$ | $\cos \alpha$ | $\tan \alpha$ | $G_{fr}$ [t] | $K_s$ [Koef. de frottement] | C   | $\varphi$ [°] | $C_s$ [t] | $d_n$ [m] | $aG_s d_n$ |
|---------|-------|-------|-------------------|-------|----------|---------------|---------------|---------------|--------------|-----------------------------|-----|---------------|-----------|-----------|------------|
| -3      | 2,1   | 1,05  | 1,85              | 2,04  | 17,5     | 0,30          | 0,95          | 0,61          | 1,93         | 0,19                        | 0,9 | 2,25          | 2,18      | 18,3      | 6,71       |
| -2      | 2,1   | 2,25  | 1,85              | 4,37  | 11,5     | 0,19          | 0,97          | 0,83          | 4,23         | 0,45                        | 0,9 | 2,25          | 2,18      | 18,2      | 14,3       |
| -1      | 2,1   | 3,3   | 1,85              | 6,41  | 6        | 0,10          | 0,99          | 0,64          | 6,34         | 0,68                        | 0,9 | 2,1           | 2,2       | 18,1      | 20,88      |
| 0       | 2,1   | 4,05  | 1,85              | 7,86  | 0        | 0             | 1             | 0             | 7,86         | 0,85                        | 0,9 | 2,1           | 2,2       | 18        | 25,46      |
| 1       | 2,1   | 4,8   | 1,85              | 9,30  | 6        | 0,10          | 0,99          | 0,93          | 9,22         | 1,00                        | 0,9 | 2,1           | 2,2       | 17,75     | 29,77      |
| 2       | 2,1   | 5,1   | 1,85              | 10,19 | 11,5     | 0,19          | 0,97          | 1,88          | 9,60         | 1,01                        | 0,9 | 2,1           | 2,2       | 17,0      | 30,29      |
| 3       | 2,1   | 5,25  | 1,85              | 9,90  | 17,5     | 0,30          | 0,95          | 3,05          | 9,68         | 1,00                        | 0,9 | 2,1           | 2,2       | 16,5      | 30,26      |
| 4       | 2,1   | 5,1   | 1,85              | 9,90  | 23       | 0,39          | 0,92          | 3,86          | 9,11         | 0,90                        | 0,9 | 2,25          | 2,18      | 15,5      | 27,6       |
| 5       | 2,1   | 4,8   | 1,85              | 9,32  | 29,5     | 0,49          | 0,87          | 4,56          | 8,10         | 0,75                        | 0,9 | 2,4           | 2,7       | 14,4      | 24,15      |
| 6       | 2,1   | 3,3   | 1,85              | 6,41  | 36,5     | 0,59          | 0,80          | 3,78          | 5,12         | 0,40                        | 0,9 | 2,55          | 2,81      | 14,1      | 16,26      |
| 7       | 2,1   | 2,85  | 1,85              | 5,53  | 44       | 0,69          | 0,71          | 3,81          | 3,92         | 0,23                        | 0,9 | 3             | 2,9       | 12,1      | 12,04      |
| 8       | 2,1   | 1,2   | 1,85              | 2,33  | 53       | 0,79          | 0,60          | 1,84          | 1,39         | 0,04                        | 0,9 | 3,6           | 3,2       | 10,6      | 4,44       |

$$\sum = 25,79$$

$$\sum = 7,5$$

$$\sum = 30,2$$

$$\sum = 242,16$$

$$K_s = 1,46$$

$$K_{ss} = 1,01$$

TALUS AMONT VIDANGE RAPIDE  $R=21,15 \text{ m}$

| $\alpha$<br>de<br>tanghe | $b$<br>[m] | $h$<br>[m] | $\beta$<br>[°] | $G$<br>% | $\gamma$<br>% | $\sin \alpha$ | $\cos \alpha$ | $G \cdot \sin \alpha$ | $G \cdot \cos \alpha$ | $G \cdot \cos \alpha \cdot \tan \phi$ | $c$<br>% | $\delta$<br>% | $\gamma$<br>[m] | $\gamma \cdot \delta$<br>[m] | $a_{\text{grd}}$ |
|--------------------------|------------|------------|----------------|----------|---------------|---------------|---------------|-----------------------|-----------------------|---------------------------------------|----------|---------------|-----------------|------------------------------|------------------|
| -4                       | 1,11       | 0,3        | 1,85           | 0,41     | 23,5          | 0,39          | 0,91          | 0,16                  | 0,37                  | 0,02                                  | 0,9      | 1,65          | 1,48            | 14,9                         | 1,09             |
| -3                       | 2,11       | 1,8        | 1,85           | 3,51     | 17,5          | 0,30          | 0,95          | 1,05                  | 3,33                  | 0,47                                  | 0,9      | 2,25          | 2,02            | 15                           | 9,85             |
| -2                       | 2,11       | 3          | 1,85           | 5,85     | 11,5          | 0,19          | 0,97          | 1,11                  | 5,68                  | 0,82                                  | 0,9      | 2,1           | 1,90            | 15,5                         | 16,32            |
| -1                       | 2,11       | 4,05       | 1,85           | 7,90     | 6             | 0,10          | 0,99          | 0,79                  | 7,82                  | 1,16                                  | 0,9      | 2,1           | 1,90            | 16                           | 22,75            |
| 0                        | 2,11       | 4,8        | 1,85           | 9,36     | 0             | 0             | 1             | 0                     | 9,36                  | 1,40                                  | 0,9      | 2,1           | 1,90            | 16,2                         | 27,29            |
| 1                        | 2,11       | 5,4        | 1,85           | 10,53    | 6             | 0,10          | 0,99          | 1,05                  | 10,43                 | 1,56                                  | 0,9      | 2,1           | 1,90            | 16,1                         | 28,71            |
| 2                        | 2,11       | 5,7        | 1,85           | 11,12    | 11,5          | 0,19          | 0,97          | 2,11                  | 10,79                 | 1,6                                   | 0,9      | 2,1           | 1,90            | 14,2                         | 28,42            |
| 3                        | 2,11       | 5,85       | 1,85           | 11,41    | 17,5          | 0,30          | 0,95          | 2,12                  | 10,84                 | 1,53                                  | 0,9      | 2,1           | 1,90            | 14,1                         | 28,95            |
| 4                        | 2,11       | 5,7        | 1,85           | 11,12    | 23,5          | 0,39          | 0,91          | 3,08                  | 10,12                 | 1,35                                  | 0,9      | 2,25          | 2,02            | 14,05                        | 26,02            |
| 5                        | 2,11       | 5,25       | 1,85           | 10,24    | 30            | 0,5           | 0,86          | 4,12                  | 8,81                  | 1,1                                   | 0,9      | 2,4           | 2,16            | 14                           | 24,38            |
| 6                        | 2,11       | 5,25       | 1,85           | 10,24    | 37            | 0,60          | 0,79          | 4,14                  | 8,09                  | 0,87                                  | 0,9      | 2,55          | 2,30            | 12,1                         | 22,14            |
| 7                        | 2,11       | 3,45       | 1,85           | 6,73     | 44,5          | 0,70          | 0,71          | 3,71                  | 4,77                  | 80,41                                 | 0,9      | 2,85          | 2,56            | 10,2                         | 12,71            |
| 8                        | 2,11       | 1,8        | 1,85           | 3,51     | 53,5          | 0,80          | 0,59          | 2,30                  | 2,07                  | 0,08                                  | 0,9      | 3,6           | 3,24            | 8,7                          | 5,49             |

$$\sum = 25,79$$

$$\sum = 12,4$$

$$\sum = 27,18$$

$$\sum = 255,42$$

$$K_s = 1,53$$

$$K_{ss} = 1,04$$

## 1: Evacuateur de crue

### 1.1: But

La submersion est un danger permanent pour les barrages en terre en période de crue, pour que l'ouvrage soit garanti contre un tel danger, la projection d'un ouvrage d'évacuation est indispensable.

Comme son nom l'indique, sa principale fonction est de permettre l'évacuation des débits de crues sans que les autres ouvrages ne puissent être endommagés par submersion ou par affouillement.

### 1.2: Choix de l'évacuateur de crue

Le choix de l'emplacement de l'ouvrage est guidé par de multiples considérations.

Une étude hydrologique est nécessaire pour décider des capacités d'évacuation de l'ouvrage.

La topographie et la géologie du site jouent un rôle important dans un choix guidé par des facilités d'exécution, enfin un tel choix dépend l'exploitation entière sécurité de l'ouvrage.

En prenant en considération tous ces facteurs, nous allons passer en revue les différentes solutions possibles pour notre cas.

- L'évacuateur par le fond est déconseillé pour les risques d'obstruction par les corps flottants chargés au moment des crues.

- L'évacuateur de crue sur la digue pose des problèmes de jonction entre le béton et la terre, donc, il y aura inévitablement tassement de la terre formant la digue, ce qui entraîne deux risques

- décollement entre le béton et la terre qu'il immédiatement obstruer.

- Affaissement de le côté en crête de la digue qu'il faut très vite rehausser.

L'évacuateur le plus convenable à notre digue est l'évacuateur frontal en tranchée creusé sur le sol en place de l'une des deux rives qui offrent les mêmes possibilités géologiques

Pour un emplacement en rive droite du site le tracé sera plus court et par conséquent plus économique, de plus cette rive offre des pentes qui ne sont pas trop fortes

Ce type d'évacuateur comporte

- Un déversoir

- Un canal évacuateur

- Un dissipateur d'énergie

### 1.3 : Le déversoir

Le déversoir sera à profil pratique de type CREAGER, qui, rappelons-le, est le profil qui s'adapte le mieux à la lame d'eau de façon à ce que celle-ci ne puisse se décoller.

### 1.4 : L'élaboration du tracé du type CREAGER.

Puisque le profil du coursier pour une charge  $H_0$  a été déterminé, pour déduire le profil correspondant à une charge  $H_1$ , nous allons procéder à l'aide de la loi de similitude.

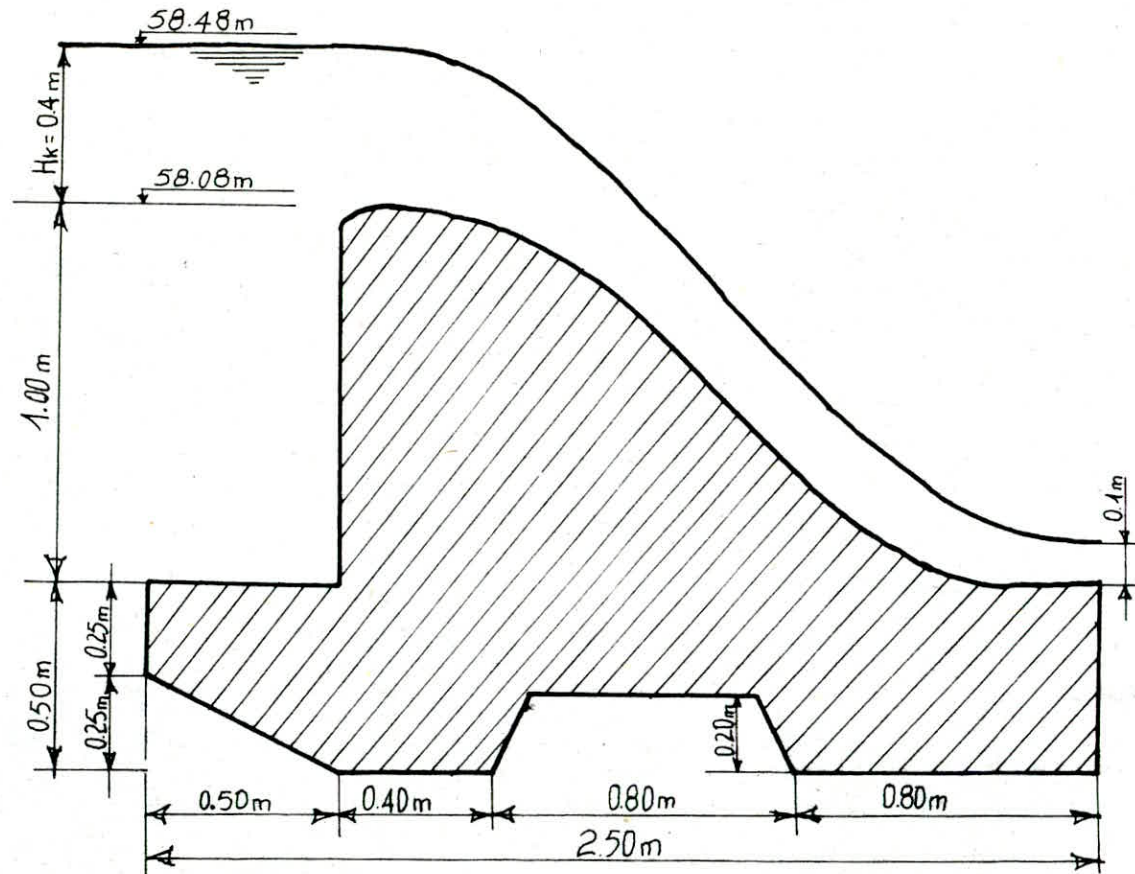
De cette façon en se servant des coordonnées X et Y correspondants à la charge  $H_1$ , nous allons exécuter le tracé du profil de notre coursier point par point

Tableau n° 25

les coordonnées X et Y correspondants au tracé de notre coursier

| Profil H = 1,0 m |        | Profil H <sub>1</sub> = 0,4 m |                |
|------------------|--------|-------------------------------|----------------|
| X                | Y      | X <sub>1</sub>                | Y <sub>1</sub> |
| 0,00             | 0,126  | 0,00                          | 0,05           |
| 0,1              | 0,036  | 0,09                          | 0,014          |
| 0,2              | 0,007  | 0,08                          | 0,0028         |
| 0,3              | 0,000  | 0,12                          | 0,000          |
| 0,4              | 0,006  | 0,16                          | 0,0024         |
| 0,5              | 0,0027 | 0,20                          | 0,0108         |
| 0,6              | 0,060  | 0,24                          | 0,024          |
| 0,7              | 0,100  | 0,28                          | 0,04           |
| 0,8              | 0,146  | 0,32                          | 0,0584         |
| 0,9              | 0,198  | 0,36                          | 0,0792         |
| 1,0              | 0,256  | 0,40                          | 0,1024         |
| 1,1              | 0,321  | 0,44                          | 0,1284         |
| 1,2              | 0,394  | 0,48                          | 0,1526         |
| 1,3              | 0,475  | 0,52                          | 0,19           |
| 1,4              | 0,564  | 0,56                          | 0,2256         |
| 1,5              | 0,661  | 0,60                          | 0,2644         |
| 1,6              | 0,764  | 0,64                          | 0,3056         |
| 1,7              | 0,873  | 0,68                          | 0,3492         |
| 1,8              | 0,987  | 0,72                          | 0,3948         |
| 1,9              | 1,108  | 0,76                          | 0,4432         |
| 2,0              | 1,235  | 0,80                          | 0,494          |
| 2,1              | 1,369  | 0,84                          | 0,5476         |

## PROFIL DU DÉVERSOIR



ECH: 1/20

## 2. : Stabilité de l'évacuateur de crue

Pendant son exploitation, l'ouvrage est soumis à divers sollicitations qui sont variables dans le temps, nous devons prévoir son comportement dans plusieurs cas de charge afin d'apporter les solutions et modifications nécessaires à sa sécurité. Dans notre présente étude nous vérifierons la stabilité contre :

- le glissement
- le renversement
- le soulèvement

### 2.1: Stabilité contre le glissement

Le coefficient de sécurité contre le glissement est " $k_g$ "

$$k_g = \frac{\sum \text{Forces stabilisatrices}}{\sum \text{Forces d'entraînement}}$$

$$k_g = \frac{f(G - W\phi)}{P}$$

où  $f$ : coefficient de frottement ( $f = 0,85$  pour argile)

$G$ : poids de l'ouvrage

$W\phi$ : pression de l'eau d'infiltration

$P$ : poussée due à la pression de l'eau.

avec  $G = \frac{1}{2} \gamma_b \cdot h \cdot b$

où  $\gamma_b$ : poids spécifique du béton ( $\gamma_b = 2,47 \text{ t/m}^3$ )

$b$ : base du déversoir ( $b = 11 \text{ m}$ )

$h$ : hauteur du déversoir ( $h = 1,0 \text{ m}$ )

alors  $G = 13,2 \text{ t/m}$

$$P = \frac{1}{2} \delta h^2$$

$$P = 0,5 t/mc$$

et  $W\phi = \frac{1}{2} \alpha \cdot \delta \cdot h \cdot b$  avec  $\alpha$ : coefficient de réduction ( $0,5 \div 1$ )

$$W\phi = 2,75 t/mc$$

alors  $Kg = \frac{\frac{1}{2} \delta h^2 - \frac{1}{2} \alpha \cdot \delta \cdot h \cdot b}{\frac{1}{2} \delta h^2}$

$$Kg = 5,22 > 1,3$$

### 2.2: Stabilité contre le renversement : Kr

$$Kr = \frac{\sum \text{Moments retenants}}{\sum \text{Moments renversants}}$$

$$Kr = \frac{G \cdot \frac{2}{3} b - W\phi \frac{2}{3} b}{\frac{1}{3} P \cdot h}$$

$$Kr = \frac{76,6}{0,166} > 1,3$$

### 2.3: Stabilité contre le soulevement

le coefficient de sécurité contre le soulevement est  $Ks$

$$Ks = \frac{\sum \text{Forces empêchant le soulevement}}{\sum \text{Forces provoquant le soulevement}}$$

$$Ks = \frac{G + P_1}{W\phi}$$

$P_1$ : poids de l'eau sous la console à la base du déversoir

$$P_1 = b_1 \cdot h$$

avec  $b_1 = 1 \text{ m}$  (largeur de la console de la base)

alors  $P_1 = 1t$

$$Ks = 5,16 > 1,3$$

Dans ces cas, la stabilité de l'ouvrage n'est pas menacée par conséquent aucune modification importante n'est à apporter

### 3. Calcul hydraulique

#### 3.1. Hypothèses

- la hauteur du déversoir est égale à 1,0 m
- la largeur en crête est égale à 10,0 m
- le débit de pointe à évacuer  $Q = 5,27 \text{ m}^3/\text{s}$
- côte en crête (déversoir) : 58,08 m.

En appliquant la méthode et le principe de calcul de M<sup>E</sup>G. LAPRAY on aura :

#### 3.2. La hauteur critique : K.

La hauteur critique K au dessus du seuil du déversoir est :

$$K = \sqrt{\frac{q^2}{g}}$$

avec :  $q$ : débit unitaire ( $\text{m}^2/\text{s}$ )

$$q = \frac{Q}{b}$$

$b$ : largeur du déversoir ( $b = 10 \text{ m}$ )

$Q$ : débit de crue terminé ( $Q = 5,27 \text{ m}^3/\text{s}$ )

alors  $K = 0,30 \text{ m}$ .

#### 3.3. Calcul de la charge à l'mont : $H_m$

$$H_m = H_k + \alpha$$

avec  $\alpha = 1,00 \text{ m}$

et  $H_k = \frac{q}{3} K$

$$H_k = 0,40 \text{ m}$$

alors  $H_m = 1,40 \text{ m}$

### 3.4: Calcul de la charge au pied aval du déversoir

Le paramètre adimensionnel  $H_{mt}$  sera

$$H_{mt} = \frac{H_m}{K} = 4,66$$

et de l'abaque 18 on tire  $h_f = 0,34$

$$\text{d'où } h_f = K h_{ft}$$

$$\text{alors } h_f = 0,30 \cdot 0,34 = 0,102 \text{ m}$$

$$h_f = 0,1 \text{ m}$$

### 3.5: Calcul de la vitesse de l'eau à l'aval:

$$V = \frac{g}{h_f} = \frac{9,81}{0,1} = 98,1 \text{ m/s}$$

$$\text{alors } V = 9,81 \text{ m/s}$$

## 4. Canal évacuateur

Le canal évacuateur sert à véhiculer le débit déversé par le déversoir vers l'oued, on détermine d'après la topographie sa longueur et sa pente sur une carte topographique à l'échelle 1/1000  
La longueur du canal est  $L = 70 \text{ m}$ .

La pente est  $I = 16\%$

Le canal est de forme trapézoïdale, il est linéairement convergent et du type graduellement varié, la présentation des calculs sera sous forme de programme établi par M<sup>E</sup> G. LAPRAY

### 4.1: Etude de l'écoulement dans le canal.

Dans le canal, l'écoulement est graduellement varié caractérisé par une variation progressive des divers paramètres hydrauliques

Détermination de la longueur fluidodynamique  
en fonction de  $Q/\sqrt{f}$  et de  $\xi$  ou Nikuradse

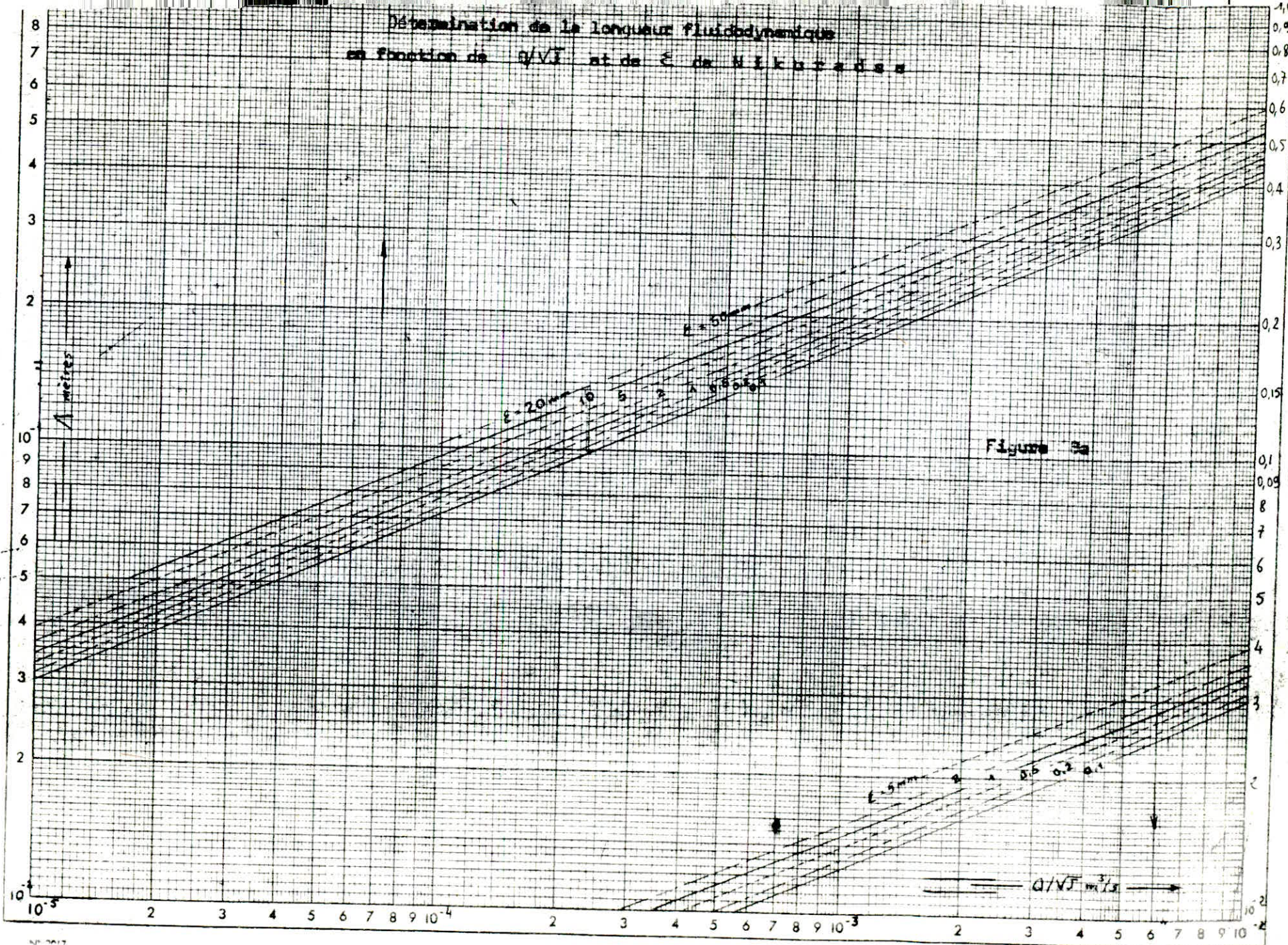


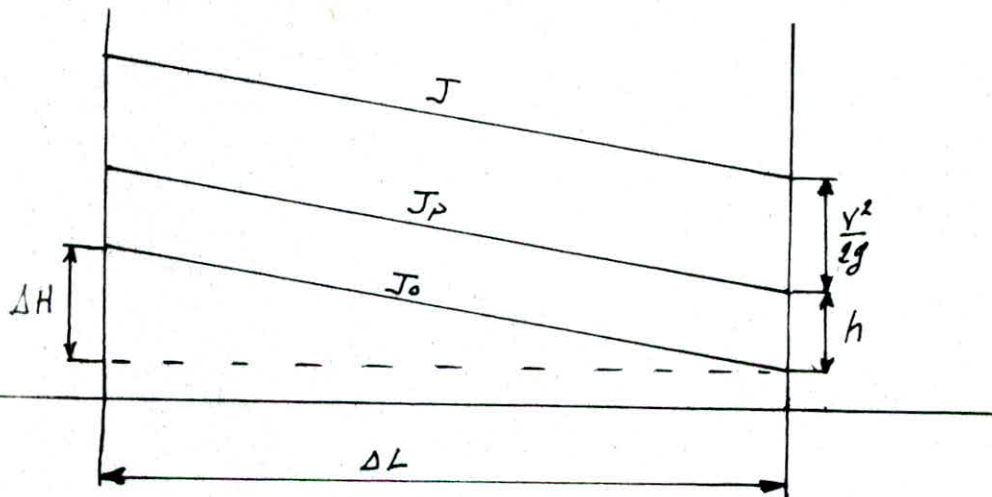
Figure 3a

#### 4.2: Méthode de calcul (par intégration numérique)

Le calcul est basé sur une équation différentielle établie entre la longueur,  $L$ , reliant deux sections, et la hauteur d'eau  $h$ .

En faisant tendre  $\Delta L$  vers zéro, la variation de la charge totale par unité de longueur se confond avec le gradient de la perte de charge,  $J$

$$J = -\frac{b}{\Delta L} \left( \frac{V^2}{2g} + Z_0 - J_o \cdot L + h \right) \quad (1) \text{ voir fig.}$$



$$J = -\frac{V}{g} \frac{dy}{dL} + J_o - \frac{dh}{dL} \quad (2)$$

L'équation de continuité pour un écoulement permanent est:

$$\nabla A = Q = \text{constante} \quad (3)$$

En dérivant (3) suivant  $L$ , on tire

$$A \frac{dy}{dL} + V \frac{dA}{dL} = 0 \quad (4)$$

En posant  $dA = e \cdot dh$  avec  $e$ : largeur du plan d'eau

$$\frac{dy}{dL} = -\frac{V \cdot e}{A} \cdot \frac{dh}{dL} = -\frac{Q \cdot e}{A^2} \cdot \frac{dh}{dL} \quad (5)$$

En éliminant  $\frac{dy}{dL}$  entre (2) et (5) et en exprimant  $V$ , par l'équation

de continuité, il ressort

$$J = \frac{Q^2 \cdot e}{g \cdot A^3} \frac{dh}{dL} + J_0 - \frac{dh}{dL} \quad (6)$$

en tirant  $dL$  de l'équation (6) on aura

$$dL = \frac{1 - Q^2 \cdot e / g \cdot A^3}{J_0 - J} \quad (7)$$

L'équation (7) est l'équation différentielle du mouvement graduellement varié avec :

$\Delta L$ : distance entre deux sections consécutives (m)

$Q$ : débit véhiculé ( $m^3/s$ )

$e$ : largeur du plan d'eau (m)

$g$ : accélération de la pesanteur ( $m/s^2$ )

$A$ : section mouillée ( $m^2$ )

$J_0$ : pente géométrique du canal

$J$ : gradient de perte de charge

$\Delta h$ : différence des profondeurs d'eau des deux sections

#### 4.3: Profil en long de l'écoulement:

La détermination de la courbe de remous se fait par intégration de l'équation (7). Les calculs sont basés sur les formules suivantes

$$-b_i^{i-1} = b_0 + \frac{b_n - b_0}{L_n} \left( L_i + \frac{\Delta L}{2} \right)$$

avec  $b_i^{i-1}$  : largeur moyenne du tronçon.

$b_0$  : largeur initiale du canal

$b_n$  : largeur finale du canal

$L_i$  : longueur développée jusqu'à début du tronçon

$$-A_i = \left( h_i + \frac{\Delta h_i}{2} \right) \left[ b_i^{i-1} + x^2 \left( h_i + \frac{\Delta h_i}{2} \right) \right]$$

avec  $A_i$ : section mouillée du tronçon

$h_i$ : profondeur d'eau au début du tronçon

$\Delta h_i$ : décroissement du plan d'eau entre les sections initiale et finale du tronçon

$x$ : inclinaison du talus;  $x = \cot \alpha$ .

$$-P_i = b_i^{i-1} + x \left( h_i + \frac{\Delta h_i}{2} \right)$$

avec  $P_i$ : périmètre mouillé moyen du tronçon

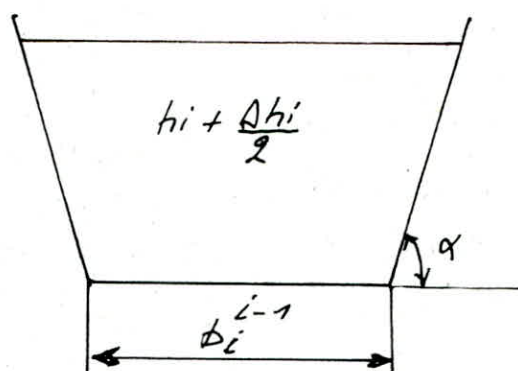
$x = 2\sqrt{1+x^2}$ : paramètre du talus égal au rapport entre la longueur de l'ensemble du talus et la profondeur moyenne du tronçon

-  $F_r = \left( 1,14 - 0,86 \ln \frac{E}{D_h} \right)^{-2}$ : coefficient de frottement de Nikuradse

$E = 0,005$ : rugosité absolue

$D_h = \frac{A_i}{P_i}$ : rayon hydraulique

alors  $J = \frac{F_r - Q^2}{D_h - A^2 g}$ : gradient de perte de charge



la profondeur normale  $h_u = \lambda^{1,606}$

alors  $\left. \begin{array}{l} \frac{q}{\sqrt{J_0}} = 1,32 \\ \varepsilon = 0,005 \end{array} \right\} \Rightarrow$  abaque 8e ont tire  $\lambda = 0,238$

d'où  $h_u = 0,238^{1,606} = 0,099 \text{ m.}$

#### 4.4: Execution du programme

##### Données à introduire

$$V = 10^{-6} \quad STO. 00$$

$$Q = 5,87 \quad STO. 01$$

$$\varepsilon = 0,005 \quad STO. 02$$

$$J_0 = 0,16 \quad STO. 03$$

$$I = 10^{-6} \quad STO. 04$$

$$L_0 = 0 \quad STO. 05$$

$$H_0 = 0,10 \quad STO. 06$$

$$b_h = 5 \quad STO. 16$$

$$b_0 = 10 \quad STO. 18$$

$$L_h = 70 \quad STO. 20$$

$$\Delta h (\text{aire par tronc}) \quad STO. 27$$

$$\Delta L = 2 \quad STO. 15$$

$$K_0 = 0,30 \quad STO. 27$$

$$h_{u0} = 0,099 \quad STO. 37$$

$$X \approx 0,01$$

4.3 : Programme donnant le profil en long de la surface libre. Remous  
en canal trapézoïdal linéairement convergent.

$$\begin{aligned} 180 & \text{ LRN } 2^{\text{nd}} \text{ LBA RCL } 05 X^2 + 1 = \sqrt{X + 2} = STO.09 RCL 08 + RCL 17 \div 2 STO 07 R/S \\ 025 & 2^{\text{nd}} \text{ LBL B RCL } 15 STO 14 \div 2 + RCL 06 = \div RCL 20x(RCL 16 - RCL 18) + RCL 18 = STO 04 \\ 054 & X RCL 07 + RCL 05 + RCL 07 X^2 = STO 10 \times 4 \div (RCL 04 + RCL 09 + RCL 07) = STO 11 \\ 083 & 1/X X RCL 02 = STO 29 LN X.X. 86 - 1,14 = X^2 1/X STO 12 1 - RCL 01 X^2 (RCL 04 + 2X RCL 06 \\ 119 & X RCL 07) \div 9,8 \div RCL 10 Y^X 3 = STO 13 \div (RCL 03 - RCL 10x(RCL 01 \div RCL 10)) X^2 \div RCL 11 + \\ 115 & 19,6) X RCL 17 = STO 15 - RCL 14 = 2^{\text{nd}} / X \times 2^{\text{nd}} X, + RCL 15 2^{\text{nd}} / X / 54 M06 RCL 17 SUM \\ 181 & 08 RCL 08 + RCL 17 \div 2 = STO 07 RCL 01 \div RCL 10 \times RCL 11 \div RCL 00 = STO 19 RCL 06 R/S \end{aligned}$$

Allure de la profondeur critique hypothétique

$$\begin{aligned} 209 & 2^{\text{nd}} \text{ LBL C RCL } 04 + 2X RCL 05 X RCL 27 = STO 31 RCL 04 + RCL 05 + RCL 27 = \\ 233 & X RCL 27 = STO 30 1/X Y^X 3 X RCL 31 X RCL 01 X^2 \div 9,8 = STO 28 Y^X 3 \\ 299 & X RCL 27 = STO 27 RCL 28 - 1 = 2^{\text{nd}} / X \times 2^{\text{nd}} X, + C RCL 09 X RCL 27 + RCL 04 \\ 291 & = STO 26 1/X X RCL 30 \times 4 = STO 23 1/X X RCL 02 = STO 21 LN X.X. 86 - \\ 306 & 1,14 = X^2 1/X STO 24 \div RCL 23 X RCL 01 X^2 \div RCL 30 X^2 \div 19,6 = STO 22 \\ 334 & \div RCL 03 = 1/X STO 25 RCL 27 R/S \end{aligned}$$

Allure de la profondeur normale hypothétique

$$\begin{aligned} 344 & 2^{\text{nd}} \text{ LBL D RCL } 04 + RCL 05 + RCL 37 = X RCL 37 = STO 40 RCL 04 + RCL 37 X RCL 05 \\ 369 & = STO 36 1/X \times 4 X RCL 40 = STO 33 \div RCL 02 = 1/X STO 39 LN X.X. 86 - 1,14 \\ 398 & = X^2 1/X STO 35 \div RCL 33 X RCL 01 X^2 \div RCL 40 X^2 \div 19,6 = STO 32 \div RCL 03 = \\ 426 & Y^X 3 X RCL 37 = STO 37 RCL 32 \cdot RCL 03 = 2^{\text{nd}} / X \times 2^{\text{nd}} X, + D RCL 01 \div RCL 40 = \\ 450 & STO 34 X RCL 33 \div RCL 00 = STO 38 RCL 37 R/S \end{aligned}$$

Appuyer sur A —  $h_{i,1} = h_1 + \frac{\Delta h}{2}$  — 07

RCL 09 —  $x = \sqrt{1+I^2}$

Appuyer sur B —  $L_{0-1} =$  — 06

RCL 08 —  $h_{i,2} =$

RCL 04 —  $b_i =$

RCL 29 —  $\frac{E}{Dh} = 0,0127$

RCL 19 —  $R = 206458,9$

RCL 12 —  $Fr = 0,04178$

Appuyer sur C —  $k_i =$

Appuyer sur D —  $f_{ui}$

Pour obtenir les valeurs à rapporter sur les tableaux suivants  
il faut appuyer respectivement sur B, C et D tant que  $L_i \leq L_h$   
tableau n° 26

| $L_i$  | $h_i$  | $b_i^{*-1}$ | $k_i$  | $f_{ui}$ | $\Delta h$ |
|--------|--------|-------------|--------|----------|------------|
| 0      | 0,1001 | 10,01       | 0,3046 | 0,0982   | + 0,0001   |
| 0,2853 | 0,1002 | 9,989       | 0,3050 | 0,0983   |            |
| 0,5744 | 0,1003 | 9,969       | 0,3055 | 0,0984   |            |
| 0,8679 | 0,1004 | 9,948       | 0,3059 | 0,0985   |            |
| 1,1662 | 0,1005 | 9,927       | 0,3063 | 0,0987   |            |
| 1,4698 | 0,1006 | 9,906       | 0,3068 | 0,0988   |            |
| 1,771  | 0,1007 | 9,884       | 0,3072 | 0,0989   |            |
| 2,096  | 0,1008 | 9,861       | 0,3077 | 0,0991   |            |
| 2,42   | 0,1009 | 9,839       | 0,3081 | 0,0992   |            |

Suite du Tableau n° 26

| $L_i$   | $t_{ii}$ | $t_{ii}^{(i-1)}$ | $K_i$  | $t_{ii}$ | $A_i$  |
|---------|----------|------------------|--------|----------|--------|
| 2, 753  | 0,101    | 9,961            | 0,3086 | 0,0993   |        |
| 3, 096  | 0,1011   | 9,839            | 0,3091 | 0,0995   |        |
| 3, 452  | 0,1012   | 9,815            | 0,3097 | 0,0997   |        |
| 3, 822  | 0,1013   | 9,791            | 0,3102 | 0,0998   |        |
| 4, 209  | 0,1014   | 9,766            | 0,3108 | 0,1000   |        |
| 4, 618  | 0,1015   | 9,740            | 0,3114 | 0,1002   |        |
| 5, 053  | 0,1016   | 9,713            | 0,3120 | 0,1003   |        |
| 5, 522  | 0,1017   | 9,6856           | 0,3127 | 0,1006   |        |
| 6, 043  | 0,1018   | 9,655            | 0,3135 | 0,1008   |        |
| 6, 632  | 0,1019   | 9,623            | 0,3143 | 0,1010   |        |
| 7, 332  | 0,102    | 9,589            | 0,3152 | 0,1013   |        |
| 8, 242  | 0,103    | 9,551            | 0,3137 | 0,1018   |        |
| 12, 938 | 0,104    | 9,508            | 0,3282 | 0,1051   | +0,001 |
| 16, 481 | 0,105    | 9,529            | 0,3338 | 0,1067   |        |
| 19, 127 | 0,106    | 8,949            | 0,3384 | 0,1081   |        |
| 21, 462 | 0,107    | 8,728            | 0,3427 | 0,1094   |        |
| 23, 620 | 0,108    | 8,550            | 0,3468 | 0,1106   |        |
| 25, 661 | 0,109    | 8,389            | 0,3509 | 0,1118   |        |
| 27, 612 | 0,11     | 8,239            | 0,3549 | 0,1130   |        |
| 29, 491 | 0,111    | 8,097            | 0,3589 | 0,1141   |        |
| 31, 309 | 0,112    | 7,960            | 0,3628 | 0,1153   |        |
| 33, 074 | 0,113    | 7,818            | 0,3668 | 0,1165   |        |

Tableau n° 26 (suite)

| L'      | tu    | tr <sup>i-1</sup> | K'     | hui    | dh |
|---------|-------|-------------------|--------|--------|----|
| 34,789  | 0,114 | 7,7005            | 0,3708 | 0,1176 |    |
| 36,4607 | 0,115 | 7,5762            | 0,3747 | 0,1188 |    |
| 38,0901 | 0,116 | 7,4553            | 0,3787 | 0,1200 |    |
| 39,6802 | 0,117 | 7,3374            | 0,3827 | 0,1211 |    |
| 41,233  | 0,118 | 7,2284            | 0,3866 | 0,1223 |    |
| 42,750  | 0,119 | 7,1102            | 0,3906 | 0,1235 |    |
| 44,233  | 0,120 | 7,0005            | 0,3947 | 0,1247 |    |
| 45,684  | 0,121 | 6,8934            | 0,3987 | 0,1258 |    |
| 47,102  | 0,122 | 6,7886            | 0,4027 | 0,1270 |    |
| 48,491  | 0,123 | 6,6861            | 0,4068 | 0,1282 |    |
| 49,850  | 0,124 | 6,5859            | 0,4108 | 0,1294 |    |
| 51,180  | 0,125 | 6,4877            | 0,4149 | 0,1306 |    |
| 52,483  | 0,126 | 6,3917            | 0,4190 | 0,1318 |    |
| 53,760  | 0,127 | 6,2976            | 0,4231 | 0,1331 |    |
| 55,010  | 0,128 | 6,2055            | 0,4272 | 0,1343 |    |
| 56,235  | 0,129 | 6,1153            | 0,4314 | 0,1355 |    |
| 57,436  | 0,130 | 6,0229            | 0,4356 | 0,1367 |    |
| 58,613  | 0,131 | 5,9402            | 0,4397 | 0,1380 |    |
| 59,767  | 0,132 | 5,8553            | 0,4439 | 0,1392 |    |
| 60,899  | 0,133 | 5,7720            | 0,4481 | 0,1405 |    |
| 62,009  | 0,134 | 5,6904            | 0,4524 | 0,1417 |    |
| 63,098  | 0,135 | 5,6103            | 0,4566 | 0,1430 |    |

Tableau n° 26 suite 3

| $L_i$  | $f_{ti}$ | $b_i^{c-i}$ | $k_i$  | $h_{ti}$ | $D_h$ |
|--------|----------|-------------|--------|----------|-------|
| 64,166 | 0,136    | 5,3318      | 0,4609 | 0,1443   |       |
| 65,215 | 0,137    | 5,4548      | 0,4652 | 0,1455   |       |
| 66,244 | 0,138    | 5,3792      | 0,4695 | 0,1468   |       |
| 67,254 | 0,139    | 5,3050      | 0,4738 | 0,1481   |       |
| 68,245 | 0,140    | 5,1607      | 0,4782 | 0,1494   |       |
| 69,218 | 0,141    | 5,0905      | 0,4825 | 0,1507   |       |
| 70,17  | 0,142    | 5,021       | 0,4864 | 0,1520   |       |

#### 4.5: Saut de ski

À la fin du coursier, l'eau sera projetée vers le haut du saut de ski et tombera sur les blocs d'enrochement afin de dissiper l'énergie cinétique de l'eau.

La vitesse de l'eau sera

$$V = \frac{Q}{A} = \frac{Q}{h \cdot b} = \frac{5,27}{0,142 \cdot 5,021} = 7,44 \text{ m/s}$$

tracé du jet

on a  $X = (V \cos \alpha) t$  d'où  $t = \frac{X}{V \cos \alpha}$  où  $\alpha$ : angle de portée  
 $\alpha = 30^\circ$

$$Y = V \sin \alpha t - \frac{1}{2} g t^2$$

En éliminant  $t$  dans  $y$ , on obtient

$$Y = \frac{X}{V \cos \alpha} V \sin \alpha - \frac{1}{2} g \left( \frac{X}{V \cos \alpha} \right)^2$$

La portée est égale

$$X = 1,8 \left( \frac{h + r^2}{2g} \right) \sin 2\alpha$$

avec  $V$  : vitesse au départ du saut de ski

$$V = 7,44 \text{ m/s}$$

$$\alpha = 30^\circ$$

alors  $X = 1,8 \left[ \frac{0,141 + (7,44)^2}{2 \cdot 9,81} \right] \sin 60^\circ$

$$X = 4,90 \text{ m}$$

Le rayon de l'ouvrage de saut de ski doit être supérieur à  $(5 \times h)$

$$R > 5 \times h$$

$$5 \times h = 5 \times 0,141 = 0,705 \text{ m}$$

On prendra  $R = 3 \text{ m}$

### 5. Ouvrage de prise et de vidange

L'ouvrage de prise et de vidange est une conduite encastrée dans l'axe de la vallée sous le digue.

Pour cela on creuse dans le terrain en place une tranchée de 0,9m de large et de 1m de profondeur.

Perpendiculairement à cette fouille, on amorce de petites tranchées latérales de 0,30m de large et distantes de ( ) l'une de l'autre dans ces tranchées latérales, prendront place des masques d'étanchéité en béton.

La conduite de prise en acier est ensuite collée dans la tranchée principale et enrobée de béton coulé au pleine fouille. Le béton enrobe la conduite de façon uniforme sous une épaisseur minimale de 0,20m.

Le diamètre de la conduite est calculé de telle façon à assurer une vidange rapide de la réserve.

On prévoit pour cette conduite une vanne amont dont l'ouverture est commandée à partir d'une chambre à vannes placée au pied aval de la digue.

Pour les calculs, on sait que la vitesse admissible est comprise entre (0,2 à 3)m/s

on prendra en 1<sup>re</sup> approximation  $V=0,6 \text{ m/s}$  et on calcule le diamètre ( $D$ ) de la conduite

$$\text{On a } V = \frac{Q}{A} = \frac{Q}{\frac{\pi D^2}{4}}$$

avec  $Q$  = débit de la vidange rapide

$A$  = section de la conduite

alors  $Q = \frac{210\,000}{21,24 \times 3600} = 0,1157 \text{ m}^3/\text{s}$

avec  $V = \frac{A \cdot Q}{\pi D^2} = \frac{A \cdot 0,1157}{\pi D^2}$

de là on tire  $D$

$$D = \sqrt{\frac{A \cdot 0,1157}{\pi \cdot 0,6}} = 0,495 \text{ m.}$$

alors on prend le ( $D$ ) normalisé

$$D = 0,5 \text{ m.}$$

on vérifie la vitesse

$$V = \frac{A \cdot 0,1157}{\pi \cdot (0,5)^2} = 0,589 \in (0,2 \div 3) \text{ m/s}$$

## 6: Ouvrage de dérivation provisoire

Notre digue en terre est construite pendant la saison sèche et doit être terminée avant l'arrivée des pluies

Le problème de l'évacuation des eaux du ruissellement pendant la construction ne se passera donc pas souvent.

Néanmoins, il peut être utile de prévoir une solution provisoire capable d'évacuer les petites cuves susceptibles de se produire durant la mise en œuvre.

Dans ce cas, la solution la plus simple consiste à réaliser en amont un petit batardeau.

## 7 : Chantier

### 7.1 Organisation du chantier

Avant d'installer le chantier, on devra effectuer une reconnaissance des zones de fondation de la digue, de la cuvette et des ballastières pour reconnaître ces terrains, on doit se munir d'une carrière à main qui permettra éventuellement quelques prélèvements et quelques essais il est indispensable de connaître les terrains où se déroulera la construction ainsi que les matériaux qui seront manipulés afin de choisir le plus rationnellement possible les engins appropriés à chaque carrière, compte tenu des caractéristiques des matériaux, des distances à parcourir et de la nature des terrains où vont évoluer les engins, et un planning des travaux sera établi.

La construction de petits lacs collinaires (comme dans notre cas) n'érige pas d'installations fixes importantes, un petit camion de laboratoire pour apporter de précieuses indications en cours de construction. Un chantier de retenue collinaire peut se composer au minimum des machines suivantes :

- Un tracteur à chenilles de grande puissance (160-180 cv) équipé d'une lame frontale et un scoper.
- Un tracteur à pneus pouvant traîner un ou plusieurs éléments de compacteur.
- Une nivelleuse
- En outre, il est bon de pouvoir adapter à ce tracteur divers appareils accessoires tels que : pompe aspirante, compresseur, foreur vibrateur, betonnière, groupe de sondage etc... .

- Une camionnette tout terrain assurera les liaisons et les approvisionnements

Conclusion: bien entendu, c'est là un schéma grossier d'organisation de notre chantier.

#### 7.2 : Travaux de finition

Le massif étant réalisé, il faut finir à la main ou à la machine les parements amont et aval. Ce nivellement est effectué avec des nivelleuses. Une fois les pentes correctement réalisées, on exécute le revêtement pierreux sur le plateau amont, et herbeux en aval, puis on procède à un engazonnement sur ce dernier. On aménage la crête, qui sera ensuite recouverte de sable et de graviers, de façon à éviter les fissures.

#### 7.3: Travaux d'entretien.

- La retenue étant mise en eau, on surveillera de près le comportement de la digue au début de son existence.
  - On vérifiera en particulier qu'il n'apparaît pas en aval les débits d'infiltration trop importants.
  - Au bout de 2 ans la digue sera stabilisée et les débits de fuite seront moins importants.
  - Après les crues, il importera de visiter l'évacuateur de crues.
  - On devra aussi, de temps à autre inspecter les talus de la digue
- Conclusion: En résumé, une digue bien conçue et bien exécutée ne devrait pas exiger d'entretiens importants.

## 8.1: Coût estimatif de l'ouvrage

### 8.1.1: La digue

| Designation   | unité          | Quantité | Prix unitaire | Prix total            |
|---|----------------|----------|---------------|-----------------------|
| decapage des terres au dessous de la digue d'une épaisseur de 0,6m (excavation) | m <sup>3</sup> | 27783    | 30,00         | 833490,00             |
| excavation de la tranchée d'ancrage   | m <sup>3</sup> | 1060     | 30,00         | 31800,00              |
| construction de la digue remblai, arrasage et compactage                        | m <sup>3</sup> | 175614   | 35,00         | 6146490,00            |
| construction du tapis filtrant et drain compactage et transport                 | m <sup>3</sup> | 7400     | 20,00         | 148000,00             |
| revêtement du talus amont de la digue épaisseur 0,8m                            | m <sup>3</sup> | 4980     | 30,00         | 149400,00             |
|   |                |          |               | $\Sigma = 7909180,00$ |

### 8.2: L'évacuateur

| Designation   | unité          | Quantité | Prix unitaire | Prix total           |
|---|----------------|----------|---------------|----------------------|
| seuil CREAGER en béton                                | m <sup>3</sup> | 37       | 1800          | 66600,00             |
| excavation d'une tranchée de 70,0 m                   | m <sup>3</sup> | 262      | 30,00         | 7860,00              |
| béton de protection et de fondation dosé 25 kg CPA325 | m <sup>3</sup> | 35       | 1400          | 49000,00             |
|   |                |          |               | $\Sigma = 123460,00$ |

### 8.3: Prise d'eau et vidange

| Designation                                     | unité | Quantité | Prix unitaire | Prix total           |
|---|-------|----------|---------------|----------------------|
| Conduite en acier : $\phi = 0,5m$<br>et sa pose | m     | 66       | 800,00        | 52800,00             |
| Ouvrages en béton armé                          | $m^3$ | 65       | 1800          | 117000,00            |
| Vannes et accessoires                           | -     |          |               | 15000,00             |
|   |       |          |               | $\Sigma = 184800,00$ |

Le coût total de l'ouvrage est estimé à : 7617440,00

#### Conclusion :

Cette retenue collinaire est destinée à l'irrigation des terres environnantes. La tenue de ce projet a été basé sur les données hydrologiques et géologiques délivrés par le D.H.W de Tiaret.

Du point de vue hydrologique la retenue peut assurer le débit nécessaire à l'irrigation.

Du point de vue géologique, la cuvette repose sur des argiles alluvionnaires, les pertes par infiltration sont faibles, il donc inutile de prévoir des voiles d'étanchéité.

Topographiquement la faisabilité est possible, nous estimons qu'une étude uniquement théorique n'est pas complète et que cela nécessite des apports pratiques importants qui sont indispensables pour la réalisation de ce projet.

Bibliographie

- D. H. W. T .Etude hydrologique sur oued Mersoura
- M<sup>E</sup> G. REMENIERAS Hydrologie de l'ingénieur Ed. EYROLLES Paris 80
- M<sup>E</sup> M. CARLIER Hydrostatique générale et appliquée Ed. EYROLLES Paris 1972.
- M<sup>E</sup> G. SCHNEBELI Hydrostatique souterraine Ed. EYROLLES 1978
- M<sup>E</sup> MILLOUDI T.D du cours d'ouvrages hydrauliques ENPA
- M<sup>E</sup> LARRAY Cours d'hydrodynamique-graphique ENPA
- M<sup>E</sup> UTRESKO Cours d'hydraulique et d'hydrologie ENPA
- M<sup>E</sup> BELOKONEV polycopié barrages en matériaux I.H.B. 1981
- Thèses Thèses de fin d'études , E.N.P.A



الشركة الوطنية لاستئناف الغابات  
والمياه - الجزائر  
D.S.R.E.G.D.A. - Algeria  
Unité Bâtiments Peuplements

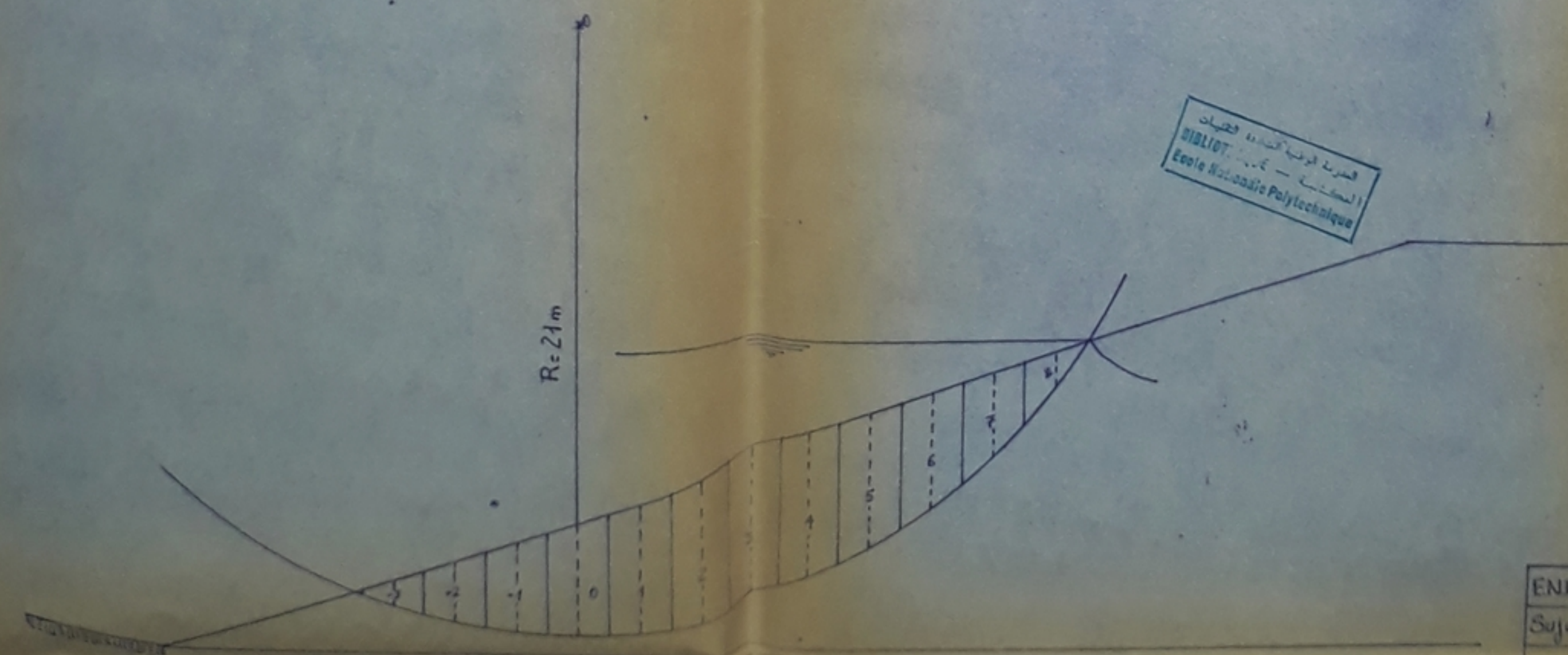
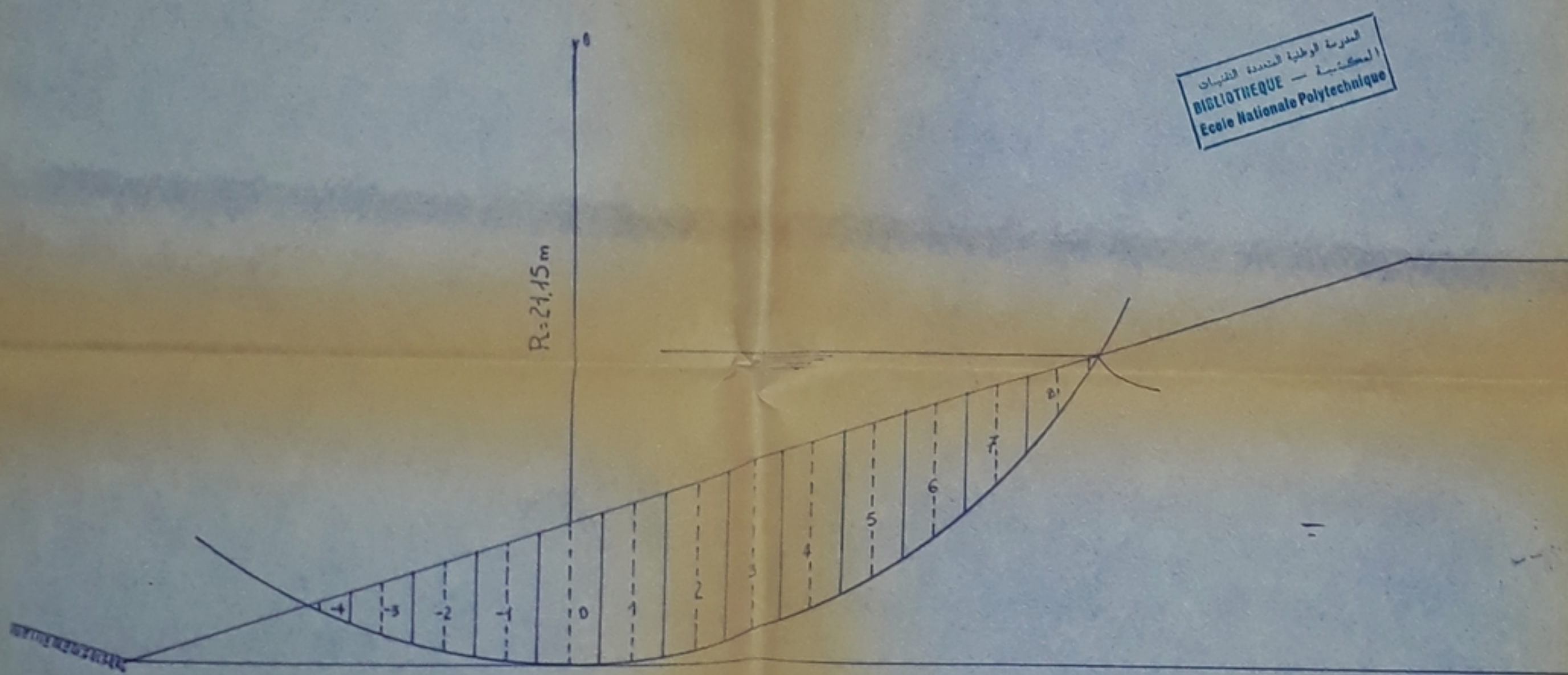
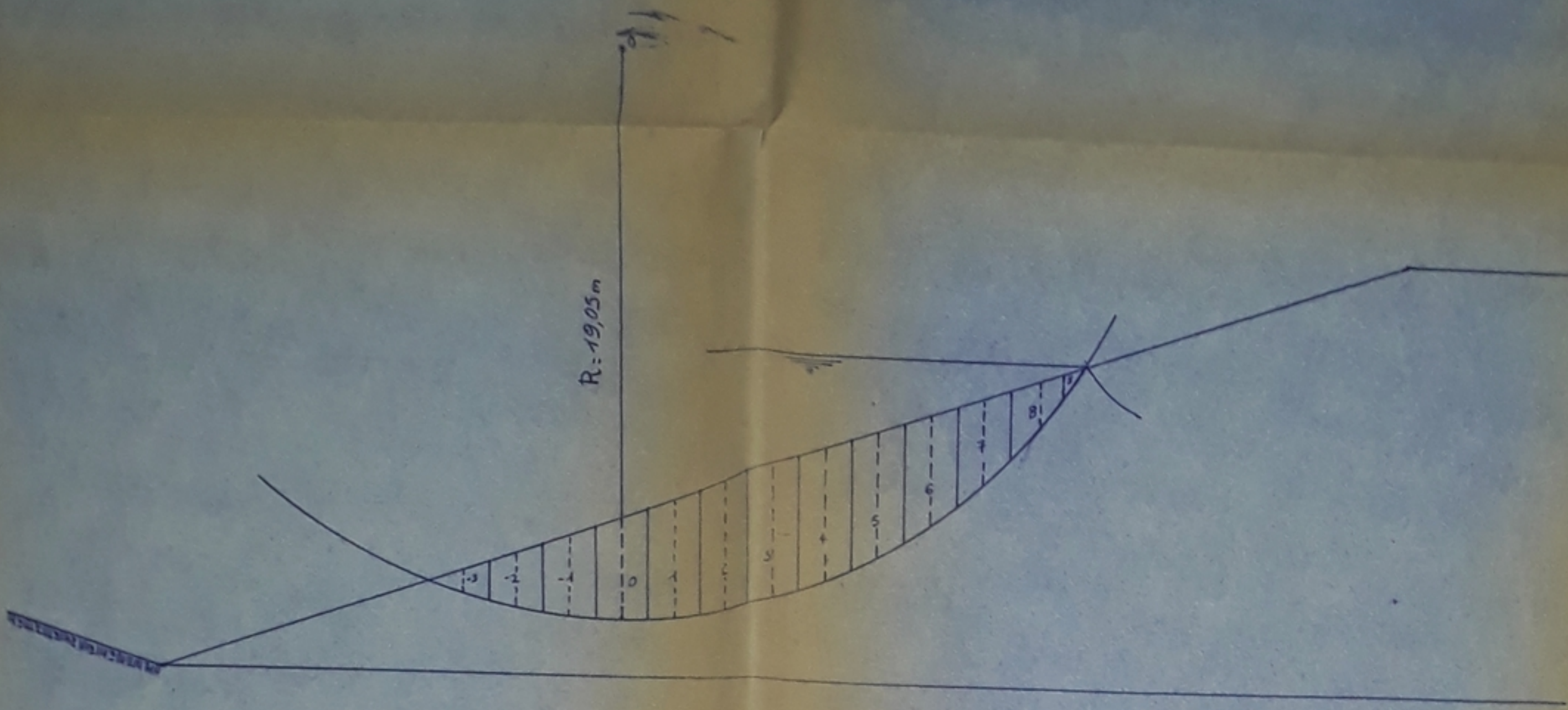
الشركة الوطنية لاستئناف الغابات  
والمياه - الجزائر  
D.S.R.E.G.D.A. - Algeria  
Unité Bâtiments Peuplements

الشركة الوطنية لاستئناف الغابات  
والمياه - الجزائر  
D.S.R.E.G.D.A. - Algeria  
Unité Bâtiments Peuplements

PM 037-86  
.1.

| ENR         |  |
|-------------|--|
| SUJET       | RETELUL COLLINAIRE MEANDRE<br>W/TIARET |
| PLANCHE     | N° 1                                   |
| ECHELLE     | 1/1000                                 |
| PROPOSE PAR | DHWV TIARET                            |
| ETUDE PAR   | Boumouala L<br>Kashi A                 |
| DIGGE PAR   | M. ABDERRAHIM                          |

ETUDE DE STABILITÉ



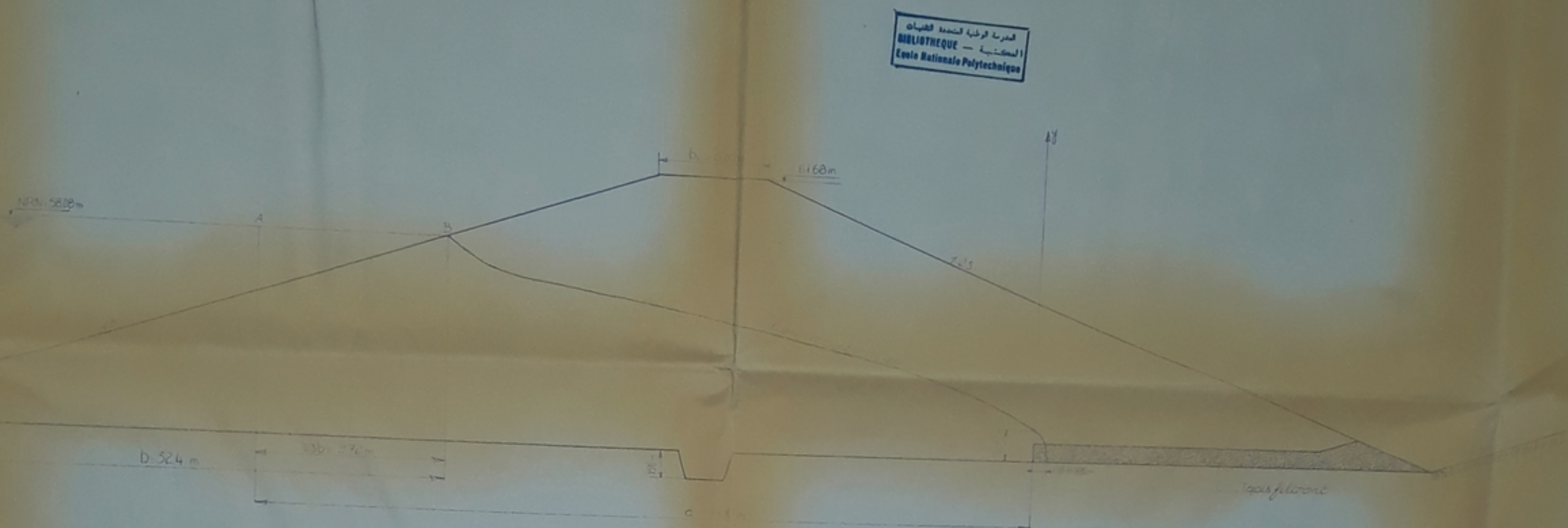
الجامعة الوطنية للعلوم والتكنولوجيا  
المكتبة - المكتبة  
BIBLIOTHEQUE - المكتبة  
Ecole Nationale Polytechnique

الجامعة الوطنية للعلوم والتكنولوجيا  
المكتبة - المكتبة  
BIBLIOT. - المكتبة  
Ecole Nationale Polytechnique

P.H 03786

| ENP          | الجامعة الوطنية للعلوم والتكنولوجيا |
|--------------|-------------------------------------|
| Sujet        | Retenue Collinaire                  |
| Stabilité    | Tension Amorçage                    |
| Echelle      | Vélocité Rapide                     |
| Ateliers par | Bouclement - Kasmi-A                |

### TRACE DE LA LIGNE DE SATURATION

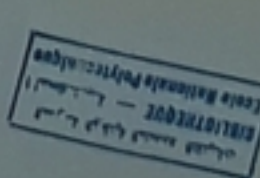
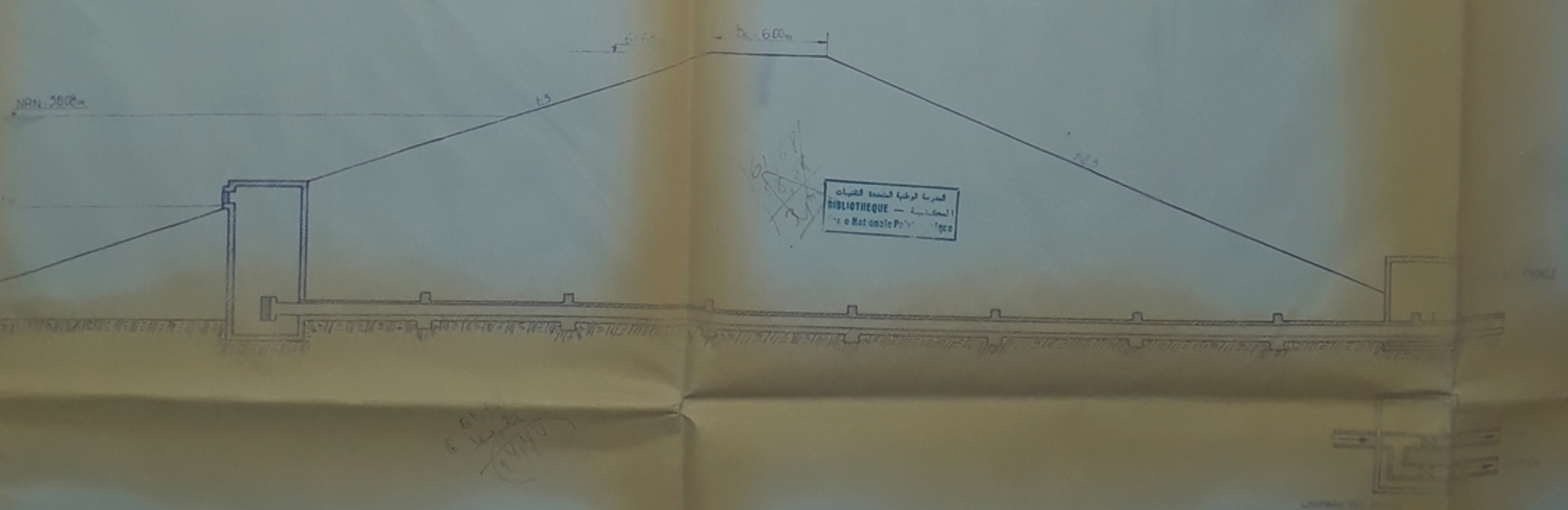


équation de la ligne de Saturation

$$x = \frac{y^2 - y_0^2}{2g_0}, \quad y_0 = \sqrt{y_0^2 + z} = 139$$

$$x = \frac{y^2 - 139^2}{2g_0}$$

### OUVRAGES DE PRISE ET DE VIDANGE

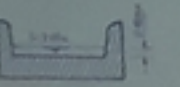
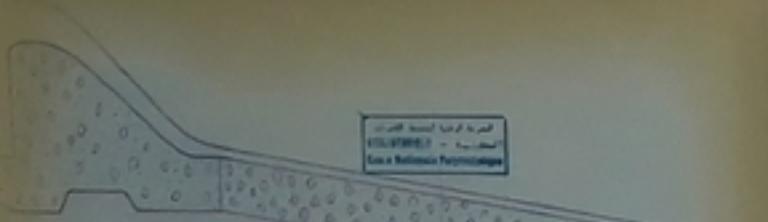


| ENP         |                        |
|-------------|------------------------|
| Sujet       | Retenue Collinaire     |
| Planche     | N° 4                   |
| Echelle     | 1/150                  |
| Proposé par | DHW Tioul              |
| Etudié par  | BOUNDOUAL<br>KASMI - A |
| Dirigé par  | MR ABDERRAHIM D        |

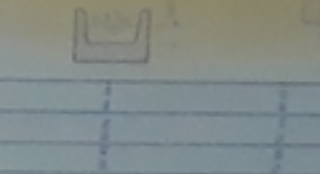
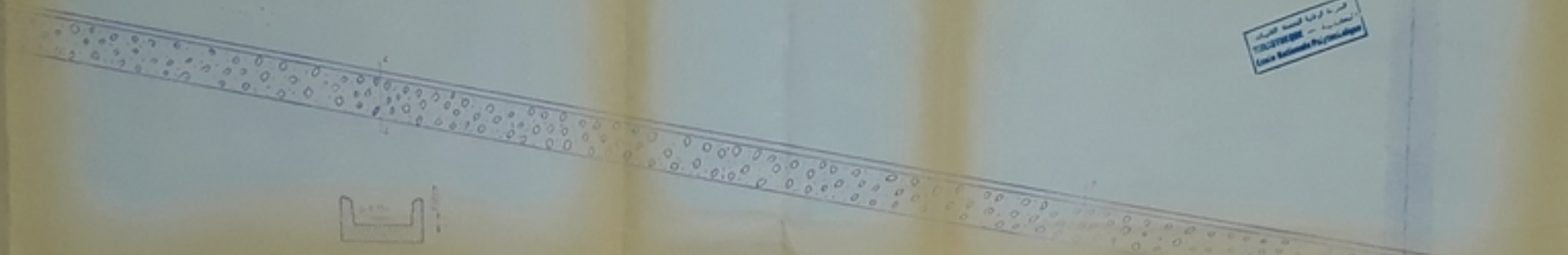
PH 03786

PROFIL EN LONG DE L'EVACUATEUR DE CRUE

DH 03786  
-4-



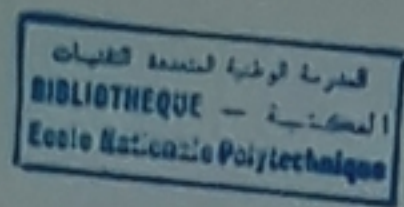
|                    |   |   |   |   |
|--------------------|---|---|---|---|
| Surface intérieure | 2 | 3 | 4 | 5 |
| Surface extérieure | 2 | 3 | 4 | 5 |
| Hauteur d'érosion  | 2 | 3 | 4 | 5 |



| END         |                        |
|-------------|------------------------|
| Objet       | Réserve Culturelle     |
| Plancher    | N° 5                   |
| Échelle     | 1/100                  |
| Préparateur | D.H.W                  |
| Etude par   | Bousculle J.<br>Fam. A |
| Dirigeant   | M. ABBERRA             |

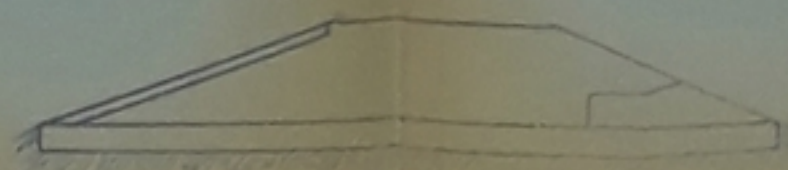
# COUPES TRANSVERSALES

calcul du volume



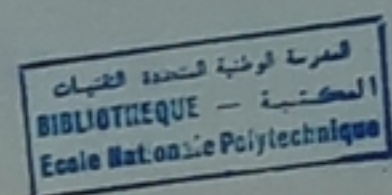
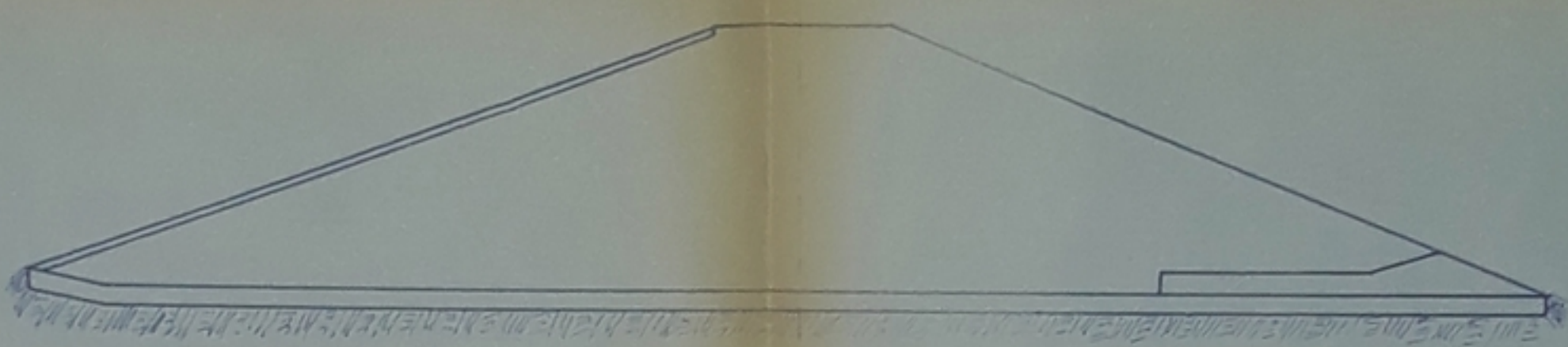
COUPE I-II

61.68  
59.53  
57.38



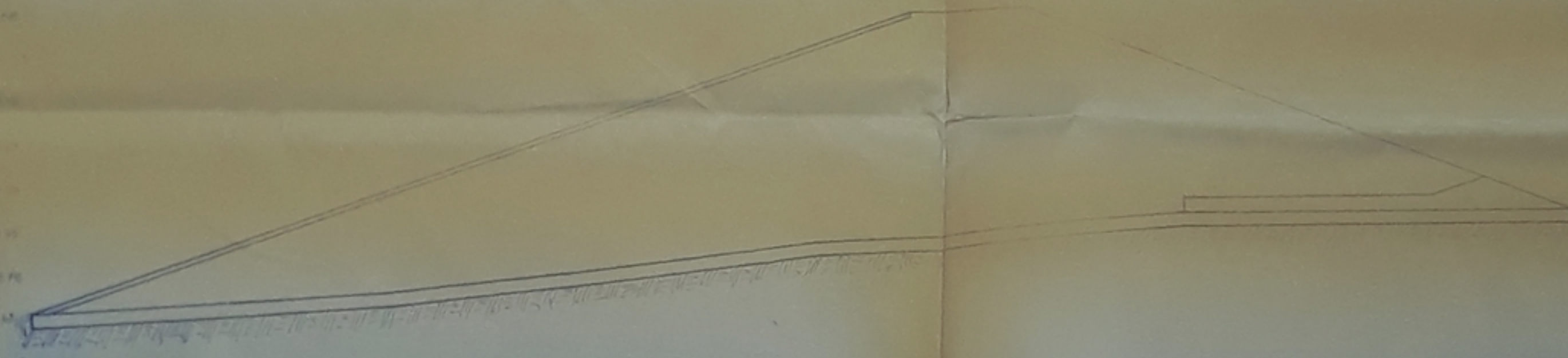
COUPE III

61.68  
59.53  
57.38  
55.23  
53.18  
50.85



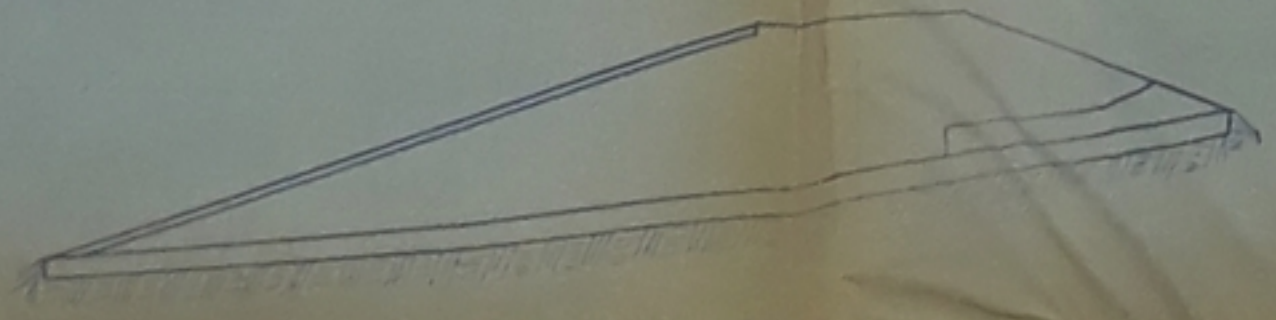
COUPE III-IV

61.68  
59.53  
57.38  
55.23  
53.18  
50.85



COUPE IV-V

61.68  
59.53  
57.38  
55.23  
53.18

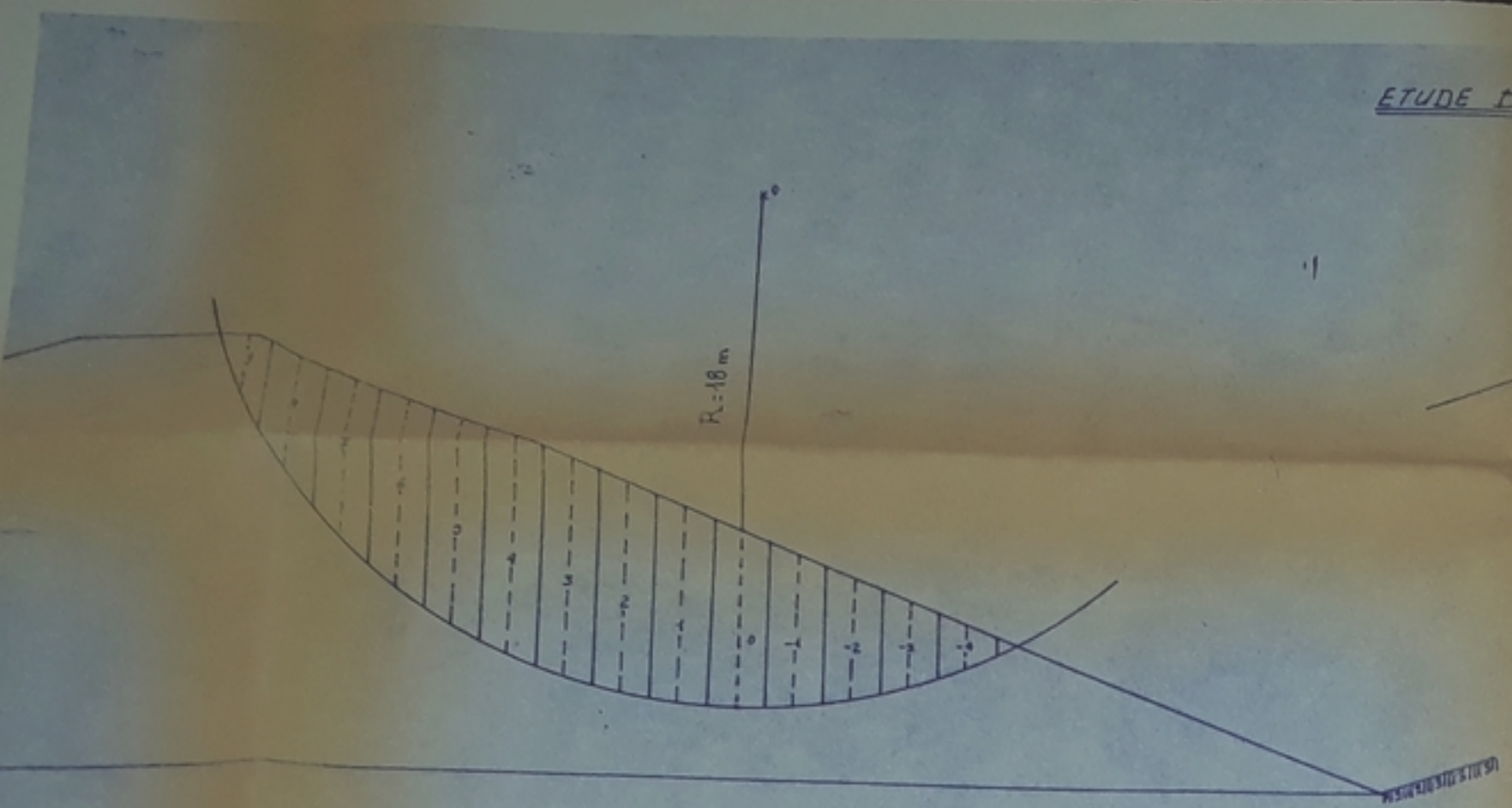


| END         |                            |
|-------------|----------------------------|
| Sujet       | Relente Collinaire         |
| Planche     | N°6                        |
| Echelle     | 1/200                      |
| Proposé par | DHW. Tiaret                |
| Etudié par  | BOUNOUALA - L<br>KASMI - A |
| Dirigé par  | MC ABDERRAHIM - D          |

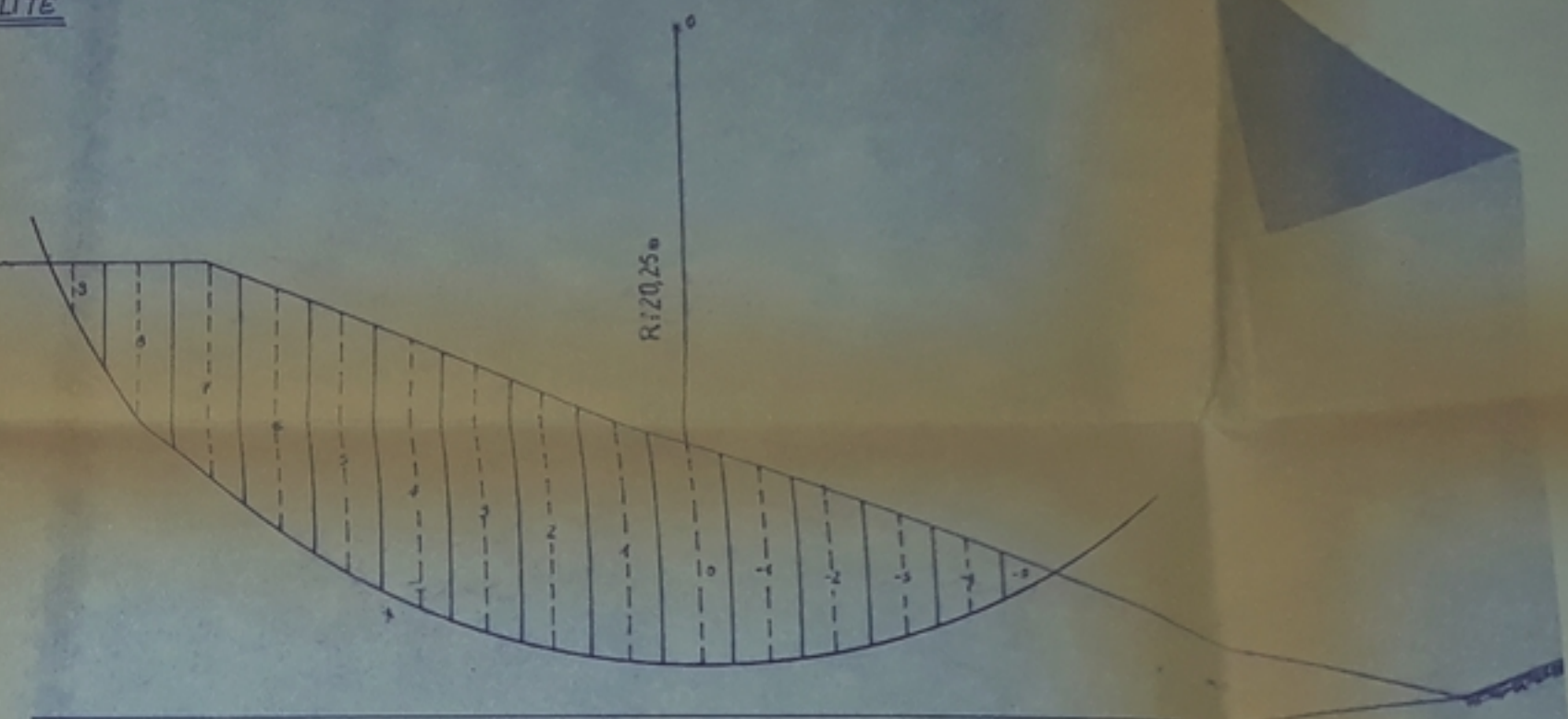
pH 03786

- 5 -

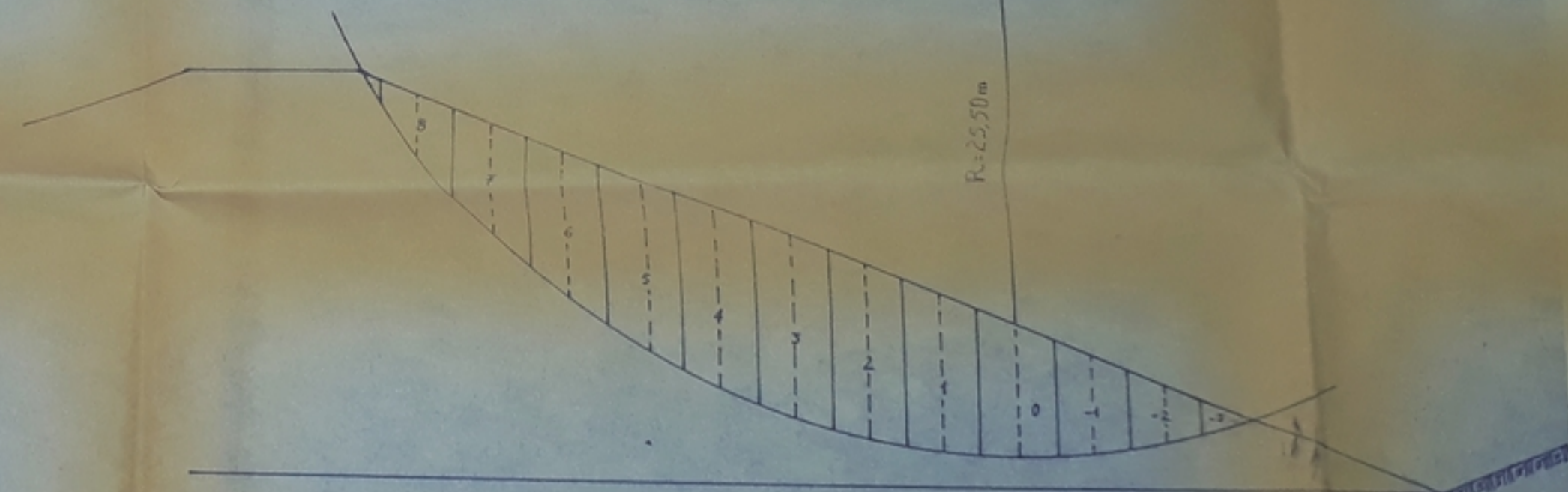
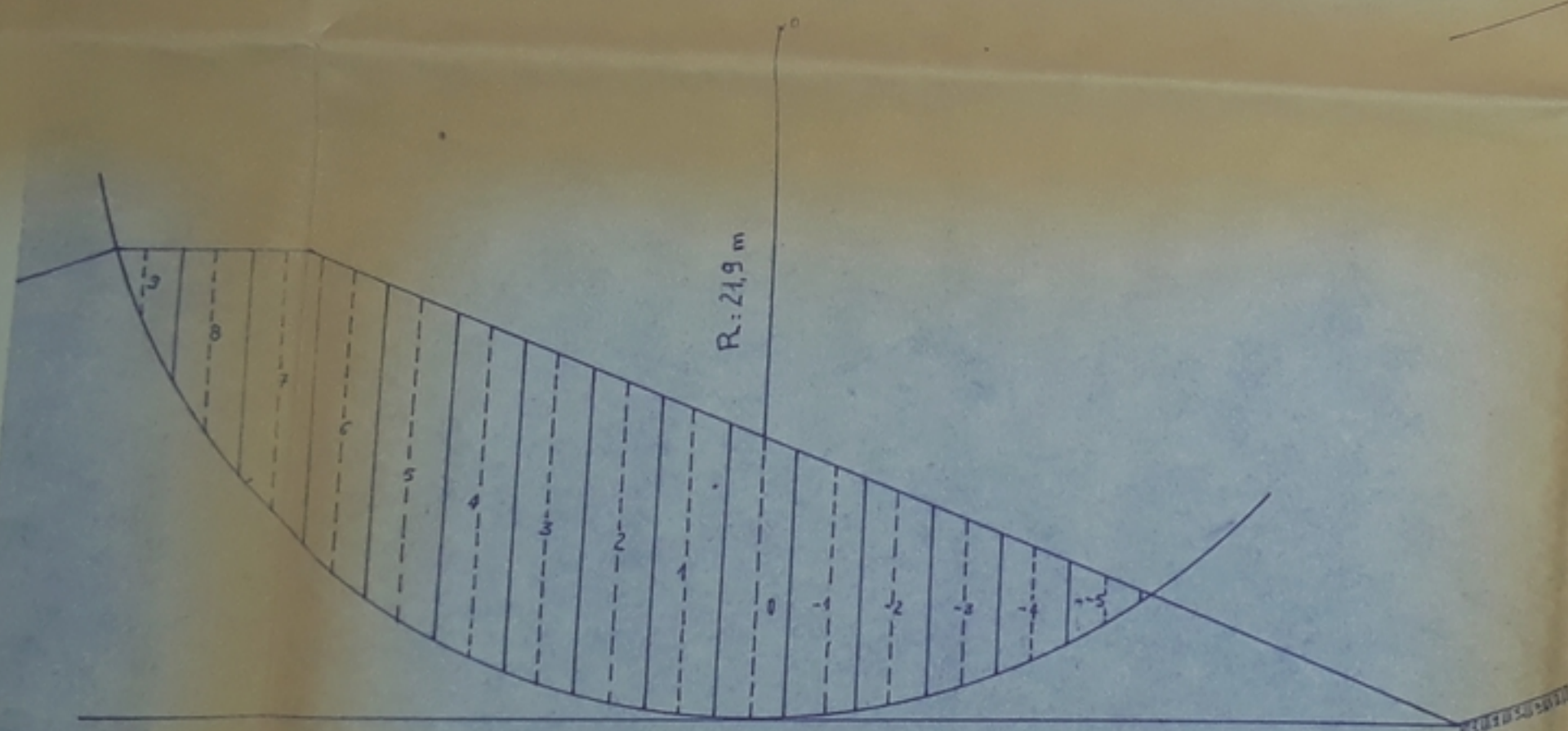
ETUDE DE STABILITÉ



الجامعة الوطنية لبيروت  
المكتبة  
BIBLIOTHEQUE —  
Ecole Nationale Polytechnique



الجامعة الوطنية لبيروت  
المكتبة  
BIBLIOTHEQUE —  
Ecole Nationale Polytechnique

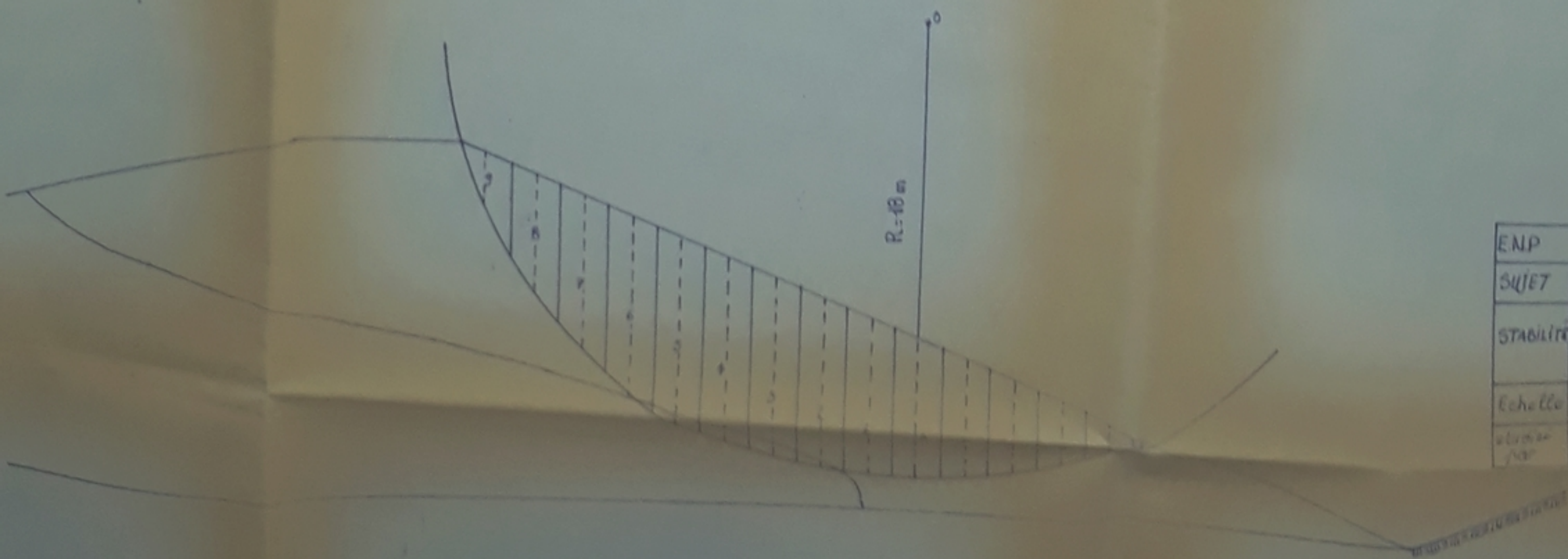
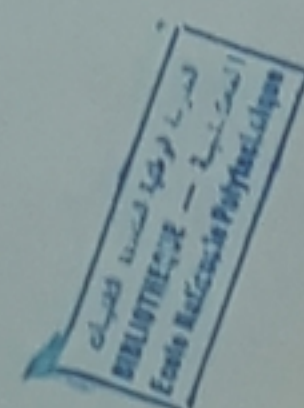
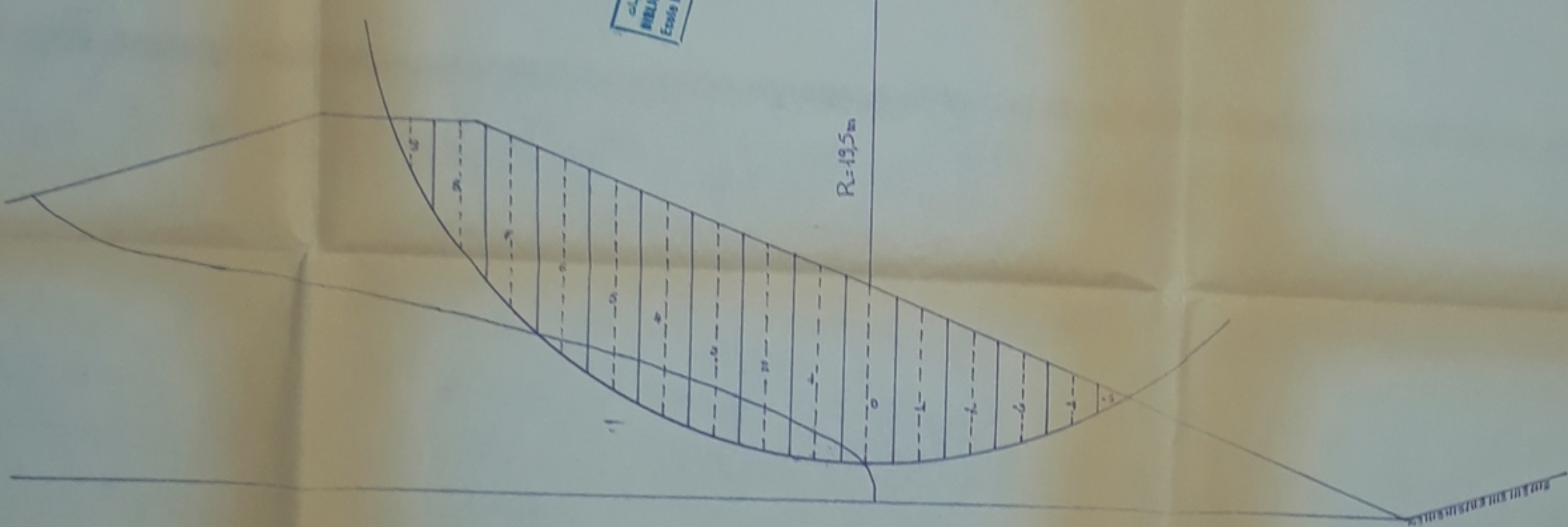
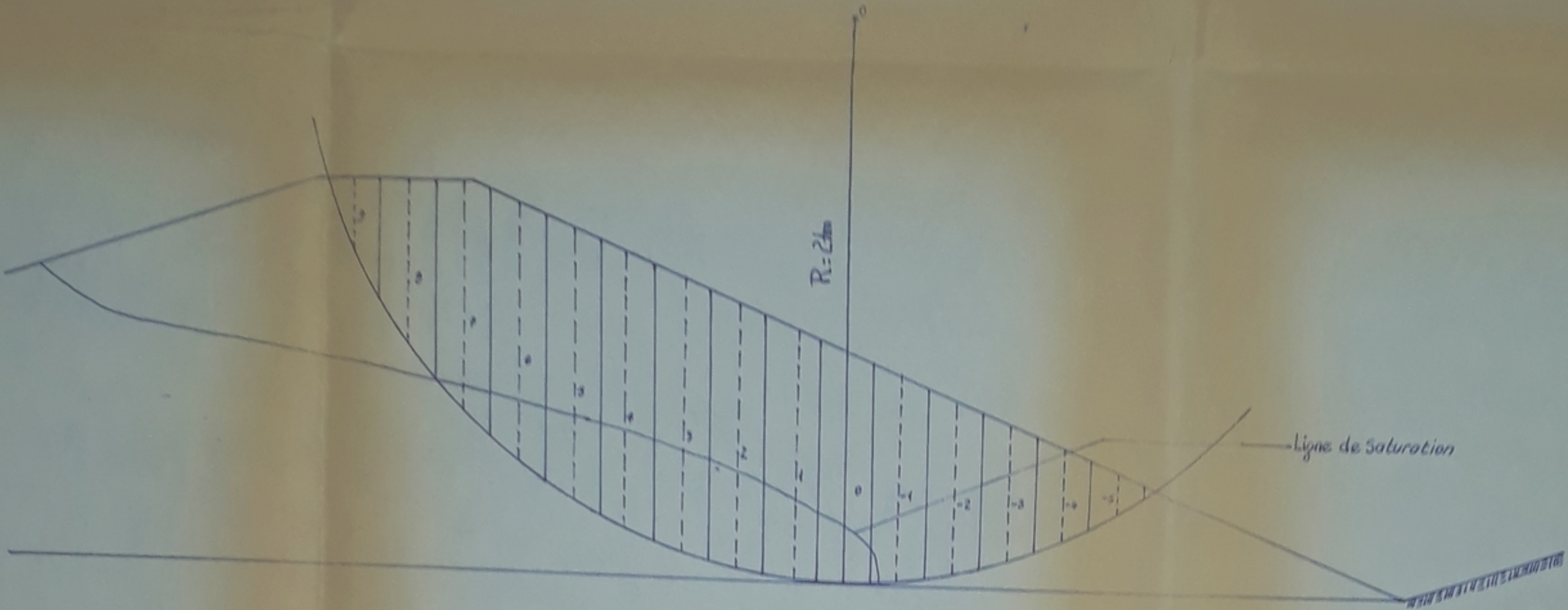


PHO 3786

- 6 -

|             |                      |
|-------------|----------------------|
| EN.P        | جامعة طنطا           |
| Syjet       | Retenue Collinaire   |
| Stabilité   | Talus Aval           |
| Echelle     | 1/150                |
| établié par | Boucoulé-L - Kasni.A |

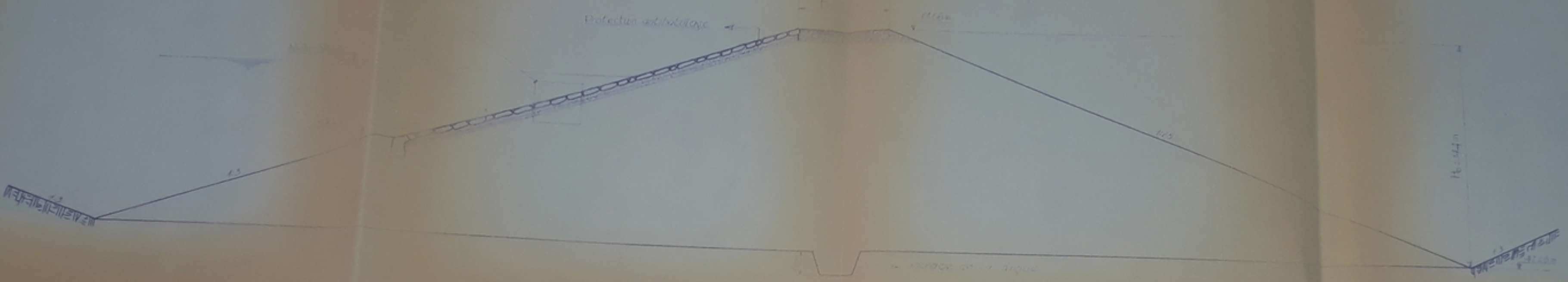
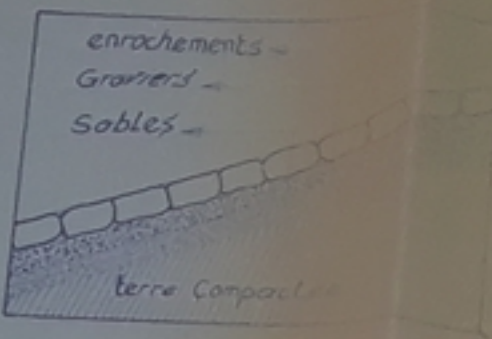
ÉTUDE DE STABILITÉ



|                 |                                    |
|-----------------|------------------------------------|
| ENP             | جامعة تونس، تونس                   |
| SUJET           | Retenue Collinaire                 |
| STABILITÉ       | Talus oval • fonctionnement normal |
| Echelle         | 1/150                              |
| échelle<br>1/50 | Boussalem - Hammam A               |

PDI 03786  
-7-

PROFIL TRAVERSAL DE LA RIGUE



PROFIL LONGITUDINAL DE LA RIGUE

الجامعة الوطنية للعلوم والتكنولوجيا  
المكتبة  
BIBLIOTHEQUE  
Ecole Nationale Polytechnique

الجامعة الوطنية للعلوم والتكنولوجيا  
المكتبة  
BIBLIOTHEQUE  
Ecole Nationale Polytechnique

61.60m Niveau de la crête  
N.R.N - 58.08m

51.53m Niveau de végétation

Terrain sablonneux

03786

- 8 -

| ENR                    |                             | البرهان لوطي بن العمار |
|------------------------|-----------------------------|------------------------|
| PROJET DE FIN D'ÉTUDES |                             |                        |
| SURVEY                 | REtenue collinaire W/TIARET |                        |
| PLANCHE                | N° 2                        |                        |
| ÉTAGE                  | 1/150                       |                        |
| P. TRANSVERSAL         |                             |                        |
| P. LONGITUDINAL        | 1/500                       |                        |
| PROPRE PAR             | DHW. TIARET                 |                        |
| ETUDE PAR              | BOUNOUALA L                 |                        |
| DIRIGE PAR             | KASMI A                     |                        |
|                        | M. ABDERRAHIM D             |                        |

